Priore permitigator per al termen de l'Éleva, etc. A no l'éleva de la la suffere de l'Espanda.

ាំក្រក្សាន់ ទេសភា សាល់ពីសម៌ស្លាំស្ស នៅក្នុងម៉ូនស្រាមថា ប្រទេសនេះ មួយស្រាស់ នេះ ក្រុម ស្រាស់ ស្រាស់ និង សាស្រាស់ ប៉ុន្តែការ និងសម៌សាស៍ស ប៉ុន្តែសម្រាស់

Gerha 2 th sa GArachen Joseph

# FACULTAD DE CIENCIAS ESCUELA DE BIOLOGIA

Tesis para Optar por el Grado de Licenciatura en Biología con énfasis en Botánica

Comparación morfológica ultraestructural de las especies silvestres de arroz *Oryza*: Poaceae en Costa Rica

María Ethel Sánchez Chacón Carné 752908

#### Dedicatoria

Esta tesis está dedicada a:

Mi Padre Dios, grande e inseparable amigo, que me ha dado todo. Junto a El todo lo puedo.

A mis padres por su amor, comprensión, apoyo y por haber hecho de mí quien soy.

Al Dr. Francisco Hernández, compañero y amigo, quien creyó en mí, fue mi guía y algunas veces mi mano.

A mis compañeros y amigos de la Unidad de Microscopia Electrónica Maribelle, Jéssica, Oscar, Rafaél, Guillermo, Casilda, Enrique, Frank, por su solidaridad, apoyo y ayuda.

A mis grandes amigas María del Carmen Obando, Lisella Moreira, Maribelle Vargas., Odalisca Breedy, Jéssica Coto y a mi amigo José Bonilla. "Esta tesis fue aceptada por la Comisión del Programa de Estudios de la Escuela de Biología de la Universidad de Costa Rica, como requisito parcial para optar por el grado de

Licenciatura en Biología con énfasis en Botánica"

Dra. Ana Mercedes Espinoza
DIRECTORA DE TESIS

Dra. Mayra Montiel
MIEMBRO DEL TRIBUNAL

Dr. Walter Marin MIEMBRO DEL TRIBUNAL

Dra. Ana Victoria Lizano MIEMBRO DEL TRIBUNAL

M.Sc. Hernán Camacho DIRECTOR ESCUELA DE BIOLOGIA

María Ethel Sánchez Chacón SUSTENTANTE

## INDICE

Esta l

	Página
Portada	i
Dedicatoria	ii
Hoja de aprobación	iii
Indice	iv
Resumen	vii
Lista de figuras	ix
Lista de cuadros	xi
Lista de abreviaturas	xii
Introducción	1
Objetivos	3
Objetivo general	3
Objetivos específicos	3
Materiales y Métodos	4
Procesamiento general para microscopia electrónica	5
de barrido	
Procesamiento del polen	6
Procesamiento de la cariópside	6
Método utilizado para medir las estructuras	6
Marco teórico	8
Taxonomía	8
Características del género Oryza	12
Raíz	12
Culmo	13
Hoja	13
Inflorescencia	15
Fruto	16

Descripción del arroz cultivado	17
Oryza sativa L	17
Variedad CR-5272	18
CONTRACTOR OF THE PROPERTY OF CAREELINES AND ADDRESS OF THE PROPERTY OF THE PR	2.2
Especies silvestres de arroz	18
Oryza rufipogon Griff	
Oryza glumaepatula Steud	19
Oryza latifolia Desv.	20
Oryza grandiglumis (Doell) Prod	21
Resultados	23
Ultraestructura de la lámina foliar, aurículas, lígula,	23
espiguilla y cariópside de las escies del género Oryza.	
Oryza sativa L. var. CR-5272	23
Oryza latifolia Desv (Cañas)	25
Oryza latifolia Desv (Carara)	28
Oryza latifolia Desv (Pelón)	29
Oryza rufipogon Griff	30
Oryza glumaepatula Steud	32
Oryza grandiglumis (Doell) Prod	34
Figuras	51
Discusión	41
Conclusiones y recomendaciones	49
Literatura citada	94
Anexos	100
Anexo 1. Clave de tricomas para la identificación de las	101
especies de Oryza de Costa Rica.	
Anexo 2. Clave de la lígula para identificar las especies	102
de Oryza de Costa Rica.	
Anexo 3. Clave de la espiguilla para identificar las especies	103
de Oryza de Costa Rica.	

Anexo 4. Clave sinóptica para identificar las especies de	104	
Oryza de Costa Rica.		
Anexo 5. Comparación ultraestructural de las cariópsides	108	
de O. grandiglumis de Costa Rica y Brasil y		
O. alta de Brasil y Surinan.		
Fig. 1. Cariópside de O. alta proveniente de Surinan	109	
Fig. 2. Cariópside de O. alta proveniente de Brasil	110	
Fig. 3. Cariópside de O. grandiglumis proveniente	111	
de Costa Rica.		
Fig. 4. Cariópside de O. grandiglumis de Costa Rica	112	
Fig. 5. Cariópside de O. grandiglumis de Brasil	113	
Fig. 6. Cariópside de O. grandiglumis de Brasil	114	

## RESUMEN

El arroz es uno de los componentes de mayor importancia en la dieta mundial y see ha utilizado exclusivamente como alimento para humanos constituyendo del 25 al 50 % de la dieta diaria de unos 2000 millones de personas.

El arroz pertenece a la familia Poaceae y al género Oryza, dos especies se cultivan para consumo humano O. sativa y O. glaberrima y hay alrededor de 20 especies silvestres, cuatro de ellas endémicas de América.

En Costa Rica existen varias especies silvestres del género Oryza, que por sus características de resistencia a enfermedades, plagas y estrés, se podrían usar como fuente de genes para transferir al arroz comercial mediante cruzamientos interespecíficos, rescate de embriones o mediante ingeniería genética.

Las especies silvestres pueden clasificarse usando rasgos anatómicos macroscópicos como tamaño de la lámina foliar, la lígula, las aurículas, espiguillas y la cariópside. Sin embargo estas características son muy variables y algunas ambién se presentan en especies silvestres asiáticas y africanas que posiblemente se introdujeron con el arroz cultivado. Por lo tanto, se requiere una descripción morfológica ultraestructural más precisa para cada especie.

Se utilizó la microscopia electrónica de barrido para analizar muestras de la tamina foliar, aurículas, lígula, espiguilla y cariópside de plantas silvestres de arroz y una variedad comercial. Las estructuras anteriores se compararon con especimenes clasificados taxonómicamente por el IRRI. Las características morfológicas diagnósticas para O. sativa var. CR 5272 son los tricomas atenuados de la lámina foliar, una hilera de tricomas espinosos alargados en el borde de la tamina, la espiguilla carece de arista y tiene espinas muy pequeñas y escasas y

lemas estériles son lanceoladas de bordes irregulares. Para O. latifolia, la presencia de hileras de tricomas espinosos abultados en el borde de la lámina foiar, la vena central sin o con muy pocas papilas. El ecotipo Cañas tiene las presentan envolventes, mientras los otros dos ecotipos Carara y Pelón las presentan envolventes. El ecotipo Carara tiene la lígula cónica y en los otros dos es de forma truncada. Para O. rufipogon abundantes tricomas espinosos hirsutos en la lámina foliar y estomas desnudos de 30 μm de largo, en el borde de la lámina. En O. glumaepatula una hilera de tricomas abultados en el borde de la lámina foliar, y tricomas hirsutos poco abundantes en la lámina y tiene tricomas poculares muy pequeños en la superficie de las aurículas. En O. grandiglumis un servicio de las lemas fértiles, las lemas serviles lanceoladas, delgadas y dentadas y cubren alrededor de un 70% de la superficie de las lemas fértiles, el borde de la lámina foliar tiene tres hileras de tricomas espinosos largos y tricomas espinosos abultados de varios tamaños, mas presenta pocas hileras de tricomas muy pequeños abultados e hirsutos.

Las especies pudieron colocarse en dos grupos, de acuerdo a las características ultraestructurales que comparten, un grupo lo constituyen las especies diploides y de genoma AA, O. sativa var. CR. 5272, O. rufipogon y O. maepatula que comparten la siguientes características: presencia de tricomas insutos, la forma de la lígula que es aguda y bífida y sin tricomas en el extremo y las aurículas son rizoides. El otro grupo lo forman las especies insuloides y de genoma CCDD O. latifolia y O. grandiglumis, que presentan insulas envolventes, la lígula es corta y truncada y las lemas estériles son inceoladas, finas y dentadas.

La estructura morfológica más importante para la clasificación de las especies son los tricomas. O. rufipogon y O. glumaepatula son las especies más especies. En Costa Rica están presentes las especies silvestres Oryza rufipogon, Oryza glumaepatula, Oryza latifolia y Oryza grandiglumis.

## LISTA DE FIGURAS

FK	SURA	Página
1	Micrografías de la epidermis adaxial de la lámina foliar de O. sativa var CR-5272.	52
2	Micrografías de la zona abaxial de la lámina foliar, la lígula y aurículas de O. sativa var CR-5272.	54
3	Micrografías de la espiguilla de O. sativa var CR-5272.	56
4	Micrografía de la cariópside de O. sativa var CR-5272.	58
5	Micrografías de la zona adaxial de la lámina foliar de O. latifolia (Cañas).	60
•	Micrografías de la zona abaxial de la lámina foliar, las aurículas y la lígula de O. latifolia (Cañas).	62
Z	Micrografías de la espiguilla de O. latifolia (Cañas) y de la zona adaxial de la lámina foliar de O. latifolia (Carara).	64
	Micrografías de la zona abaxial de la lámina foliar, las aurículas, la lígula y la cariópside de O. latifolia (Carara).	66
•	Micrografías del ovario y estigmas de O. latifolia (Carara) y la superficie adaxial y abaxial de la lámina foliar y	68
	Micrografías de la lígula, las aurículas y la espiguilla	70

de O. latifolia (Pelón).

11.	Micrografías que muestran el detalle de las zonas adaxial y abaxial de la lámina foliar de O. rufipogon.	72
12.	Micrografías de las zonas abaxial de la lámina foliar, las aurículas, la lígula y la espiguilla de O. rufipogon.	74
13.	Micrografías de la espiguilla de O. rufipogon.	76
14.	Micrografías de las lemas y cariópside de O. rufipogon.	78
15.	Micrografías de las superficies de la lámina foliar de O. glumaepatula.	80
16.	Micrografías de las aurículas, la lígula y la antera de O. glumaepatula.	82
17.	Micrografías de la espiguilla de O. glumaepatula.	84
18.	Micrografías de las superficies de la lámina foliar de O. grandiglumis.	86
19.	Micrografías de la lígula, las aurículas y las espiguillas de O. grandiglumis.	88
20.	Micrografías de la espiguilla de O.grandiglumis.	90
21.	Micrografías de las anteras, del grano de polen y de la espiguilla de O. grandiglumis de Brasil y la cariópside	92
	de O. grandiglumis de Costa Rica.	

## **LISTA DE CUADROS**

CL	JADRO	Página 9
1.	Clasificación por complejos de las especies del género Oryza: sinonímia, genoma, uso potencial y distribución.	9
2.	Comparación de las aurículas de las especies costarricenses del género Oryza: forma, tamaño y tricomas.	38
3.	Comparación de las lígulas de las especies costarricenses del género Oryza: forma, tamaño y tricomas.	39
4.	Comparación de la morfología de la espiguilla de las especies costarricenses del género Oryza.	40

#### LISTA DE ABREVIATURAS

Antera: an

Apiculo: ap

Aproximadamente: ca.

Arista: ar

Auriculas: a

Célula oclusiva: co

Células alargadas: ca

Células de sílice: cs

Células subsidiarias: csu

Embrión: em

Espinas: esp

Estigma plumoso: ep

Estilo: et

Estoma: e

Exina: ex

Filamentos: f

Glumas rudimentarias: gr

Grano de arroz: ga

Grano de polen: gp

Lámina foliar: Ifo

Lema: Im

Lema estéril: le

Lema fértil: If

Ligula: I

Lóbulos: Ib

Ojo: oj

Ovario: o

Pálea: p

Papila alargada: pa

Papila bilobulada: pb

Papila en forma de lápida: plap

Papila esferoide: pe

Papila globular grande: pgg

Papila lignificada: pl

Papila tetralobulada: pte

Papila trilobulada: pt

Papilas de los estigmas plumosos: pap

Patrón de cera: pc

Pedicelo: pd

Poro del polen: pp

Poro estomático: pest

Raquilla: r

Tricoma atenuado: ta

Tricoma bicelular: tb

Tricoma espinoso abultado: teab

Tricoma espinoso alargado: tea

Tricoma espinoso pequeño: tp

Tricoma espinoso: te

Tricoma ganchudo: tg

Tricoma hirsuto: th

Vena central: vc

#### INTRODUCCION

El arroz (*Oryza sativa* L) es uno de los componentes de mayor importancia en la dieta mundial. Se ha utilizado exclusivamente como alimento para humanos y constituye del 25 al 50 % de la dieta diaria de unos 2000 millones de personas (Ronald 1997). Se ha cultivado en la India y China desde hace unos 5000 años (Swaminathan 1986).

En América se cultiva la subespecie indica de Oryza sativa y tiene un genoma diploide AA (León 1987). En 1993, en América Latina se cultivó aproximadamente 7.5 millones de Ha, con una producción anual de 20 millones de toneladas métricas de arroz, que casi en su totalidad se consumió internamente (IICA 1993, Sanint 1996). En Costa Rica, en 1998 se cultivó 44.000 Ha de terreno y la producción se consumió internamente (I Congreso Arrocero Nacional 1998).

En algunos países de América Latina, muchas veces la demanda de arroz excede la producción (Herrera & Jiménez 1992); sin embargo, en ocaciones hay pérdidas importantes por falta de una óptima preparación del terreno, manejo del cultivo o por plagas y enfermedades, por lo tanto, la producción de nuevas variedades resistentes y de mayor potencial debe aumentar cada día.

El arroz pertenece a la familia Poaceae y al género *Oryza*. Tiene una distribución mundial, desde los 50 ° de latitud norte hasta los 40 ° de latitud sur y desde el nivel del mar hasta los 3000 m de altura (León 1987). Fue originalmente cultivado en el trópico húmedo como planta semi-acúatica, pero luego se adaptó a condiciones de zonas áridas hasta zonas frías. Dos especies se cultivan para consumo humano, *O. sativa* y *O. glaberrima* y hay alrededor de 20 especies silvestres, cuatro de ellas endémicas de América (Morishima & Martins 1993).

Las dos especies cultivadas O. sativa y O.glaberrima, se domesticaron a partir de sus respectivos progenitores silvestres, O. rufipogon en Asia (forma satica de O. perennis) y O. barthii (O. breviligulata) en Africa (Morishima 1994).

En América Central y Sur América se conocen cuatro especies silvestres de Oryza, una diploide y tres tetraploides. El taxón americano diploide, el cual comparte el genoma AA con las especies cultivadas es la especie silvestre O. glumaepatula (Akimoto 1998). Las tres especies tetraploides son O. latifolia, O. ata y O. grandiglumis y tienen un genoma CCDD (Kihara 1963, citado por Vaughan 1989). Se distribuyen desde Mesoamérica hasta Brasil y Paraguay y las Islas del Caribe (Pohl 1980).

Algunas de las especies silvestres son resistentes a muchas de las enfermedades y plagas que afectan el arroz cultivado; otras se han adaptado a suelos con altas concentraciones de salinidad (Zamora et al. 1999). Estas características serían ideales en el arroz cultivado, por lo tanto esas especies silvestres representan un banco de genes útiles para el mejoramiento de O. sativa, y la incorporación de algunos de esos genes aumentaría la producción, le conferiría resistencia a muchas de las enfermedades y plagas y permitiría el cultivo de arroz en áreas donde actualmente no es posible cultivarlo.

La transferencia de estos genes puede realizarse mediante técnicas de cruzamiento y rescate de embriones o utilizando la ingeniería genética (Jena et al. 1991), para esto es necesario realizar una caracterización morfológica y molecular de las especies silvestres para determinar cuales son las estructuras morfológicas de valor taxonómico que nos permitan distinguir las diferentes especies del género *Oryza* y poder describir la variación entre y dentro de las mismas, además se podrá determinar la diversidad génetica de las especies presentes en Costa Rica.

#### **OBJETIVOS**

#### **Objetivo** general

Con esto se pretende determinar cuáles caracteres ultraestructurales tienen valor taxonómico para la identificación de las especies silvestres del género *Oryza* de Costa Rica y a su vez poder distinguirlas de otras especies que contaminan el arroz cultivado.

#### **Objetivos específicos**

- Describir la ultraestructura de las especies indicadas en el estudio.
- Realizar el análisis morfométrico de las especies citadas.
- 3. Efectuar una comparación entre las especies estudiadas.
- Determinar cuales características tienen valor taxonómico.
- Confeccionar una clave dicotómica para identificar las especies.

#### **MATERIALES Y METODOS**

Para la descripción ultraestructural se estudiaron cinco especies de arroz:

cuatro especies silvestres, de las cuales tres son endémicas de América (O.

latifolia, O. glumaepatula y O. grandiglumis) y una especie introducida de Asia (O.

latifogon); y una variedad comercial de O. sativa denominada CR- 5272.

Se estudiaron tres ecotipos de O. latifolia: Cañas, Carara y Pelón. El ecotipo Cañas, se colectó en la reserva biológica de Palo Verde, cantón de Cañas, provincia de Guanacaste. El ecotipo Carara se colectó en la reserva biológica Carara, cantón de Orotina, provincia de Alajuela y el ecotipo Pelón, del cantón de Miramar, provincia de Puntarenas. O. grandiglumis, en la reserva biológica de Caño Negro, cantón de San Carlos, provincia de Alajuela. O. glumaepatula, en las orillas del río Medio Queso, en el cantón de Los Chiles, provincia de Alajuela. O. rufipogon, en el cantón de Parrita, provincia de Puntarenas. La variedad comercial O. sativa var. CR-5272, se tomó del invernadero del Centro de Investigación en Biología Celular y Molecular (CIBCM), Universidad de Costa Rica, Sabanilla de Montes de Oca, provincia de San José.

Las muestras fueron colectadas por miembros del grupo de Biotecnología del Arroz, del Centro de Investigación en Biología Celular y Molecular, de la Universidad de Costa Rica, durante la época lluviosa, a excepción de O. glumaepatula que florece de diciembre a enero.

Las especies silvestres fueron identificadas por Alejandro Zamora y Mayra Montiel (especialista en taxonomía de gramíneas), también se compararon con especies del género *Oryza*, en los herbarios de la Escuela de Biología de la Universidad de Costa Rica y del Museo Nacional. De estas mismas se colectaron semillas que fueron cultivadas en el invernadero del CIBCM. También se

cultivaron semillas provenientes del banco de germoplasma del Instituto de Investigación en Arroz, IRRI (Filipinas) y semillas de O. glumaepatula y O. grandiglumis enviadas de Brasil, por M. Akimoto.

Las plantas cultivadas en invernadero fueron utilizadas para la comparación de las especies silvestres colectadas en Costa Rica, utilizándose un microscopio electrónico de barrido modelo S-2360N, con el que se pueden observar muestras sin procesamiento.

El material analizado al microscopio electrónico fue: lámina foliar (zona adaxial y abaxial), lígula, aurículas, espiguillas, granos de polen y la cariópside.

Las muestras de lígula y aurículas fueron tomadas de la parte basal, media y distal de las plantas de arroz de las especies estudiadas. De igual forma se procedió para la lámina foliar, pero para éstas se tomó muestra de la zona basal, media y distal de la lámina. Las espiguillas se colectaron de la base, parte media y apical de la panícula.

### Procesamiento general para microscopia electrónica de barrido

Las muestras de lámina foliar, aurículas, lígula e inflorescencias que se analizaron fueron sometidas a una fijación de 24 horas a 4° C en una solución de glutaraldehido al 2.5% y paraformaldehido al 2% en amortiguador de fosfato de sodio 0.1M pH 7.4 (Karnovsky 1965), se sometieron a tres lavados de 20 min con el amortiguador. Se post-fijaron por 2 horas con tetraóxido de osmio al 1% en el amortiguador de fosfato de sodio; seguidamente se realizaron cinco lavados con el amortiguador y se deshidrató en un gradiente ascendente de alcohol etílico (30°, 50°, 70°, 80°, 90°, 95°, 100°,100°), los cambios en los alcoholes de 30° a 95° se hicieron por un período de 20 min y los de 100° por 30 min cada uno. Se continuó realizando 4 lavados con alcohol terbutílico, de 30 min cada uno, se secó por sublimación (sublimador Eiko ID-2). Las muestras se montaron con cinta

adhesiva de doble cara sobre bases de aluminio y se cubrieron con 20 nm de platino, utilizando un cobertor iónico (modelo Eiko IB-5). Se observaron con un microscopio electrónico de barrido (modelo Hitachi S-570), con un voltaje de aceleración de 15 Kv y a una distancia de trabajo entre 15 y 30 mm. La toma de la fotografías se realizó en película Kodak Verichrome Pan, ASA 100, a aumentos que variaron de 22 a 5000X.

#### Procesamiento del polen

Se colectaron anteras de cada especie y se maceraron con una solución de modróxido de sodio al 10 % por 30 min, luego se hicieron 5 lavados de agua destilada, de 5 min cada uno, centrifugando a 3000 rpm (centrífuga modelo Hitachi Description de limpieza con ultrasonido Sonicador marca Astrason, modelo 11 H). Se fijaron en tetraóxido de osmio al 1% en al amortiguador de fosfatos 0.1M y se procesaron como se describió en el punto anterior.

### Procesamiento de la cariópside

Las cariópsides se colocaron en una estufa a 37°C por 48 horas.

Posteriormente se montaron en bases de aluminio sobre cinta adhesiva de carbón (doble cara), se cubrieron con 20 nm de platino y observaron al microscopio ectrónico de barrido (modelo Hitachi S-570).

#### Método utilizado para medir las estructuras

Las estructuras mayores de 5 cm se midieron con una cinta métrica dividida en milímetros y aquellas estructuras con dimensiones entre 5 cm y 1 mm se midieron con un vernier calibrado en 0.02 mm. Para las estructuras de las cariópsides, espiguillas y hojas menores de 1mm, la medición se efectuó en las micrografías electrónicas de barrido, utilizando un curvímetro (calibrado 1/ 100000) y con el dato obtenido por este instrumento se determinó el tamaño real, tomando como referencia la escala sumimnistrada por el microscopio electrónico de barrido Hitachi S-570 en cada micrografía.

#### MARCO TEORICO

#### **Taxonomía**

La descripción del género *Oryza*, cultivado en Asia fue realizada por Linnaeus (1753), quién le dio el nombre de *Oryza sativa L* y el arroz cultivado en el ceste de Africa, *O. glaberrima* Steud fue identificado por Steudel (1854) (citado por Vaughan 1989).

Este género constaba de 30 especies, hasta que se realizó un estudio exhaustivo y se determinó que en realidad eran 20 especies (Tateoka 1965). Las especies cultivadas (O. sativa L y O. glaberrima Steud) tienen rasgos evolutivos semejantes. De las especies ancestrales perennes, derivaron las anuales y de estas últimas se domesticaron las dos especies cultivadas. Para O. sativa el antecesor anual sería O. nivara (sinónimo: O. fatua), que crece desde el sur de Asia hasta Australia y que se deriva de la especie perenne O. ruffipogon (sinónimo: O. perennis) y O. glaberrima tendría por antecesor anual a O. barthii y como perenne a O. longistaminata (Morishima et al. 1992)

El área de domesticación de *O.sativa* posiblemente abarcó del noreste de la **India** hasta el sur de China y Malasia (Vaughan 1994). De este núcleo se **expandió**, primero desde Burma, al norte hacia el valle del río Amarillo y de **Indochina** al valle inferior del Yangtze. Estas poblaciones fueron adaptándose a **las** condiciones subtropicales, formando la subespecie *japonica* (Kato *et al.* 1928, **citado** por Morishima *et al.* 1992), más tolerante al frío, es de granos más **pequeños** y bajo contenido de almidón (Sato 1987, citado por Morishima *et al.* 1992). Se cultiva en China y Japón, de donde se ha llevado a Estados Unidos de **América**, Rusia y Europa. De esa misma área nuclear inicial también derivó la **subespecie** *indica* (Kato *et al.* 1928, citado por Morishima *et al.* 1992) que se **extendió** hacia Sri Lanka, el archipiélago Malayo, el sur de China, Medio Oriente,

Europa y Africa y se les encuentra en zonas del trópico y subtrópico (Morishima et 1992). La subespecie javanica, seleccionada de japonica y adaptada al trópico, extendió por Indonesia, Filipinas y Japón (León 1987).

De acuerdo a las características morfológicas y el genoma de las especies de Oryza, se les incluye en cuatro complejos: complejo O. sativa, complejo O. sativa, complejo O. sativa, complejo O. ridleyii y el complejo O. meyeriana (Tateoka 1962 a y b, Vaughan 1994) (Cuadro 1).

Cuadro 1
Clasificación por complejos de las especies
del género *Oryza:* sinonimia, genoma, usos
potenciales y distribución

Complejo / Labre de la Especie	Sinonimia	Grupo de Genoma	Uso Potencial	Distribución
o Oryza sativ	a		Halle	
antiva L		AA	Especie cultivada	Nativa de Asia, cultivada en zonas tropicales y regiones templadas del mundo
miara S	O. rufipogon	AA	Parcial resistencia a la putrición del tallo	Sur y Sureste de Asia
<b>Googon</b> Griff	-	AA	Hibridación con O.sativa	Sur y Sureste de Asia, Australia y América
gumaepatula		AA	Resistencia al fuego	Sur América y América Central
glaberrima	1 <del>.778</del>	AA	Especie cultivada	Oeste de Africa

A Chev	O.breviligulata	AA	Resistencia al saltador de la hoja verde	Africa
staminata	O. barthii	AA	Resistencia a bacterias	Africa
<b>erd</b> onalis	_	AA	Resistencia a la sequía	Australia
0. Officin	alis (Complejo O. latifoli	a)	la	
<b>Conalis</b> Wall	O. minuta	СС	Resistencia a trips	Sur y sureste de Asia, Sur de China, Papua
Presi	O. officinalis	BBCC	Resistencia a plagas de la vaina	Filipinas
<b>chi</b> ngeri P	page i an ielk	СС	No se infecta del moteado amarillo	Africa Central y Este y Sri Lanka
nctata K	O. schweinfurthiana (para la forma tetraploide)	BB, BBCC	Resistencia al saltador de la hoja	Africa
Desv		CCDD	Resistencia a tres tipos de saltamontes	América Central, América del Sur y el Caribe
Swallen		CCDD	Resistencia a raspadores de culmo	América Central y Sur América
Prod	-	CCDD	Planta alta, resistencia al fuego, alimento para los indígenas del Brasil	Sur América
straliensis		EE	Resistente a la sombra	Australia
yanae Tateoka	-			
achyantha	-	FF	Resistencia a bacterias	Oeste de Africa hasta Sudán

diechteri P	s postonilas.	No se conoce	Estolones	Papua, Nueva Guinea
o O. ridleyi				
Hook	onecores E	No se conoce	Resistencia a raspadores del culmo	Sureste de Asia y Papua, Nueva Guinea
egiglumis en	condu Transis	No se conoce	Tolerancia a la sombra	Papua, Nueva Guinea e Indonesia
ata Roschev. Co	mplejo <i>O. meyeri</i>	ana		
yeriana	(242)	No se conoce	Tolerancia a la sombra	Sureste de Asia
mulata B	-	No se conoce	Tolerancia a la sombra	Sur y Sureste de Asia, Sureste de China

Tomado de Vaughan 1989, 1994

#### Características anatómicas del género Oryza

El arroz cultivado es una planta de suelos húmedos y su estructura se ha adaptado a esas condiciones. El desarrollo del sistema radical secundario y de los aéreos varía mucho según la especie y depende sobre todo de factores bereditarios y secundariamente de factores ambientales. Por ejemplo, un tipo de arroz de cultivo húmedo, tiende a formar el mismo sistema de raíces si se cultiva en condiciones de secano (León 1987).

#### Raiz

Las plantas de este género presentan dos tipos de raíces: las temporales o seminales (primarias) y las adventicias o permanentes (secundarias). Las raíces seminales son poco ramificadas y sobreviven poco tiempo después de la seminación, llegado el momento son reemplazadas por las raíces adventicias que protan de los nudos aéreos o subterráneos de los tallos jóvenes. En algunos asos, como en ciertas especies silvestres, este tipo de raíz brota de los nudos aéreos.

En los primeros estadíos de crecimiento las raíces son blancas, amificadas y relativamente gruesas, al continuar el crecimiento, éstas se alargan, delgazan y se ramifican abundantemente. Las raíces adventicias al madurar son brosas, con ramificaciones secundarias y pelos radicales. Por lo general las raíces adventicias gruesas forman verticilos a partir de los nudos que salen sobre inivel del terreno (Chang & Bardenas 1965, citado por Contin 1979).

En suelos inundados, la superficie exterior de las raíces activas adquiere una tonalidad de crema hasta amarillo rojizo, por la presencia de compuestos terricos. En suelos aireados el color blanco se mantiene. En suelos ricos en compuestos sulfurosos, pueden adquirir un color negro (González et al. 1985)

Calmo

Como en las demás gramíneas, está dividido por nudos, el nudo inferior es importante en el arroz cultivado, pues de él salen las raíces adventicias que y alimentan permanentemente a la planta y los brotes aéreos o tallos, que la macolla (Metcalfe 1960; Pohl 1980). De los nudos que siguen hacia también brotan otros tallos laterales. El tamaño final de la planta, dado por la mero de cañas, usualmente, es de 10 a 20 y es un carácter varietal. El miento es similar en todas las cañas de una planta, los entrenudos inferiores más cortos, los bajos e intermedios más largos y los superiores más cortos. La entrenudos tienen en la parte inferior un meristemo intercalar (zona de la mación), en cuya base se forman nuevos tejidos que al desarrollarse la alargamiento de los tallos (León 1987).

El aspecto externo del tallo: brillo, color, superficie ondulada o lisa, varía en derentes especies. El culmo aéreo del arroz es sólido al principio, pero al medidarse desaparece la médula en los entrenudos dejando un espacio central 1980).

En el arroz los culmos desempeñan también una función de reserva, porque la planta almacena almidón en las células corticales de los culmos (Metcalfe 1960, 1987).

مزدك

Las hojas en el arroz cultivado ocupan una posición alterna y están situidas de vaina y lámina. La vaina es una estructura cilíndrica, abierta hasta base, y que sale de la parte superior del nudo. En los entrenudos inferiores las las las las siguientes; en los entrenudos superiores, en cambio, es más corta y abierta.

dependiendo de la variedad. Esta región tiene áreas de color púrpura

La lígula es una estructura de valor taxonómico y se encuentra en la base lámina foliar, aparece como una prolongación de la parte superior de la Es una estructura triangular, hasta de 5 cm de largo que puede ser bifida, la o truncada, membranosa y transparente. En algunas especies tiene áreas preadas y carece de los pelos y estomas que se hallan en la vaina. En la base lámina foliar, lateral a la lígula, hay dos aurículas, estructuras angostas, de variable y con el ápice muy oscuro cubierto de pelos unicelulares, largos, y transparentes. Las aurículas están situadas a los lados de la lígula y quebradizas (Clark 1998).

El ancho de la lámina foliar varía dependiendo también de la especie, hay muy angosta (10 mm) hasta bastante anchas (50 mm) (Zamora et al. 1999), se ser aguda en el ápice, cerrada desde éste hasta la mitad, con la vena bien marcada y venas menores paralelas. La superficie, especialmente la serior, es dura e irregular. Los bordes son fuertes, engrosados, duros y marados en la mitad superior. La coloración varía según la especie, desde verde marados en la mitad superior. La coloración varía según la especie, desde verde marados en la mitad superior. La coloración varía según la especie, desde verde marados en la mitad superior. La coloración varía según la especie, desde verde marados en la mitad superior.

La forma y estructura de la lámina está dada por la clase, número y moderno de los haces vasculares. Estos son de dos tipos: grandes y aislados pequeños y en grupos. Partiendo de la vena central hacia el borde se muentran primero de dos a tres venas o haces pequeños, separados por áreas buedas. Luego una vena o haz grande, después cuatro haces pequeños y mente un haz grande cercano al margen (Metcalfe 1960, León 1987).

Los haces vasculares están en grupos, con células engrosadas y llegan la epidermis. Como el tejido de relleno o mesófilo, es suave y está describado alrededor de los haces, éstos determinan la superficie irregularmente

modulada de la hoja. En las depresiones que dejan los haces en la cara adaxial se
 la la los grupos de células buliformes, con paredes delgadas y actúan a manera
 la bisagra, reguladoras de la turgencia de la lámina foliar. Cuando están llenos
 la agua la lámina es lisa, cuando carece de este líquido la lámina se enrosca
 Pohl 1980).

La epidermis de la lámina está formada por diversos tipos de células; tales célula de sílice, papilas, tricomas y las de los estomas, estas células contribuyen a darle una característica irregular y dura a la lámina (Metcalfe 1960).

#### **Inflorescencia**

La inflorescencia es una panícula, aparece al final del culmo y está pategida por una hoja terminal más corta y ancha que las inferiores, conocida no hoja bandera. El raquis de la inflorescencia es la continuación del culmo y, este, tiene células con clorofila en los tejidos externos. El raquis no es modico sino de lados planos, según la inserción de sus ramificaciones. Los del raquis son sólidos y los entrenudos, como en el culmo, tienen el centro de culmo. El raquis lleva ramificaciones desde el segundo a cuarto orden y a veces quinto; sobre éstas dos últimas se localizan las espiguillas (Montiel 1994).

La espiguilla se compone de tres flores, pero sólo la superior es fértil, mentras que las dos inferiores son órganos vestigiales llamados glumas y lemas mentras. Las envolturas florales en las flores fértiles, están formadas por las fértiles (la lema y la pálea) que recubren las lodículas, el ovario y las meras. Las flores estériles están representadas por unas prominencias en el mentra de la lamadas glumas y las lemas estériles que se hallan en la base de la mentra que por lo común son más cortas que la lema y la pálea. En ciertas mecies las lemas estériles llegan a alcanzar el mismo tamaño de las lemas (Metcalfe 1960, Pohl 1980, León 1987, Vaughan 1994).

La espiguilla fértil se forma de una lema o glumela inferior, una estructura forma de quilla, con cinco venas longitudinales, la central es más desarrollada y la quilla; las dos medianas y las dos externas están cerca de los bordes. La es dura, de superficie áspera debido a la presencia de numerosas espículas eces termina en un ápice agudo o una arista, que puede llegar a medir hasta Opuesta a la lema y un poco hacia arriba, está la palea, de forma estante, pero sólo presenta tres venas y carece de quilla y arista (Metcalfe

El flósculo se compone de las lodículas, dos cuerpos carnosos colocados base de las lemas estériles, que representan el perianto y cuya función es municipal a la dehiscencia de la espiguilla. La flor fértil tiene de tres a seis mores, de filamentos largos y anteras muy móviles. El gineceo consta de un esférico u oblongo, terminado en tres ramificaciones que sostienen el municipal que se más pequeña, las otras dos son bien desarrolladas y cubiertas de papilas. El ovario contiene sólo un rudimento seminal (Metcalfe León 1987, Montiel 1994).

#### Femilo

El fruto del arroz es una cariópside y está cubierto por las envolturas manentes, lema y pálea, que le envuelven por completo. La semilla se forma regumentos, embrión y endospermo, este último ocupa el mayor volumen. Integumentos del rudimento seminal forman una capa muy fina que rodea la Esta capa externa o pericarpo, se forma de tres tejidos diferentes y untene varias capas de células ricas en aleurona. Por su contenido de carias, grasas y minerales, las últimas constituyen, desde el punto de vista junto con el embrión la parte más importante de la cariópside. Ciertas en particular el complejo B, están también presentes en las envolturas, cuando el arroz se pule, se pierde la mayor parte de esos elementos (León 1987).

El endospermo es rico en almidón. Presenta, por lo común, una mancha senca hacia el centro y es traslúcido en el resto; este carácter puede cambiar según la especie.

El embrión ocupa el extremo inferior del lado ventral de la semilla y está 
questo a la lema. Es rico en proteínas, vitaminas y minerales. Está formado por 
plúmula y la radícula, unidos en un hipocótilo corto. El escutelo, que representa 
cotiledón, ocupa gran parte del cuerpo superior del embrión (Metcalfe1960).

#### Descripción del arroz cultivado

#### Oryza sativa L

Presenta gran número de variedades y tiene tres subespecies. La subespecie indica, usualmente tiene hojas verde claro, granos delgados, seguillas carentes de arista y presenta muchos brotes. La subespecie japonica, aptadas a climas templados, de granos redondos y pubescentes, de pocos y hojas verde oscuro. La subespecie japonica tropical que se conoce javanica, por lo general tienen granos largos, redondos, espiguillas pescentes y con arista, presenta pocos brotes (León 1987).

El cultivo se realiza en suelos inundados o en secano, algunos pueden sobrevivir como arroz flotante. Se cultiva entre los 0 y 3000 m de altitud (León 1567).

Durante varios años se utilizó en Costa Rica semilla de variedades criollas.

Sas eran producidas por el agricultor que las conservaba para la próxima membra. Posteriormente, en la década de los cincuenta, se introdujeron medades de los Estados Unidos, pero diversos problemas fitosanitarios las leseron fracasar. Luego se introdujeron variedades procedentes de Surinam las

tuvieron problemas agronómicos como volcamiento y susceptibilidad al resecto Tagosodes orizicolus (Orthoptera: Delfacidae) y al virus de la hoja blanca, entre otros.

Al final de los años sesenta, se introdujo de Filipinas, la variedad IR-8 de porte bajo, buen macollamiento y alto rendimiento. Esta variedad revolucionó la producción arrocera obligando a los agricultores a modificar las prácticas y producción usadas hasta ese momento en la explotación del cultivo.

En los años siguientes se introdujeron otras variedades como IR-22, CICA-4 y CICA-6. En el año 1973 el Programa de Investigación del MAG proporciona la variedad CR-1113 y actualmente se utiliza ésta y otras variedades como: CR-5272, CR-1821y Setesa-7 (Charpantier 1988).

#### Variedad CR-5272

Fue desarrollada en Costa Rica en 1976, por el Ministerio de Agricultura y Ganadería. Es de porte bajo, sus hojas son erectas, de buen vigor y macollamiento. Presenta baja esterilidad y trilla dura, pero es susceptible al hongo Magnaporthe grisea (conocido como Piricularia). Su ciclo vegetativo es de 115 mas. El grano es largo, produce buen rendimiento, es de buena calidad molinera y culinaria. Requiere que se coseche a la madurez para impedir el "rayado" del mano (Charpantier 1988).

### Especies silvestres de arroz

### Oryza rufipogon Griff

Es una planta perenne, diploide (2n=24) y su genoma AA (Chang 1976, Dustermaat 1987, Tateoka 1962b, Vaughan 1989). Pertenece al complejo O.

y está estrechamente relacionado con O. sativa y O. nivara con los cuales simpátricamente, produciendo híbridos (Morishima et al. 1992).

Es decumbente y flotante; forma raíces perennes; raíces adventicias y mificación extravaginal; sus entrenudos son largos, la lígula es bífida y puede medir hasta 4.5 cm. La panícula es bien desarrollada, la arista es larga (5.5 a mm), las anteras pueden medir aproximadamente 3 mm. El grano es medir entre 7.0 a 9.3 mm de largo y 1.9 a 2.6 mm de ancho, es millas, la planta puede tener pocas semillas, el embrión medir entre mide de 1 a 1.5 mm de largo.

Esta especie se encuentra en Asia en zonas pantanosas, ciénagas, campos e cultivo de arroz (principalmente en cultivos inundados). No sobrepasa los 1400 s. n. m (Vaughan 1994).

Crece en forma silvestre en Australia, Bangladesh, China, Filipinas, India, Indonesia, Laos, Malasia, Nueva Guinea, Vietnam, Sri Lanka, Thailandia. Se introdujo con el arroz cultivado en Bolivia, Brazil, Colombia, Costa Rica, Guyana Francesa, Honduras, México, República Dominicana y Venezuela, sitios donde se encuentra asociado al arrozal (Vaughan 1994).

### Oryza glumaepatula Steud

Esta especie silvestre americana es diploide (2n = 24) y tiene genoma AA.

Se le encuentra en Venezuela, Brasil, Bolivia (Akimoto 1998).

Las plantas de esta especie pueden crecer rápidamente cuando se incrementa el nivel de agua, el área internodal se elonga con rapidez y una vez acanzado cierto desarrollo el culmo se rompe y es liberado del suelo. Se desarrollan retoños y raíces adventicias en cada nudo y construyen "praderas totantes" que muchas veces son arrastradas grandes distancias por los vientos y

corrientes del río Amazonas y sus afluentes. De esta forma se dispersa a lo de los ríos o lagunas (Akimoto 1998).

Sus espiguillas miden hasta 11 mm; por lo general sus anteras miden más mm, algunas veces alcanzan hasta 7mm o más (Morishima et al. 1992), la puede medir hasta 80 mm y es de color rosado (Zamora et al. 1999). La mide hasta 4.7 cm (Akimoto 1998).

Frecuentemente se le encuentra en suelos lodosos (inundados), charrales, zacatales inundados, a la orilla de los ríos. En Sur América puede crecer en pas profundas, hasta los 4 m, prefiere suelos arcillosos negros. Crece entre los y 1400 m sobre el nivel del mar. Florece durante todo el año, aunque es comente encontrar mayor floración de abril a setiembre y de noviembre a comente. Su consumo es común en Brasil (Morishima & Martins 1993).

Se distribuye en las regiones tropicales de Sur América, principalmente en ano Amazonas y sus afluentes, en Cuba y el Caribe (Morishima & Martins 1993). En Costa Rica han dos poblaciones, una se encuentra restringida al Llano de los Deirios, en los márgenes del río Medio Queso, en el Cantón de los Chiles, povincia de Alajuela y la otra población en el camino a Murciélago, La Cruz, Uberia, Guanacaste (Zamora et al. 1999).

### Oryza latifolia Desv.

Es éndemica de América, se distribuye desde México hasta Brasil y las del Caribe. Es una especie del complejo *O. officinalis* y se relaciona espechamente con *O. alta* y *O. grandiglumis*, son tetraploides, de genoma CCDD = 48) (Oka 1961, Akimoto 1998).

O. latifolia es una planta de aproximadamente 2 m de altura, aunque puede encontrarse de menor o mayor tamaño; el ancho de la hoja no sobrepasa los 50

la lígula es membranosa, rígida y pubescente, es ciliada en el ápice y puede medir entre 3 y 6 mm de longitud. Las aurículas son ciliadas. La arista presenta cantidad de espículas y puede medir hasta 25 mm.

Crece en los claros de bosques húmedos, en bosques de crecimiento secundario, sabanas, entre pastizales, en campos de cultivo, en suelos lodosos, a orilla de los ríos, lagunas y quebradas. No crece a más de 700 m sobre el nivel mar (Pohl 1980). En Costa Rica se le encuentra en las tierras bajas, en varias de vida, desde el bosque tropical seco (1200 mm de precipitación anual) sea el bosque tropical húmedo (4000 mm de precipitación anual) y en evaciones desde 0 hasta los 650m. Las poblaciones más grandes se encuentran en el Refugio de Fauna Silvestre Palo Verde, provincia de sunacaste, en las inmediaciones del río Tempisque, en terrenos que sufren undaciones períodicas. Es también muy abundante en la vertiente Atlántica, en Area de Conservación Tortuguero (Zamora et al. 1999). Se le da el nombre común de arroz pato y florece durante todo el año (Oka 1961, Zamora et al. 1999).

#### Oryza grandiglumis (Doell) Prod.

Es una especie tetraploide (2n = 48), su genoma es CCDD. Crece entre 0 y 230 m sobre el nivel del mar. Florece de marzo a julio y en noviembre. En Brasil indígenas la utilizan como alimento y tiene valor como forraje (Vaughan 1994).

Las plantas de esta especie pueden alcanzar hasta 760 cm de altura, son de hojas anchas de 3 a 5 cm (Zamora et al. 1999), la lígula es pubescente. Las temas estériles o glumas pueden tener la misma longitud que la pálea y la lema, característica que la distingue de otras especies de *Oryza*.

Esta especie inicia su crecimiento principalmente de retoños durante la estación seca. Durante la estación lluviosa sus internudos se elongan

mantes" como lo hace *O. glumaepatula*. Crece en las orillas de lagos, lagunas y donde el agua es clara y quizás no podría sobrevivir en sitios de aguas de pH bajos (vive en ámbitos de pH de 6-7) y pobres en nutrientes monto 1998).

Se encuentra en Argentina, Bolivia, Brasil, Colombia, Ecuador, Guyana fincesa, Paraguay y Perú (Pohl 1980, Vaughan 1994, Akimoto 1998). En Costa fiene una distribución limitada al humedal de Caño Negro, en la zona Norte país, en bosques húmedos tropicales. Crece en los bancales del Río Frío, pecalmente en los terrenos fangosos (Zamora et al. 1999).

#### RESULTADOS

Traestructura de la lámina foliar, aurículas, lígula, espiguilla y cariópside de las especies del género Oryza

Oryza sativa L var. CR 5272

La ultraestructura de la lámina foliar en su parte adaxial (haz) presenta muy definida su venación paralela, con una vena central en la lámina que corresponde al haz vascular conspicuo y paralelos a ésta se encuentran los haces esculares inconspicuos (venas laterales), intercalados en ellos se presentan desos tipos de células.

En la zona adaxial, se observan las venas paralelas con largos tricomas celulares de ca. 492 μm de largo y muestran una base ampliada (Fig. 1a). En márgenes de la lámina foliar (Fig. 1b) se aprecia una hilera de tricomas soinosos alargados que tienen un promedio de 100 μm de longitud. Las células silice se observan formando largas hileras (Figs. 1c y 1d), se observa gran antidad de papilas, tricomas unicelulares largos y tricomas espinosos abultados, sos últimos pueden medir de 25 a 75 μm de largo, también se nota la presencia de tricomas hirsutos pequeños (Fig. 1c). Los estomas miden de 13 a 15 μm de largo y se encuentran rodeados por papilas, de sustancias cerosas, de dos a seis soilas a cada lado de las células subsidiarias (Figs. 1e y 1f).

Las franjas de células de sílice se observan alternando con hileras de papilas, que pueden corresponder al señalamiento de las venas laterales (Fig. 1d).

En la sección abaxial de la lámina foliar encontramos venas paralelas, ricomas atenuados, con su base agrandada muy evidente y los cordones de culas de sílice de forma crenado-verticales, típicas del género *Oryza* (Fig. 2a); memás, se observa estomas, células de sílice, papilas esféricas (Figs. 2b y 2c),

promas espinosos abultados que en vista lateral tienen forma de aleta de promo (Fig. 2b), y las más abundantes son estas papilas de cera que están mentes en ambas superficies de la lámina foliar (Fig. 2c)

La zona intercostal está compuesta por cordones de células de sílice y número de papilas; en la zona costal se observa gran cantidad de tricomas mosos abultados y múltiples papilas (Figs. 2a y 2b).

Los estomas en la zona abaxial de la lámina foliar son similares a los de la de adaxial (Fig. 2c), pero las papilas, estructuras de cera son redondas en vez de adaxial (Fig. 2c), pero las papilas, estructuras de cera son redondas en vez de adaxial (Fig. 2c), pero las papilas, estructuras de cera son redondas en vez de adaxial (Fig. 2c), pero las papilas, estructuras de cera son redondas en vez de adaxial (Fig. 2c), pero las papilas, estructuras de cera son redondas en vez de adaxial (Fig. 2c), pero las papilas, estructuras de cera son redondas en vez de adaxial (Fig. 2c), pero las papilas, estructuras de cera son redondas en vez de adaxial (Fig. 2c), pero las papilas, estructuras de cera son redondas en vez de adaxial (Fig. 2c), pero las papilas, estructuras de cera son redondas en vez de adaxial (Fig. 2c), pero las papilas, estructuras de cera son redondas en vez de adaxial (Fig. 2c), pero las papilas, estructuras de cera son redondas en vez de adaxial (Fig. 2c), pero las papilas, estructuras de cera son redondas en vez de adaxial (Fig. 2c), pero las papilas, estructuras de cera son redondas en vez de adaxial (Fig. 2c), pero las papilas, estructuras de cera son redondas en vez de adaxial (Fig. 2c), pero las papilas, estructuras de cera son redondas en vez de adaxial (Fig. 2c), pero las papilas, estructuras de cera son redondas en vez de adaxial (Fig. 2c), pero las papilas, estructuras de cera son redondas en vez de adaxial (Fig. 2c), pero las papilas, estructuras en vez de adaxial (Fig. 2c), pero las papilas, estructuras en vez de adaxial (Fig. 2c), pero las papilas, estructuras en vez de adaxial (Fig. 2c), pero las papilas, estructuras en vez de adaxial (Fig. 2c), pero las papilas, estructuras en vez de adaxial (Fig. 2c), pero las papilas, estructuras en vez de adaxial (Fig. 2c), pero las papilas, estructuras en vez de adaxial (Fig. 2c), pero las papilas, estructuras en vez de adaxial (Fig. 2c), pero las papilas en vez de adaxial (Fig. 2c), pero la cera en vez de adaxial (Fig. 2c),

La lígula es velluda, aguda y el extremo distal es bífido, mide de 13-45 mm

La go y está compuesta por tricomas espinosos pequeños y abundantes

(52d).

Las aurículas, ubicadas en los extremos laterales de la lígula, son pequeños pendices alargados, delgados y de forma rizoide, su longitud es de ca. 3 mm y mean una sección de la lámina foliar, a su vez están constituidos por numerosos unicelulares que miden entre 45 y 69 μm y tricomas atenuados de 1 a 2 de largo (Figs. 2e y 2f).

La espiguilla mide de 6 a 12 mm por 2 a 5 mm; es oblonga y carece de las lemas estériles de 1.4 a 3.5 mm de largo (Fig. 3a), se observan de la lemas fértiles presentan una estructura celular que la lemas cortos espinosos (Fig. 3b). Los estambres, formados por las anteras, de lóbulos y sus filamentos, se encuentran en número de seis y por la la largo (Fig. 3c). El gineceo, está constituído por el ovario, estilos y sus

estigmas plumosos, formados por células cortas de diversas formas (Fig. 3a

En la parte basal de la espiguilla se observa la ornamentación que sentan las gruesas glumas, las cuales tienen abundancia de sílice y lignina, lo les da una apariencia coriácea; también, se observan micropelos muy finos y dumas rudimentarias (Fig. 3e).

El grano de polen de este género presenta un solo poro, es monoporado y 22. 36 μm de diámetro y la ornamentación de la exina es sencilla (Fig. 3f).

La cariópside, está cubierta por dos gruesas lemas (cáscara o granza), mucho sílice y está lignificada. Se nota muy bien la línea longitudinal donde patró el grano (Fig. 4).

# **Description** Desv.

# latifolia (Cañas)

En la zona adaxial de la lámina foliar, notamos las papilas alargadas con dante cera cuticular (Fig. 5a). Las papilas forman hileras paralelas, alterando ma y distribución donde se encuentran los tricomas espinosos abultados. En la misma zona se observan abundantes papilas, hileras de células alternando con tricomas espinosos abultados, que miden entre 40 y 63 se aprecia otro tipo de tricoma, muy pequeño que mide entre 14 y 16 μm de Fig. 5c),. En los márgenes de la zona adaxial observamos una hilera de ganchudos que miden entre 81 y 150 μm de largo que alternan (Fig. 5d). En interior de la lámina el patrón epidérmico es el siguiente: cinco pares de de papilas de cera que se organizan en grupos, una hilera de estomas de papilas, continuando con otro par de hileras de papilas,

seguidamente observamos una hilera de células de sílice y se continúa el patrón normal de la lámina foliar (Fig. 5d).

Se apreciar un estoma, que mide ca. 17 µm de largo y en los extremos de células subsidiarias se observa una papila, se nota el patrón de cera cuticular forma de bastoncillos (Fig. 5e).

En la zona abaxial de la lámina foliar apreciamos las células epiteliales regradas en un patrón de hileras que incluye líneas de estomas, papilas y celulas de sílice, cuyo patrón se repite en toda la superficie (Figs. 6a y 6b). Los somas de cada hilera están rodeados de papilas esferoides, que se aprecian deramente cuando el estoma está cerrado (Fig. 6c). Las hileras de células de tienen aspecto de cremallera con tricomas espinosos abultados mercalados. Entre las hileras de estomas y células de sílice, se encuentran meras de papilas pequeñas miden ca. 6 por 9 μm y en algunos casos aparecen meras o grupos de tres a ocho papilas, en forma de lápida que miden ca. 12 por sum (Fig. 6d).

Las hileras de papilas podrían corresponder al señalamiento de la venación teral. En los márgenes de la lámina (Figs. 6a y 6b) encontramos una hilera de comas espinosos, además hacia el interior de esta superficie se observan dos de tricomas espinosos atenuados que miden desde 24 hasta 95 μm de rigitud; usualmente se disponen en pares, aunque, en algunos casos uno está de ante del otro. Se observa también un tricoma espinoso muy pequeño, que medir ca. 12 μm (Figs. 6b y 6c).

En el envés de la hoja y sobre la zona costal se observa la vena central mada por células que carecen de cera cuticular y de papilas, carente de las sucturas características en el resto de la superficie. En su borde hay papilas aparentemente se van diferenciando a medida que se alejan de la vena, pues la sexta o sétima hilera son más grandes y anchas (Fig. 6d). Los tricomas

amina foliar, exceptuando los que se encuentran en las hileras de las células están rodeados por papilas, multilobuladas, que tienen de dos a cuatro (Fig. 6c).

Las aurículas son estructuras de forma rectangular que miden ca. 3.84 mm por 1.32 mm de ancho, aproximadamente y su superficie presenta dantes tricomas cortos y atenuados largos, éstos últimos se hacen más dantes en los bordes de la aurícula (Fig. 6e).

La lígula es membranosa y tiene abundantes tricomas atenuados largos en memo apical y en la superficie otro tipo de tricoma espinoso ganchudo de tamaño y por la forma del extremo distal es truncada, mide de 3 a 6 mm.

La espiguilla mide de 5 a 8 mm de largo, por 2-3 mm de ancho; la lema es más corta que la fértil y es común encontrar estomas en su base (Fig. La lema fértil mide ca. de 5-8 mm por 1.8-2.5 mm, es oblonga, rugosa y está cubierta de tricomas espinosos. Se observan los tricomas espinosos márgenes, sobre y entre las venas (Fig. 7a). Tiene una arista, cuyo largo entre 8 y 35 mm. Los estambres, formados por los filamentos y anteras tenen cuatro lóbulos. Las anteras son basifijas y en número de seis con una promedio de 2 a 3 mm (Fig. 7c). El ovario está constituído por dos plumosos que están cubiertos de células cortas de varias formas.

La cariópside tiene las lemas estériles lanceoladas y sus bordes son con espinas en los bordes) La lema y la pálea están cubiertas de estas espículas, se evidencia las venas paralelas de estas estructuras (Fig.

# Cryza latifolia (Carara)

La zona adaxial de la lámina foliar tiene dos tipos de tricomas unicelulares, de ellos es pequeño como una aleta corta y espinoso, de ca. 26 μm de largo. Es otro es espinoso con la base abultada y más grande, su longitud promedio es 46.5 μm, también se aprecian las hileras de células de sílice, grupos de papilas esgadas (Fig. 7e). En el borde de la lámina foliar se observa una hilera de tecomas espinosos, cuya longitud es de ca. 93 μm (Fig. 7f).

La zona abaxial de la lámina foliar muestra la vena central decorada con polas poco prominentes, distribuidas irregularmente (Fig. 8a). La superficie exial se compone de hileras de células de sílice que alterna con dos tipos de prolas, unas alargadas y otras en forma de lápida; ambos tipos de papilas se encuentran distribuidas a lo largo de toda la lámina foliar y también hay bulares. En el borde de la lámina observamos una hilera de tricomas espinosos abultados en la base y alternando con las células de sílice encontramos mas ganchudos (Fig. 8b). Se aprecia que los estomas están rodeados por mete a ocho papilas esferoides, lo que brinda un aspecto de rosetas (Fig. 8b). En Eminos generales, el patrón morfológico de la cara abaxial está integrado por momas en el borde, seguido por hileras alternas de papilas esferoides, de becomas ganchudos, papilas en forma de lápida, miden ca. 7X15 μm, células de papilas alargadas y esferoides, rosetas de estomas y finalmente aparecen hileras seguidas de células de sílice con tricomas ganchudos intercalados entre ellas. Sigue una hilera de papilas esferoides y se repite nuevamente el parón hasta alcanzar la vena central, que se identifica por ser la más prominente Fig. 8b).

Las aurículas son envolventes y tienen una longitud de ca. 3 mm, su perficie presenta tricomas unicelulares cortos y en los bordes observamos pundantes tricomas atenuados que miden ca. 1 a 1.7 mm de largo (Fig. 8c). La lígula es cónica, su extremo distal es agudo, mide ca. 3.4 mm de largo, pubescente, posee tricomas ganchudos, cortos y rígidos, de ca. 47 μm de largo 8d) y en su extremo distal tiene gran cantidad de tricomas largos de ca. 560 m (Fig. 8e).

En la espiguilla se aprecian las glumas fértiles (la lema y la pálea), el miculo, la venación y los tricomas ganchudos ca. de 173 μm de largo (Fig. 8f). Se observa el gineceo formado por el ovario, el estilo y dos estigmas (Fig. 9a). Les estigmas son estructuras plumosas que nacen en el estilo y que son una mensión del ovario (Fig. 9b).

# Cayza latifolia (Pelón)

La zona adaxial de la lámina foliar tiene el patrón característico de la perficie de la especie, exceptuando un tipo de tricoma unicelular y de una tud ca. de 44 μm (Figs. 9c y 9d). El borde se caracteriza por la presencia de hilera de tricomas espinosos de diferente tamaño (Fig. 9c).

En la zona abaxial de la lámina foliar, notamos que los bordes de la lámina semejantes a los de Cañas (Figs. 8a y 9e). Los tricomas presentes en este miden entre 65 y 120 μm.

La lígula tiene el extremo distal truncado, mide ca. 2 mm y tiene tricomas perosos que se tornan más abundantes conforme asciende hacia la parte distal se 9f y 10a).

Las aurículas tienen una longitud ca. de 3.5 mm y están decoradas con cantidad de tricomas cortos en la superficie y tricomas largos en los bordes 10b y 10c).

La espiguilla es coriácea y mide ca. 3 mm. La lema y la pálea tienen sílice grante y cinco y tres venas respectivamente. Están presentes los tricomas comosos. La espiguilla presenta seis anteras basifijas de ca. 1.5 mm y dos comosos de ca. 1.5 mm de largo (Figs. 10 d-f).

La especie O. latifolia presenta en su lámina foliar un patrón cuticular fermado de gran cantidad de bastoncillos cerosos.

# Oryza rufipogon Griff

La zona adaxial tiene gran cantidad de tricomas espinosos hirsutos, y su postud varía entre los 40 y 97 μm (Fig. 11a). Esta especie presenta un patrón regular en su lamina foliar. En la zona adaxial la venación paralela se alterna con varios tipos de células, hilera de células de sílice de forma crenada elementaria con células que tienen una papila esferoide. Entre las células de sílice intercalan tricomas espinosos abultados de ca. 100 μm (Fig 11a). Se observa tipo de tricoma de aspecto espinoso de ca. 97 um. Ambos tipos de tricomas encuentran rodeados por papilas de cera, en los espinosos abultados las son alargadas y en los espinosos erectos las papilas son bilobuladas y loculadas (Figs. 11a y 11b). El patrón epidérmico se repite hasta alcanzar la central. Entre las papilas de cera se encuentran los estomas, que miden de la 15 μm de largo y están adornados por un grupo de cuatro o siete papilas que localizan sobre sus células subsidiarias (Fig. 11c).

En el borde de la lámina foliar hay tricomas espinosos, algunos muy requeños de ca. 10 μm y otros más grandes que miden ca. 200 μm (Fig. 11d).

Cerca de este borde, pero solo en la zona adaxial aparecen estomas grandes de a 33 μm de largo y las células oclusivas y subsidiarias carecen de papilas cercas (Fig. 11e).

En la zona abaxial de la lámina foliar se observan las venas paralelas (Fig. recubiertas por papilas en forma de lápida, que miden ca. 16 μm de largo por μm de ancho, y se encuentran cubiertas de cera (Figs. 11f y 12a). El patrón la lámina foliar en esta zona es semejante al descrito en la zona adaxial, pero la abaxial es más regular y ordenado (Fig. 11f). Los tricomas espinosos son menos frecuentes; aunque sus dimensiones son similares ca. 97 μm. la embargo, es muy evidente la decoración de las venas por un tipo de papila la bular gigante de ca. 19 μm de diámetro, que sobresalen de entre las papilas que son muy abundantes en toda la superficie de la lámina foliar (Fig.

Las aurículas de O. rufipogon miden ca. 4.1 mm de longitud y tiene forma code, su superficie está cubierta de pelos espinosos pequeños y su borde tiene atenuados largos de casi 2 mm (Fig. 12c). La base de estos tricomas rodeada por agrupaciones de células distribuidas en forma irregular (Fig. 22).

La lígula es aguda y en su extremo distal bífida, mide ca. 11 a 45 mm y su midermis está formada por gran cantidad de hileras de papilas muy pequeñas y midem ca. 22 a 49 (Fig. 12e).

La espiguilla en su extremo distal, tiene una arista prominente que se coma en la lema y mide ca. 48 a 60 mm y la pálea tiene un apículo (Fig. 12f). La compuilla mide ca. 9 mm y tiene seis anteras basifijas características del género. La antera mide ca. 2 mm. En esta espiguilla se observa la raquilla, que une las fértiles con las estériles. Estas últimas miden ca. 2 mm de largo y son debido a la abundancia de sílice y lignina (Fig. 13). En O. rufipogon el code de las lemas estériles es irregular, tienen forma de ala (Figs. 14a y 14b). La y la pálea están formadas por hileras de papilas lignificadas, con una o dos concecciones a manera de espinas (Fig. 14b). Entre esas estructuras aparecen

gneceo, formado por el ovario, con sus dos estigmas plumosos de ca. 1.2 μm, y en el estilo, que es una prolongación del ovario (Fig. 14c).

El embrión se encuentra en el lado ventral de la espiguilla, junto a la lema y esto de la cariópside lo constituye el endospermo amiláceo (Fig. 14d). El está compuesto por el ovario maduro, la raquilla, las lemas fértiles y por la arista. Las lemas fértiles (lema y pálea) forman la cáscara, que el grano, cuando éstas no están, se le denomina cariópside, la capa más es el pericarpo. En la base de la cariópside hay un punto de unión o con la pálea, denominado "ojo" (Fig. 14e).

### glumaepatula Steud

La zona adaxial de la lámina foliar de esta especie, presenta los tres tipos e papilas de cera, el de forma de lápida mide ca. 10.4 μm de alto por 15.5 μm de encho, las papilas alargadas miden ca. 12.25 μm de largo y las esferoides, que encho un diámetro ca. de 3 μm y son las más numerosas (Fig. 15a).

El borde de la lámina foliar presenta una hilera de tricomas espinosos cuados y miden ca. 42.5 μm. El patrón epidérmico está formadodo por: cinco cas de los tres tipos de papilas, predominando las papilas en forma de lápida, hilera de células de sílice, dos hileras de papilas entre las que se intercalan comas espinosos abultados e hirsutos pequeños de ca. 32 μm. Este patrón se hasta cubrir toda la superficie adaxial de la lámina. Cada una de las hileras esilice presenta una pequeña papila central y el conjunto muestra un aspecto de cemallera (Fig. 15a). Los estomas, cuya longitud ca. es de 16 μm, aparecen deados de cuatro a ocho papilas esferoides y alternan con papilas en forma de la (Fig. 15b y 15c).

En la zona abaxial de la lámina foliar se observa la venación paralela, la central está decorada con papilas globulares que miden ca. 146 μm en el eje contal y 138 μm en el eje vertical (Fig. 15d).

Del borde hacia la vena central el patrón de la zona abaxial es el siguiente:

shileras de grupos de papilas bilobuladas, en las cuales las papilas de los tremos de cada grupo son pequeñas y aumentan su tamaño hasta alcanzar un bomo en la zona central del grupo, y entre cada grupo hay una pequeña área papilas. Aparecen tres hileras de estomas, cada uno rodeado por papilas tericas e intercalados entre los estomas aparecen papilas más grandes bouladas. Se observa dos hileras de papilas y finalmente hay una hilera de la se repite el mismo patrón descrito anteriormente (Fig. 15e). En esta zona presente un tipo de tricoma unicelular, que aparentemente tiene una sociatar muy delicada pues se colapsa fácilmente (Fig. 15f).

Las aurículas son de forma rizoide, miden ca. 5.5 mm y en la superficie esenta tricomas bicelulares que miden ca. 5.5 µm de longitud (Fig. 16a y 16b).

Es tricomas atenuados de los bordes son más grandes, miden ca. 1.60 mm (Fig. y su base está recubierta de células alargadas (Fig. 16c).

La lígula es aguda y en su extremo distal es bífida, mide ca. 50 mm y la perficie presenta el mismo patrón de la lámina foliar; sin embargo, lo más espicuo de este patrón es la presencia de tricomas espinosos abultados, per aparece recubierta por papilas y gran cantidad de tricomas atenuados espinos y unicelulares que miden ca. 1 mm (Figs. 16c y 16e).

La espiguilla mide ca. 10 mm, tiene seis anteras que miden ca. 3 mm, son as y cada una de ellas tiene cuatro lóbulos (Fig. 16f), tiene una arista que se una en la lema (Fig. 17a). Las lemas fértiles (la lema y la pálea) se encuentran por hileras de papilas lignificadas que presentan una o dos

2 mm de longitud (Figs. 17 a y b). Tiene dos estigmas plumosos unidos al perio por el estilo (Fig. 17b). En esta espiguilla se observa la raquilla que une las estériles con las fértiles (Fig. 17c). Las lemas estériles miden entre 2 y 3 y son coríaceas, debido a la presencia de lignina y de sílice; además, su es dentado y es bastante irregular (Fig. 17d).

Las anteras están formadas de células alargadas cubiertas de cera, en la cografía observamos el detalle del extremo distal de la misma (Fig. 17e).

Los granos de polen son redondos, de ornamentación sencilla, conoporados y miden ca. 36 μm (Fig. 17f).

### Dyza grandiglumis (Doell) Prod

La zona adaxial de la lámina foliar, presenta el patrón paralelo de la consción inconspicua (venas laterales) y entre ellas se observa diversos tipos de conscionado de la lámina foliar, presenta el patrón paralelo de la consción inconspicua (venas laterales) y entre ellas se observa diversos tipos de conscionado de la lámina foliar, presenta el patrón paralelo de la conscionado de la lámina foliar, presenta el patrón paralelo de la conscionado de la lámina foliar, presenta el patrón paralelo de la conscionado de la lámina foliar, presenta el patrón paralelo de la conscionado de la lámina foliar, presenta el patrón paralelo de la conscionado de la lámina foliar, presenta el patrón paralelo de la conscionado de la lámina foliar, presenta el patrón paralelo de la conscionado de la lámina foliar, presenta el patrón paralelo de la conscionado de la lámina foliar, presenta el patrón paralelo de la conscionado de la lámina foliar, presenta el patrón paralelo de la conscionado de la lámina foliar, presenta el patrón paralelo de la conscionado de la lámina foliar, presenta el patrón paralelo de la conscionado de la lámina foliar, presenta el patrón paralelo de la la lámina foliar, presenta el patrón paralelo de la la lámina foliar, presenta el patrón paralelo de la la lámina foliar, presenta el la lámina foliar, presenta el patrón paralelo de la la lámina foliar, presenta el la lámina foliar el la la lámina el la lámina e

La lámina foliar en la zona adaxial presenta el siguiente patrón: hilera de cultados de sílice en la que se encuentran intercalados los tricomas espinosos butados, hileras de papilas alargadas y bilobuladas, hileras de pequeños estemas que miden ca. 5.4 µm y se encuentran rodeados de papilas de cera,

de papilas bilobuladas, hileras de papilas que presentan un patrón de cera abundante, hileras de papilas bilobuladas en las que se observa intercalados precomas pequeños inclinados, hileras de papilas bilobuladas, hileras de papilas y nuevamente se repite el patrón (Fig. 18a).

En la zona abaxial y del borde hacia el interior de la lámina foliar, el patrón es el siguiente: hileras de tricomas espinosos alargados alternando con y pequeños tricomas espinosos abultados, hileras de papilas, hileras de sílice en las que se intercalan tricomas espinosos abultados que tienen tamaño, hileras de papilas, hileras de células de sílice donde se intercalados los tricomas espinosos abultados, la descripción hecha central el patrón celular es el siguiente: hileras de papilas que intercalan estomas que se encuentran rodeados de papilas, una hilera de células de intercalada con tricomas espinosos abultados, hileras de papilas esferoides encuentran muy bien delineadas, hileras de células de sílice, hilera de alargadas intercaladas con tricomas de estructura delicada que se san con facilidad, hileras de estomas, hileras de papilas en forma de lápida y semente se repite el patrón (Figs. 18c-e).

La lámina foliar está constituída por una capa de cera cuticular, formada por cantidad de bastoncillos cerosos, que se distribuyen formando una capa muy (Figs. 18e y 18f).

Separando la lámina foliar de la vaina se observa las aurículas y la lígula.

La curiculas son curvadas envolventes y miden ca. 5 mm, rodean la lámina foliar

La curiculas son curvadas envolventes y miden ca. 5 mm, rodean la lámina foliar

La curiculas alamina foliar de la ca. 5 mm, rodean la lámina foliar

La curiculas envolventes y miden ca. 5 mm, rodean la lámina foliar

La curiculas son curvadas envolventes y miden ca. 5 mm, rodean la lámina foliar

La curiculas y la lígula.

La curiculas y la lígu

La lígula es truncada en el extremo distal y puede medir ca. de 3 a 6 mm y está cubierta de tricomas espinosos pequeños y tricomas atenuados (Fig. 19c).

La espiguilla, tiene las lemas estériles casi del mismo tamaño que las emas fértiles (lema y pálea), es oblonga y mide ca. 10 mm. Tiene una arista y en pálea se evidencia el apículo. Se observa la raquilla, que une las lemas fértiles con las estériles, en ella se evidencia una corona de espinas, localizada entre la aquilla y las lemas fértiles (Figs. 19d-f). La raquilla está cubierta por pequeños comas espinosos. Las lemas estériles son lisas, en la base notamos la resencia de estomas y el borde es dentado (Figs. 20a y 20b). Las lemas fértiles ema y pálea) presentan una estructura celular que asemeja un cedazo finamente do y están compuestas por hileras de estructuras lignifacadas, con una o dos revecciones, a manera de espinas y entre estas estructuras se observan tricomas solucidos, son coriáceas debido a la presencia de lignina y sílice (Fig. 20c). La solucilla tiene seis anteras basifijas que miden ca. 4 a 5 mm, cada una de ellas formada por cuatro lóbulos (Fig. 20d). El ovario está formado por dos sogmas plumosos, constituidos por células cortas de varias formas (Figs. 20e y

El grano de polen es el característico para el género Oryza (Figs. 21a y 21b).

La cariópside está cubierta por dos gruesas lemas (cáscara) lignificadas. El ambrión se localiza junto a la lema y el resto de la cariópside lo ocupa el andospermo

Todas las micrografías de las muestras analizadas, de las especies O. var CR- 5272, O. glumaepatula, O. rufipogon, O. latifolia y O. grandiglumis con comparadas con las muestras respectivas, de plantas de cada especie que cián sido previamente identificadas. Se observaron con el microscopio ectrónico de barrido S- 2360N, estas muestras no se sometieron a ningún

ceso químico y tampoco se les tomó micrografías. Fueron comparadas comparadas extamente y se puede afirmar que las muestras analizadas corresponden a las secies previamente idendificadas y que las lemas de *O. grandiglumis* de Brasil y Costa Rica presentaron una diferencia en el patrón epidérmico de las lemas esteries (Figs 21c y 21d), pero después de observar nuevas semillas se encontró el patrón es similar, lo que varía es el tamaño y grosor de las lemas estériles.

O. grandiglumis de Costa Rica tiene las lemas estériles coriáceas, secladas, dentadas y con algunas espinas y células prominentes en la seficie y cubren del 60 al 70% de las lemas fértiles; las lemas estériles de O. seglumis de Brasil, son lanceoladas, grandes, gruesas y con espinas, cubren al 95% del tamaño de las lemas fértiles, algunas presentan el patrón de sus lemas fértiles, otras el patrón epidérmico de las lemas estériles especie de Costa Rica (ver apéndice 5).

Los cuadros 2, 3 y 4 resumen las características ultraestructurales de las especies analizadas, destacándose así las similitudes y diferencias.

38

Comparación de las aurículas de las especies costarricenses de Onyza: forma, tamaño y tricomas

Especie	g	Forma	o strates	Longitud	Longitud y distr	Longitud y distribucion de tricomas
	Rizoide	Envolvente	Rectangular	(mm)	Bordes	Superficie
O. sativa	×			3 (pequeñas)	Atenuados 1-2	Espinosos 45-70 μm
O. rufipogon	×			4 (medianas)	Atenuados ca.2 mm	Espinosos ca.75 μm
O. glumaepatula	×			5.5 (grandes)	Atenuados ca.2 mm	Bicelulares ca.120 μm
O. grandiglumis		×		5 (grandes)	Atenuados ca.3 mm	Espinosos ca.60 µm
O. latifolia (Cañas)			×	4 (medianas)	Atenuados ca.1.5 mm	Atenuados ca.1.5 mm
O. latifolia (Carara)		×		3.5 (medianas)	Atenuados ca.1.5 mm	Espinosos ca.50 μm
O. latifolia (Pelón)		×		5 (grandes)	Atenuados ca.1.6 mm	Espinosos

Comparación de las liguias de las especies costarricenses de Oryza: forma, tamaño y tricomas

Especie	Forma	Forma del extremo distal	o distal	Longitud	Tri	Tricomas
	Bífido	Agudo	Truncado	(mm)	Extremo distal	Superficie
O. sativa	×	esanti-	oranta (	13-45	No	Tricomas espinosos abultados 70 μm
O. rufipogon	×	RY 15	in I bosti	11-45	ON.	Tricomas espinosos abuldados 20-48 μm
O. glumaepatula	×	4914		ca. 50	ON.	Atenuados ca. 100 μm y espinosos 30-75μm
O. grandiglumis			×	ca. 3.5	Atenuados ca.2mm.	Espinosos са.26 µm
O. latifolia (Cañas)			×	са. 3-6	Atenuados ca. 1mm.	Espinosos <i>ca.</i> 47 μm
O. latifolia (Carara)		×		ca. 3.5	Atenuados ca. 1.5mm.	Espinosos <i>ca</i> . 50 µm
O. latifolia (Pelón)			×	4	Atenuados ca. 1 mm	Espinosos <i>ca.</i> 50 µm

# **CUADRO 4**

# Comparación morfológica de las espiguillas de las especies costarricenses de Oryza: forma, tamaño y tricomas

Especies de	Lemas estériles		Lemas fértiles			
Oryza	Forma	Tricomas	Antera	Estigma	Tricomas	Arista
2. sativa	Lanceolada	no	ca. 2 mm	ca. 1mm	Pocos peq.	Sin arista
2 rufipogon	Serrada	no	ca. 1 mm	ca. 2 mm	Abundantes	48 mm
<b>1</b> giuamepatula	Serrada	En los bordes	3-7 mm	ca. 2 mm	Abundantes*	82 mm
1 grandiglumis	Lanceolada	En los bordes	ca.3,5mm	ca. 2 mm	Abundantes <sup>b</sup>	30 mm
<b>1. latifolia</b> Cañas)	Lanceolada	En los bordes	ca.1 mm	ca. 2 mm	Moderados	25 mm
1 latifolia Carara)	Lanceolada	En los bordes	ca.1 mm	ca. 1mm	Moderados	25 mm
D. latifolia Palón)	Lanceolada	En los bordes	ca.1,5mm	ca. 1,5m	Moderados	Sin arista

Localizados en lema y pálea. Espinas entre la raquilla y las lemas fértiles.

### DISCUSION

Las características ultraestructurales, resultan de gran ayuda en el conocimiento de especies estrechamente relacionadas. Estudios destructurales realizados en gramíneas por Hoagland & Paul en 1978 y Clark en 1975, han sido de gran ayuda para detallar caracteres morfológicos y despecies la relación entre las especies.

En este estudio en particular el microscopio electrónico de barrido fue una manienta indispensable para determinar las diferencias y semejanzas de las pecies analizadas, debido a que algunas especies presentan caracteres muy mares y la observación con un microscopio de luz o un estereoscopio, se ve mada por la resolución y aumentos que ofrecen.

El patrón epidérmico de la lámina foliar del género *Oryza*, que describió en 1896, (citado por Metcalfe 1960) y por Hoagland & Paul (1978), encuerda con el observado en las especies estudiadas; el patrón cuticular está encuerizado por la presencia de hileras de células de sílice de forma crenada, encuerda que se encuentran predominantemente sobre las venas, estomas forma romboidal, con papilas de cera sobre las células subsidiarias que cuando poro está cerrado, le confieren forma de roseta. También encontramos en la tricomas atenuados y espinosos, y gran cantidad de papilas de cera de cera de formas distribuidas con un patrón muy regular.

Aunque, el patrón epidérmico en la lámina, es semejante para todas las pecies, cada una de ellas presentó, por lo menos, un tipo de tricoma en la mina que las diferencia. En *O. sativa*, var. CR- 5272, encontramos el tricoma unado, en las superficies adaxial y abaxial de la lámina. En sus bordes están entes los tricomas del tipo espinoso delgado y alargado, según la clasificación tricomas presentada por Payne (1978). La especie *O. rufipogon* tiene undantes tricomas hirsutos y en sus bordes una hilera de tricomas espinos utados, de acuerdo a lo descrito por Metcalfe en 1960. *O. glumaepatula* esenta tricomas espinosos y tricomas hirsutos, similares a los de *O. rufipogon*, en menor cantidad que en este último. *O. latifolia* presenta en sus bordes hilera de tricomas espinosos en forma de gancho, alternando uno espinoso trado y uno espinoso abultado, similares a los descritos por Montiel en 1972, chaetium bromiodes (subfamilia Panicoideae). *O. grandiglumis* presenta en borde tres hileras de tricomas del tipo espinoso abultado, alternando unos de maño muy pequeño que pueden medir 17 µm y otros más grandes de ca. 243

Con respecto a los tricomas espinosos abultados presentes en la lámina nuestros resultados no concuerdan con las observaciones de Hoagland & (1978), en un estudio ultraestructural realizado en cuatro variedades de O. Starbonnet, Bluebelle, Labelle, LA-110, Mochi-Gammi y en el arroz Rojo, a que observaron estos tricomas, en la superficie abaxial y no en la lámina.

Según la clasificación para los patrones morfológicos de cera cuticular de la limina foliar de las gramíneas, realizada por DeBary en 1972, (citado por linguand & Paul 1978), el patrón morfológico que corresponde a la lámina foliar las especies O. sativa var CR-5272, O. rufipogon, O. glumaepatula, O. latifolia grandiglumis es el de forma de bastoncillos

Estudios al microscopio electrónico de transmisión han revelado que estos como es se mantienen constantes en cada planta de una especie dada, pero man para producir diferencias significativas entre especies (Juniper 1957, per et al. 1958, Eglinton 1967). En este análisis, las cinco especies diadas presentaron un patrón de cera cuticular semejante en el patrón básico, O. grandiglumis presenta un patrón más denso que el de las otras cuatro decies. Según Hoagland & Paul (1978) esta característica cuticular podría deciar la penetración de pesticidas.

Las aurículas son estructuras características de la subfamilia Oryzoideae 1978); la forma de éstas constituyó en el presente estudio otra característica cortante para el reconocimiento de las especies incluidas. La forma de esta nuctura presentó mayor similitud en los dos grupos, de acuerdo al genoma. Semejantes en O. sativa var. CR-5272, O. rufipogon y O. glumaepatula, que sólo esta última especie presenta tricomas bicelulares en la superficie de aurículas. El grupo formado por O. latifolia (Pelón y Carara) y O. grandiglumis, presentan una similitud en la forma de las aurículas. En O. latifolia (Pelón y Carara) las aurículas tienen forma rectangular, diferentes a las de los otros dos analizados. Detalles en el cuadro 2.

La lígula, estructura membranosa, descrita por Colomb en 1887, (citado Metcalfe 1960), presenta una forma similar en las especies *O. sativa* var. CR
O. rufipogon y O. glumaepatula, ocurriendo lo mismo en las especies O.

y O. grandiglumis. Pero en O. latifolia Carara, la lígula tiene forma diferente a la descrita para los grupos citados. Detalle en el cuadro 3.

Metcalfe (1960) y Hoagland & Paul (1978) mencionan que la morfología de espiguilla en las especies de *Oryza* es similar. En el análisis ultraestructural azado, nuestras observaciones concuerdan con lo observado por Hoagland & (1978) para estas estructuras. Las lemas estériles pueden ser lanceoladas y das o en forma de ala con los bordes dentados o lisos y en la base de las

\*\* Sould (1975) en las páleas de Dichanthelium dichotomum, D. \*\*

\*\* Dichanthelium dichotomum, D. \*\*

\*\* Sould (1975) en las páleas de Dichanthelium dichotomum, D. \*\*

\*\* Sould (1975) en las páleas de Dichanthelium dichotomum, D. \*\*

\*\* Sould (1975) en las páleas de Dichanthelium dichotomum, D. \*\*

\*\* Sould (1975) en las páleas de Dichanthelium dichotomum, D. \*\*

\*\* Sould (1975) en las páleas de Dichanthelium dichotomum, D. \*\*

\*\* Sould (1975) en las páleas de Dichanthelium dichotomum, D. \*\*

\*\* Sould (1975) en las páleas de Dichanthelium dichotomum, D. \*\*

\*\* Sould (1975) en las páleas de Dichanthelium dichotomum, D. \*\*

\*\* Sould (1975) en las páleas de Dichanthelium dichotomum, D. \*\*

\*\* Sould (1975) en las páleas de Dichanthelium dichotomum, D. \*\*

\*\* Sould (1975) en las páleas de Dichanthelium dichotomum, D. \*\*

\*\* Sould (1975) en las páleas de Dichanthelium dichotomum, D. \*\*

\*\* Sould (1975) en las páleas de Dichanthelium dichotomum, D. \*\*

\*\* Sould (1975) en las páleas de Dichanthelium dichotomum, D. \*\*

\*\* Sould (1975) en las páleas de Dichanthelium dichotomum, D. \*\*

\*\* Sould (1975) en las páleas de Dichanthelium dichotomum, D. \*\*

\*\* Sould (1975) en las páleas de Dichanthelium dichotomum, D. \*\*

\*\* Sould (1975) en las páleas de Dichanthelium dichotomum, D. \*\*

\*\* Sould (1975) en las páleas de Dichanthelium dichotomum, D. \*\*

\*\* Sould (1975) en las páleas de Dichanthelium dichotomum, D. \*\*

\*\* Sould (1975) en las páleas de Dichanthelium dichotomum, D. \*\*

\*\* Sould (1975) en las páleas de Dichanthelium dichotomum, D. \*\*

\*\* Sould (1975) en las páleas de Dichanthelium dichotomum, D. \*\*

\*\* Sould (1975) en las páleas de Dichanthelium dichotomum, D. \*\*

\*\* Sould (1975) en las páleas de Dichanthelium dichotomum, D. \*\*

\*\* Sould (1975) en las páleas de Dichanthelium dichotomum, D. \*\*

\*\* Sould (1975) en las páleas de Dichanthelium dichotomum, D. \*\*

\*\* Sould (1975) en las páleas de Dichanthelium dichotomum, D. \*\*

\*\* Sould (1975) en las páleas de Dichanthelium dichotomum, D. \*\*

\*\* Sould (1975) en las páleas

Las lemas fértiles, tienen cinco venas en la lema y tres en la pálea y se cuentran recubiertas de papilas de sílice, distribuidas en forma regular, y esentan varias proyecciones en su extremo distal y son de aspecto rígido y esentan varias proyecciones en su extremo distal y son de aspecto rígido y esentan varias proyecciones en su extremo distal y son de aspecto rígido y esentan un microanálisis de rayos-X, realizado por Clark & Gould en 1975, se esterió que estas papilas, también presentes en la pálea de Panicum, estanthelium y Echinochloa (familia Poaceae) contenían una alta concentración esilice. Estas papilas, son comparables a los "cuerpos de sílice", descritos por entenían una la lemas fértiles presentan una estactura lignificada y con espinas.

Con respecto a los componentes del flósculo (Pohl 1980), se observó el meceo constituido por un pistilo, con un lóculo, ovario oblongo y súpero con dos solos y dos estigmas plumosos (Samuel 1988) formados por papilas alargadas, se observó en este análisis. Al estambre lo constituyen el filamento y la que tiene cuatro lóbulos cubiertos de células alargadas con cera cuticular, se pudo demostrar en el presente análisis. En cada especie estudiada contramos seis estambres y de acuerdo a la inserción del filamento en la antera, lamados basifijos (Samuel 1988). Lo que varía en la espiguilla es el tamaño, longitud de las anteras y de los estigmas, que en las especies silvestres son de la lamaño. También la cantidad de espinas de las lemas fértiles y la mesencia o ausencia de arista y la forma de las lemas estériles, que pueden resentar espinas, tanto en sus bordes, como en la superficie o pueden carecer de

En O. sativa los tricomas espinosos sobre la superficie de las lemas fértiles, escasos y pequeños, mientras que en las otras especies se observaron abundantes y de mayor tamaño.

El grano de polen es de forma esferoidal y concuerda con la clasificación por Erdtman (citado por Montiel y Kozuka 1994) y análisis realizados al sescopio electrónico de barrido por Moore et al. (1983, 1991) confirman los mados obtenidos en este estudio, ya que el grano de polen del género Oryza monoporado y la forma y decoración de la exina es sencilla. De acuerdo a y Kozuka (1994) no existen diferencias significativas entre las especies del Oryza, resultados que concuerdan con los obtenidos en este análisis.

El fruto de esta especie es una cariópside, está compuesto por el ovario duro, la lema y la pálea, la raquilla, las lemas estériles y la arista cuando se cuentra presente. De las especies analizadas las que no tienen arista son: O. La var. CR-5272 y uno de los "ecotipos " de O. latifolia. El embrión está unido endospermo. La lema y la pálea, con sus estructuras asociadas (referidas en guilla), contituyen la cáscara. El embrión se encuentra en el lado ventral de la guilla, junto a la lema. El resto de la cariópside lo ocupa el endospermo especies analizadas. Varia la cantidad y tamaño de las espinas presentes en una de ellas, en el caso de O. sativa var CR-5272 la cariópside tiene espinas y son escasas. Las otras especies descritas presentan espinas largas y abundantes. Otra característica que varía en estas especies, es el tamaño de anopside, siendo de mayor tamaño en O. sativa var CR-5272, O. rufipogon, O. sepatula y O. grandiglumis, mientras que en O. latifolia son pequeñas (7 mm), ados que concuendan con los Vaughan (1994).

De acuerdo a las características descritas en este estudio, las especies cadas se han colocado en dos grupos: uno formado por las especies O. var CR-5272, O. rufipogon y O. glumaepatula y el otro grupo formado por especies O. latifolia y O. grandiglumis. Según Kihara (1963) (citado por 1994), el primer grupo es diploide y de genoma AA, el segundo es

por semejanza en sus características morfológicas.

Los resultados presentados en este estudio, concuerdan con la clasificación izada por Tateoka (1962, 1965) quien clasifica a estas especies por su origen y características morfológicas que presentan. En el Complejo O. sativa se al primer grupo (especies diploides y de genoma AA) y al segundo grupo decies tetraploides y de genoma CCDD) en el Complejo O. latifolia.

Estudios taxonómicos y evolutivos sobre el origen de O. sativa (Oka 1988), stran suficiente evidencia para creer que el arroz cultivado asiático (O. puede haberse originado de O. rufipogon y en el análisis realizado a estas se puede afirmar que O. sativa y O. rufipogon tienen varias derísticas en común (cuadros 2, 3 y 4).

Durante algún tiempo, O. glumaepatula fue confundida en América con O. 1000, por la similitud de características y según Vaughan (1988) se le conoció la forma americana de O. rufipogon. Pero Morishima (1993), mediante moleculares esclareció la identidad de la especie O. glumaepatula, mando su presencia para América. De acuerdo al estudio realizado O. 1000 presentan características ultraestructurales comunes de la lígula y aurículas, tricomas hirsutos, forma de las lemas estériles), no puede decirse que sea la misma especie ya que también a este nivel sentan características que las distinguen (cuadros dos, tres y cuatro).

Dentro de las especies analizadas aquella que presentó mayor variabilidad específica fue O. latifolia. Se analizaron tres ecotipos, provenientes de tres geográficas distintas y según Samuel (1988), en un proceso evolutivo y de ecación puede ocurrir una divergencia gradual en un sistema poblacional o homogénea primaria en dos o más sistemas poblacionales distintos. Su especia está generalmente relacionada con la adaptación a distintas áreas

difereciación genética reflejada tanto en la morfología como en la fisiología.

consecuencia, pueden encontrarse variaciones poblacionales divergentes, pendiendo del gradiente ambiental y podría ser posible que lo expuesto periormente sea lo que ocurre en O. latifolia.

O. grandiglumis mostró diferencia en la estructura de las lemas estériles al comparada con la estructura respectiva de la especie proveniente de Brasil; en costarricense las lemas estériles son coriáceas, lanceoladas, de bordes nados y con algunas espinas en la superficie, pueden abarcar el 70% del naño de las lemas fértiles, mientras que en la de Brasil, también son ceoladas, pero de mayor tamaño (aproximadamente el 90% del tamaño de las fértiles) y presentan el mismo patrón epidérmico de las lemas fértiles, rece que esta especie presenta cuatro lemas fértiles. Para aclarar la confusión sentada con la especie brasileña y la costarricense, se compararon nuevas estras y creyendo que podría ser la especie Oryza alta, se analizaron también las de ésta. Se determinó que no era la especie antes citada, debido a que probó que la morfología ultraestructural de las lemas estériles de la especie sarricense es muy similar a la de la especie brasileña. (ver anexo 5)

El microscopio electrónico de barrido ha sido utilizado para realizar estudios superficie de las hojas, flores, semillas, tallos, frutos y raíces (Echlin 1968, mood 1969, Clark & Gould 1975, Hoagland & Paul 1978, Montiel & Kozuka Moreira & Arnáez 1994, Moreira 1998). Proporciona gran profundidad de y una alta resolución, además permite la observación de las muestras a mentes ángulos y a altas magnificaciones. Determina la forma correcta de las muestras y el detalle de la muestra observada, lo que permite observar detalles mestructurales que ayudan en el reconocimiento de especies estrechamente mestructuralmente a las especies estudiadas, caracterizando individualmente a

es especies por medio de la morfología de estructuras como tricomas, papilas, patrón epidérmico, patrón cuticular, lígula, aurículas, espiguilla y cariópside, detallando la forma y estructuras presentes en cada una de las muestras analizadas.

# CONCLUSIONES Y RECOMENDACIONES

Todas las especies presentan en la lámina foliar papilas cerosas, tricomas espinosos abultados, estomas rodeados de papilas y células de sílice crenadas.

La única especie que presenta tricomas atenuados largos en la lámina foliar es O. sativa var. CR-5272.

La única especie que presenta gran cantidad de tricomas hirsutos en la lámina foliar es O. rufipogon.

La característica morfológica ultraestructural de mayor valor taxonómico fueron los ricomas, por su gran variablilidad en forma, tamaño y distribución en todas las estructuras analizadas.

Las especies diploides de genoma AA, O. sativa var. CR-5272, O. rufipogon y O. gumaepatula tienen aurículas rizoides y la lígula es bífida.

Las especies tetraploides de genoma CCDD, O. latifolia y O. grandiglumis presentan lígula truncada y en el extremo distal de la lígula hay tricomas alenuados. Las aurículas son envolventes.

Solo el ecotipo Carara de O. latifolia presenta la lígula en forma cónica.

nufipogon y O. glumaepatula comparten mayor semejanza en las estructuras malizadas.

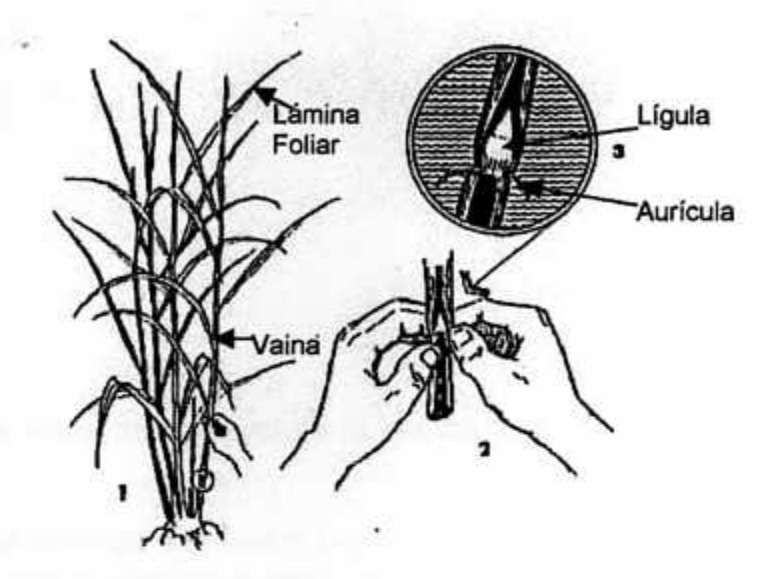
sión el ecotipo Cañas de O. latifolia tiene las aurículas de forma rectangular

Se podría decir que en Costa Rica están presentes las especies silvestres: O. gumaepatula, O. rufipogon, O. latifolia y O. grandiglumis.

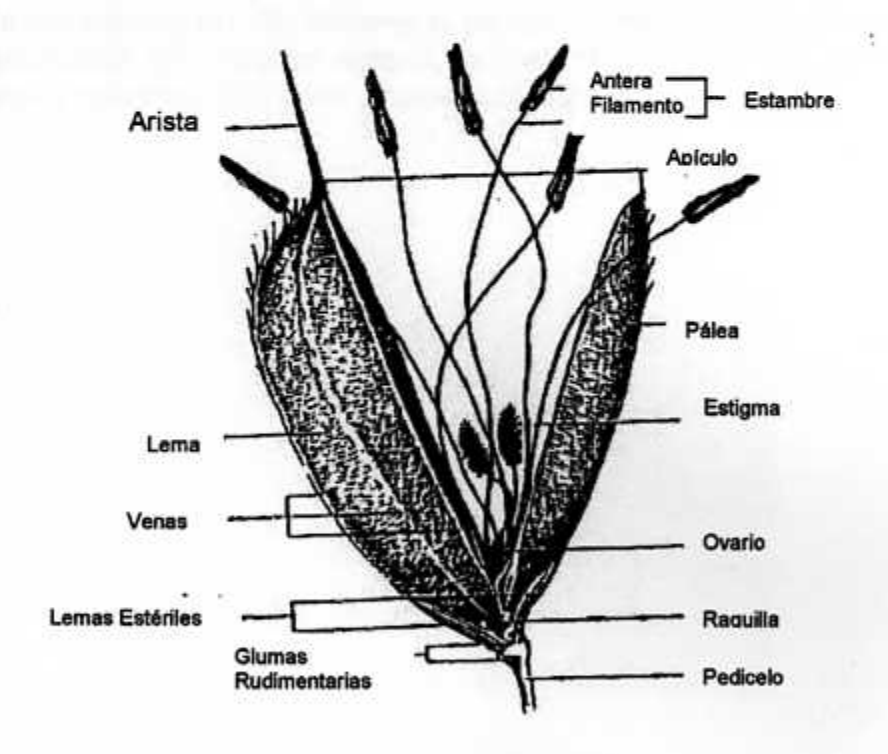
O. latifolia presentó mayor variabilidad intraespecífica.

Se recomienda realizar estudios moleculares a estas especies, tomando como base este estudio morfológico ultraestructural para corroborar la identificación axonómica. Además, se debe analizar las restantes poblaciones de O. latifolia presentes en el país, para determinar la variabilidad presente.

**FIGURAS** 



Planta de Arroz

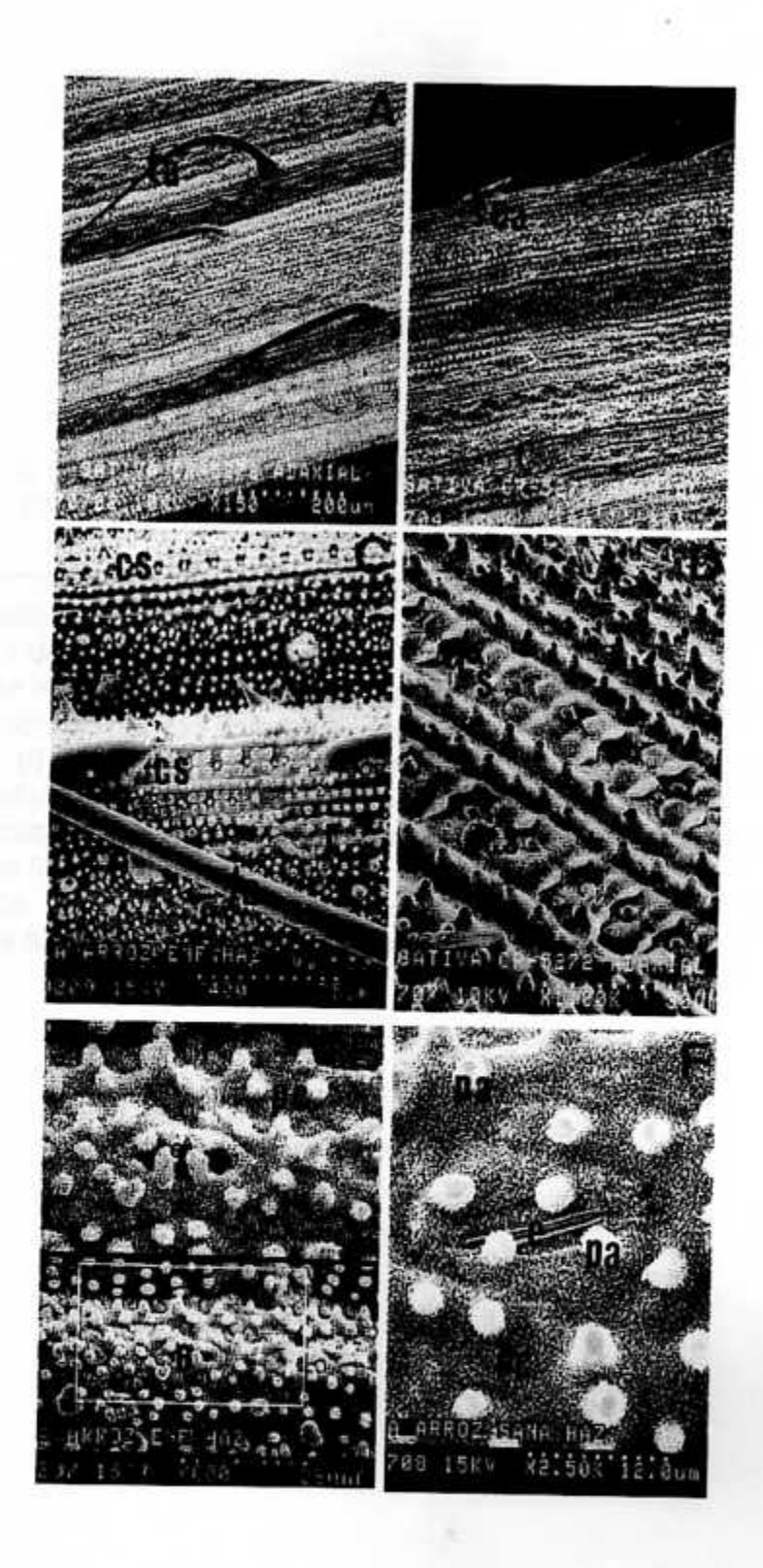


Espiguilla de Arroz

# Figura 1

Micrografías de la epidermis adaxial de la lámina foliar de O. sativa Var. CR-5272.

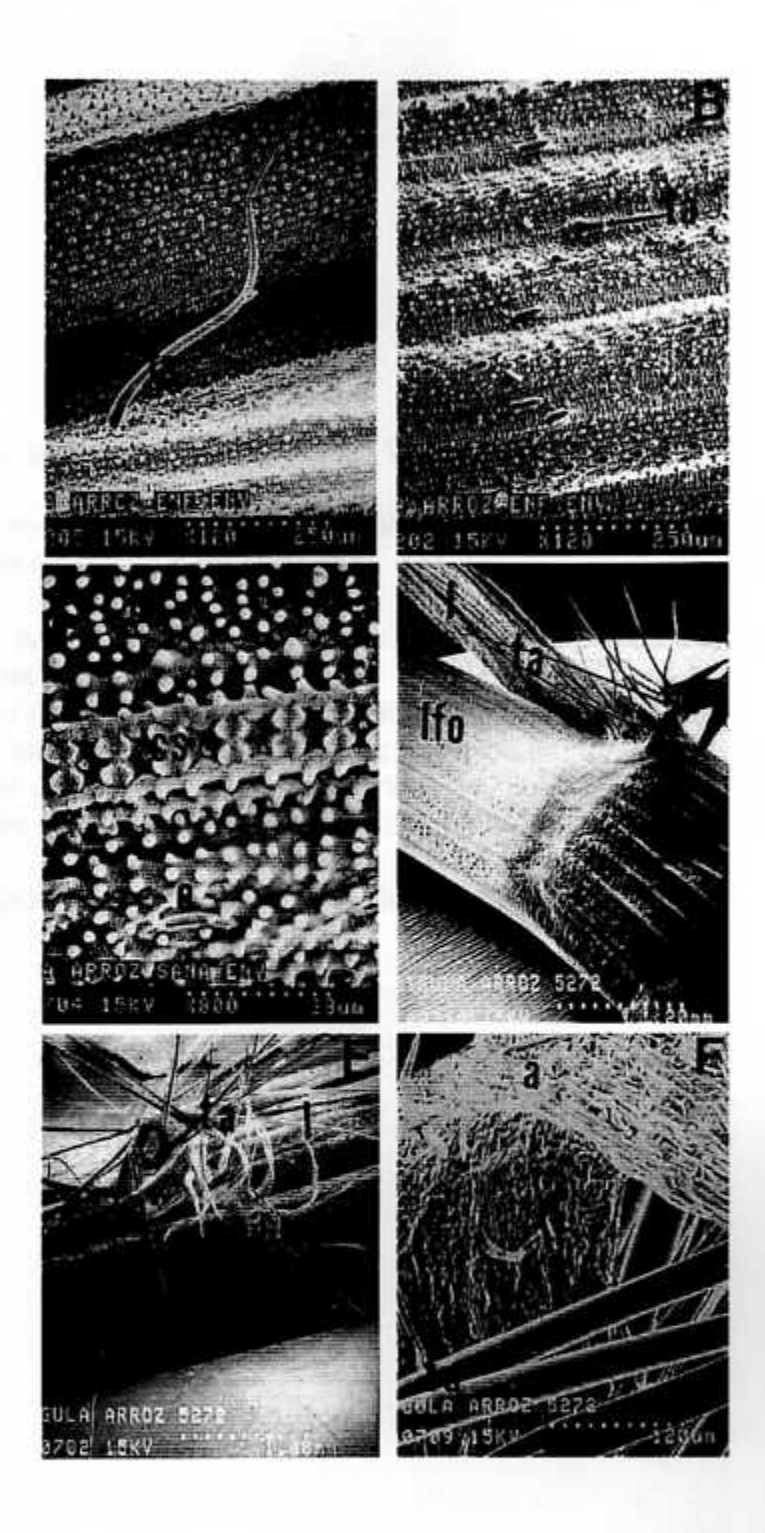
- a. Se observa los tricomas atenuados (ta).
- Tricomas espinosos alargados (tea), en el borde de la lámina, de ca. 100 μm.
- c. Se observan células de sílice, un tricoma atenuado (ta), papilas (pe) y tricomas espinosos abultados (teab).
- d. Detalle de las papilas alargadas (pa), hileras de células de sílice (cs), se nota su aspecto crenado con una papila en el centro.
- e. Estomas (e) rodeados de papilas alargadas (pa).
- Detalle del estoma (e). Se observa el patrón de cera cuticular en forma de bastoncillos (pc), papilas esferoides (pe), el poro estomático (pest) las células oclusivas (co) y las células subsidiarias (csu)



#### Figura 2

Micrografías de la zona abaxial de la lámina foliar, la lígula y la aurícula de O. sativa Var. CR-5272.

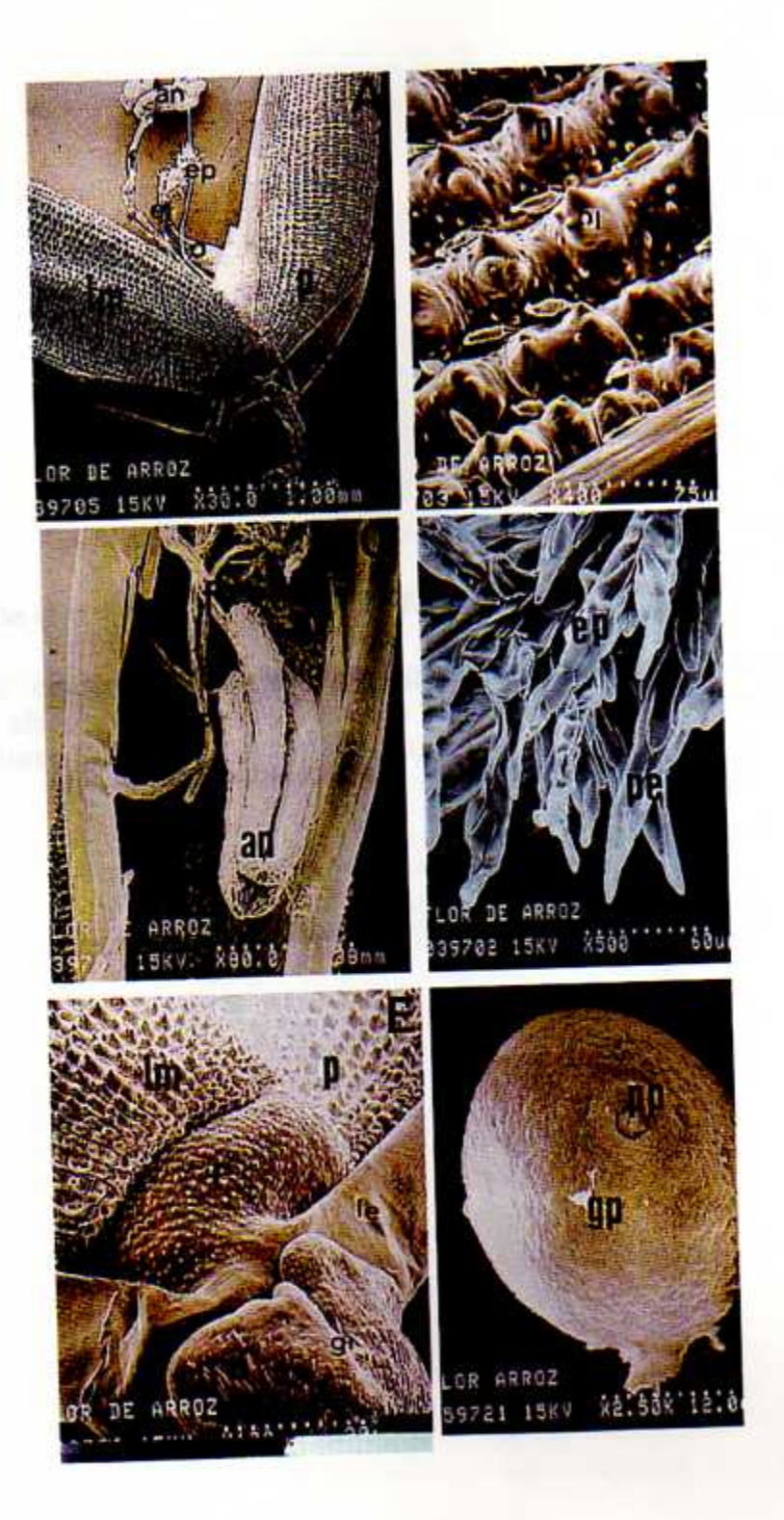
- Zona intercostal de la lámina. Se observa un tricoma atenuado (ta).
- Zona costal, se aprecia tricomas espinosos abultados (teab) e hileras de células de sílice (cs).
- Detalle de las células de sílice (cs), papilas esferoides (pe) y estomas (e) rodeados de papilas esferoides (pe).
- d. La lígula (I) tiene forma aguda y es bífida en su extremo distal. Se observa abundantes tricomas en su superficie.
- Las aurículas (a) son en forma de rizo, con gran cantididad de tricomas atenuados largos (ta) en sus bordes.
- Detalle de la epidermis de una aurícula. Se evidencian tricomas espinosos alargados (tea) y largos atenuados (ta).



## Figura 3

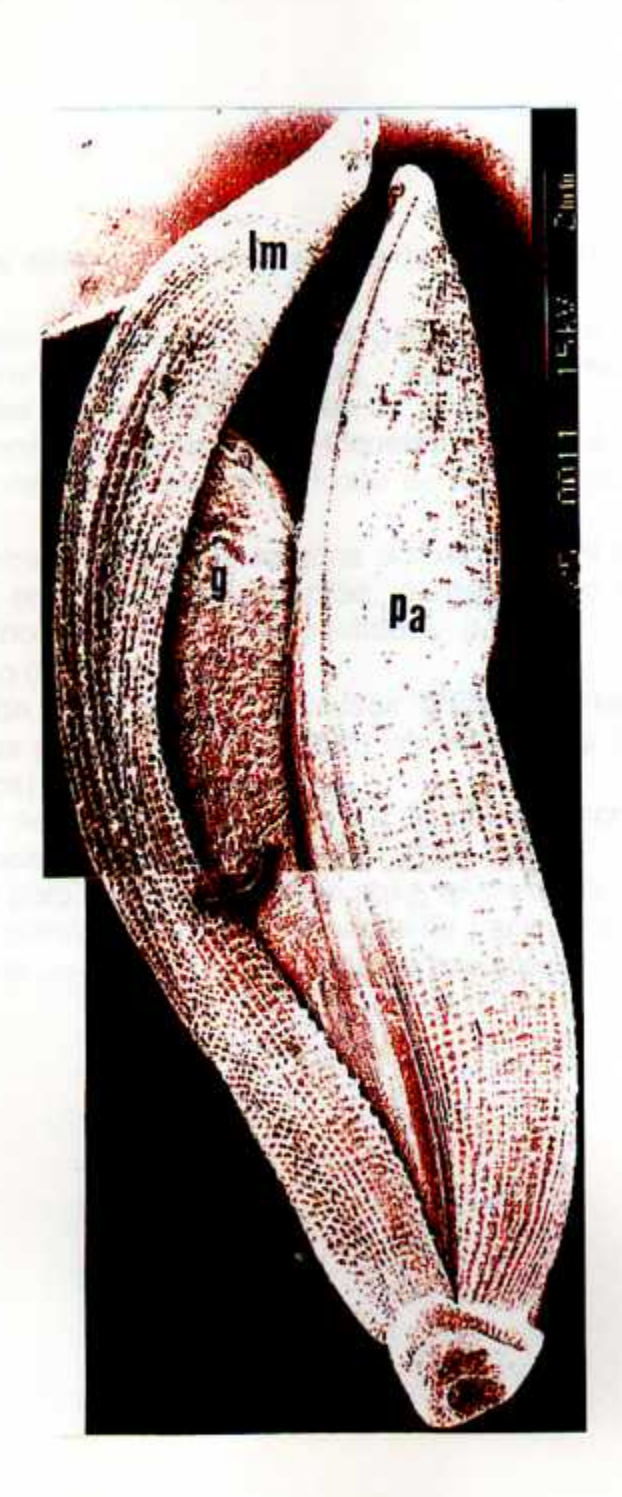
Micrografías de la espiguilla de O. sativa Var. CR-5272.

- Espiguilla mostrando las lemas estériles (le), lemas fértiles (lf), ovario (o), los dos estigmas plumosos (ep), dos anteras (an) y sus filamentos (f).
- Detalle de las lemas fértiles (If), se observa los tricomas espinosos (te) y las papilas lignificadas (pl).
- Antera (an) mostrando sus cuatros lóbulos (lb).
- d. Detalle de las papilas (pap) que componen los estigmas plumosos (ep).
- Zona basal de la espiguilla, mostrando las glumas rudimentarias (gr), parte de las lemas estériles (le), raquilla (r) y una sección de las lemas fértiles (lf).
- f. Grano de polen (gp) monoporado y de ornamentación sencilla.



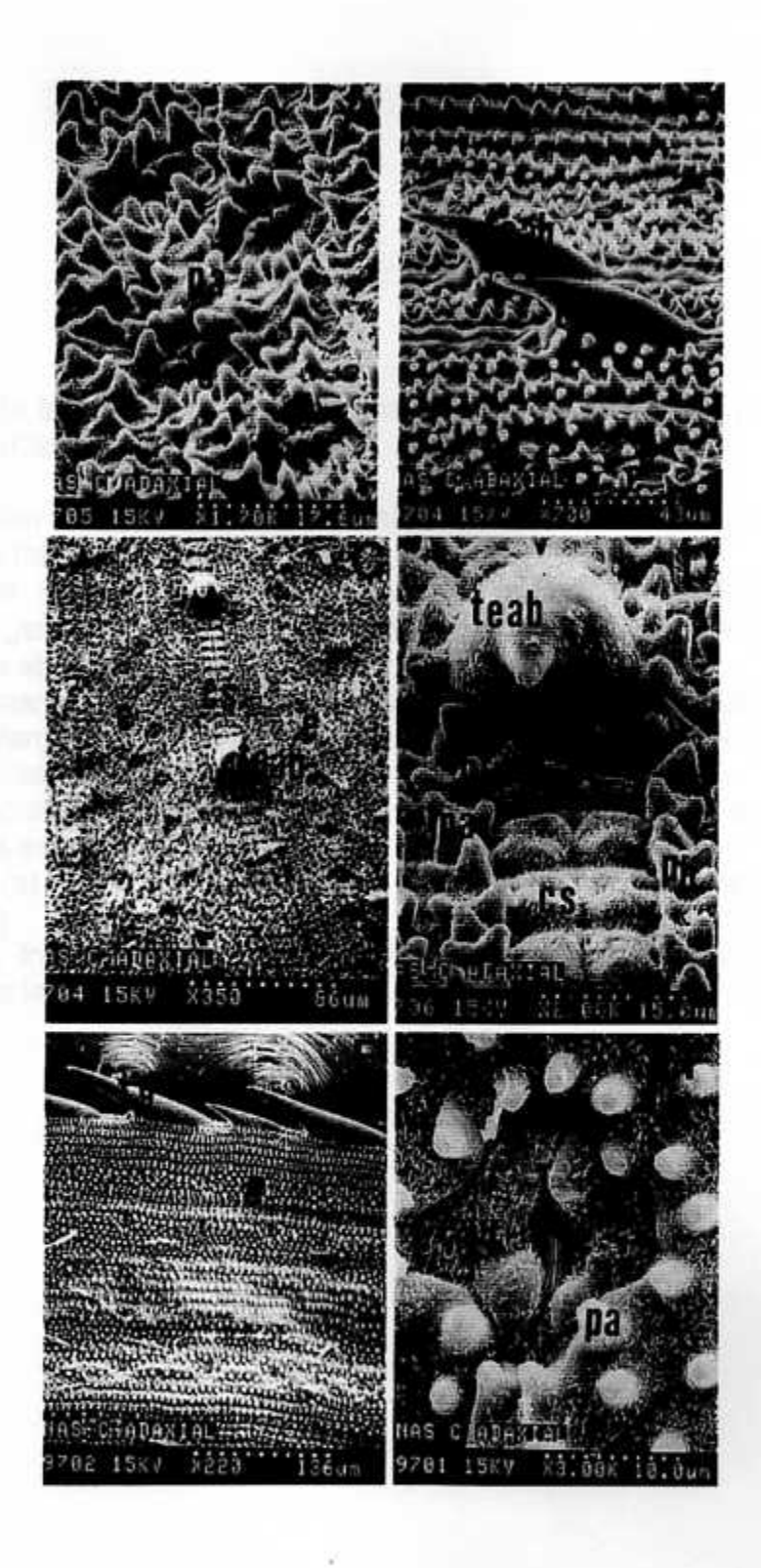
Micrografías de la cariópside de O. sativa Var. CR-5272.

Detalle de la epidermis formada por un tejido endurecido, debido al contenido de sílice y lignina. Entre ambas lemas se observa el grano de arroz (ga). Nótese la lema (lm) y la pálea (p)



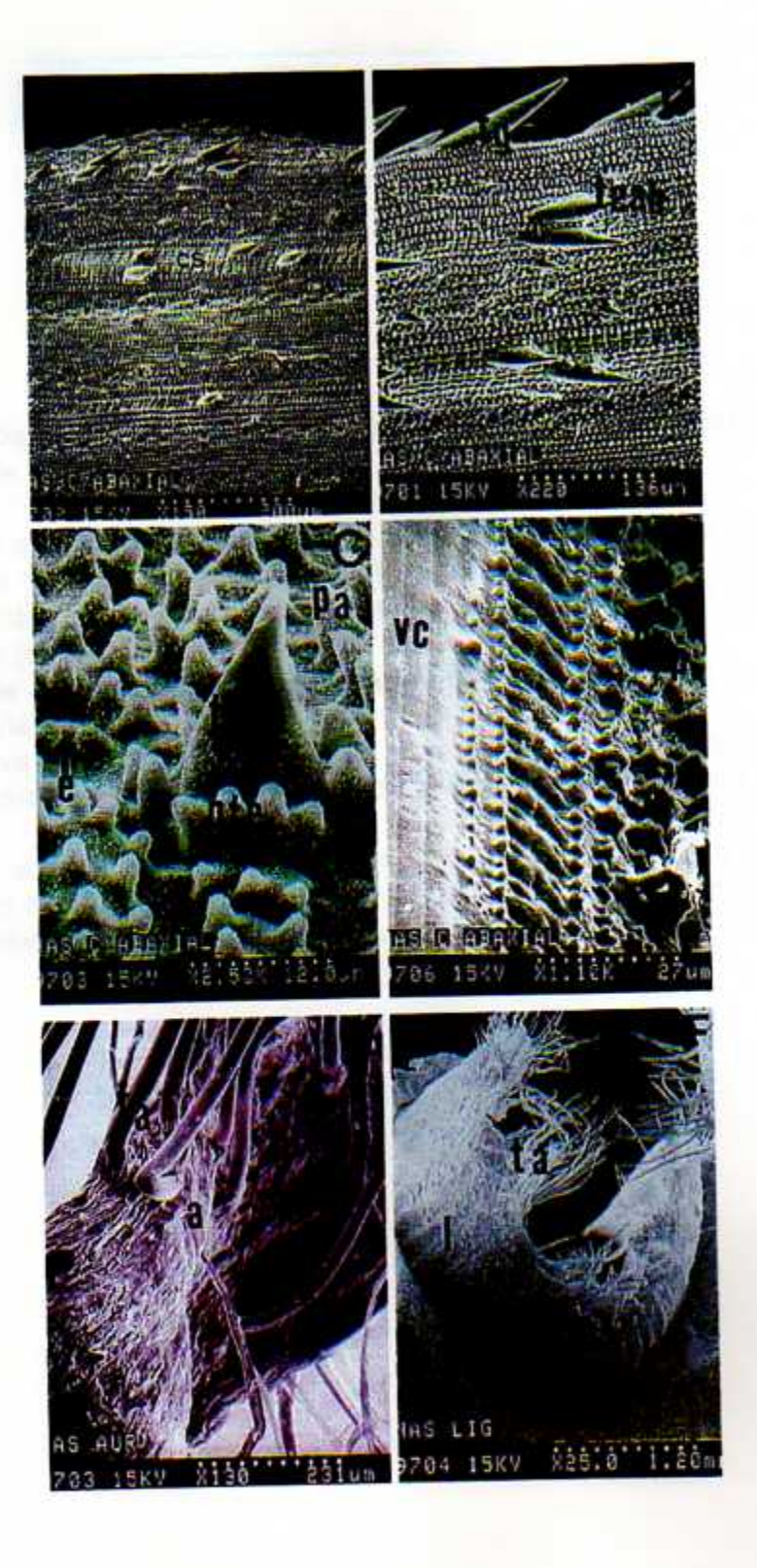
Micrografías de la zona adaxial de la lámina foliar de O. latifolia (Cañas).

- a. Detalle de las papilas de cera alargadas (pa). La lámina foliar está constituida por gran cantidad de papilas. Nótese los estomas (e) rodeados de papilas (pa) (forma de roseta),
- Se observa la venación paralela, los tricomas espinosos abultados (teab). Estos tricomas se observan en forma de aleta de tiburón (Vista lateral)
- c. Detalle que muestra el patrón de la zona adaxial: hileras de papilas (pa), de estomas (e) rodeados de papilas, de células de sílice (cs), alternando con tricomas espinosos abultados (teab) y un tricoma espinoso pequeño (tp) de 16 μm.
- d. Detalle de uno de los tricomas espinosos abultados (teab) (Vista frontal). Nótese las papilas alargadas (pa), las bilobuladas (pab) y las células de sílice (cs).
- Detalle del borde de la lámina, formado por tricomas ganchudos (tg), alternan uno pequeño y otro mayor.
- f. Estoma (e) con el poro cerrado, donde se observa las células oclusivas (co) y las células subsidiarias (csu), rodeadas de papilas de cera (pa). Nótese el patrón de cera cuticular, en forma de bastoncillos.



Micrografías de la zona abaxial de la lámina foliar, las aurículas y la lígula de O. latifolia (Cañas).

- Se aprecian hileras de células de sílice (cs) con tricomas espinosos abultados (teab).
- b. Detalle de la Fig. 6a, el borde abaxial de la lámina formado por tricomas ganchudos (tg) de ca. 136 μm y dos hileras de tricomas espinosos abultados (teab).
- c. Vista posterior del tricoma espinoso abultado (teab). Nótese: las papilas alargadas (pa), papilas bilobuladas (pb), papilas trilobuladas (pt) y papilas tetralobuladas (pte). Se nota un estoma (e).
- d. Vena central (vc) libre de papilas. En los bordes se nota la presencia de papilas esferoides (pe) y en forma de lápida (plap).
- e. Aurícula (a) de forma rectangular, cubierta de tricomas atenuados largos (ta).
- Lígula (I) truncada. En su borde distal hay abundantes tricomas atenuados largos (ta).



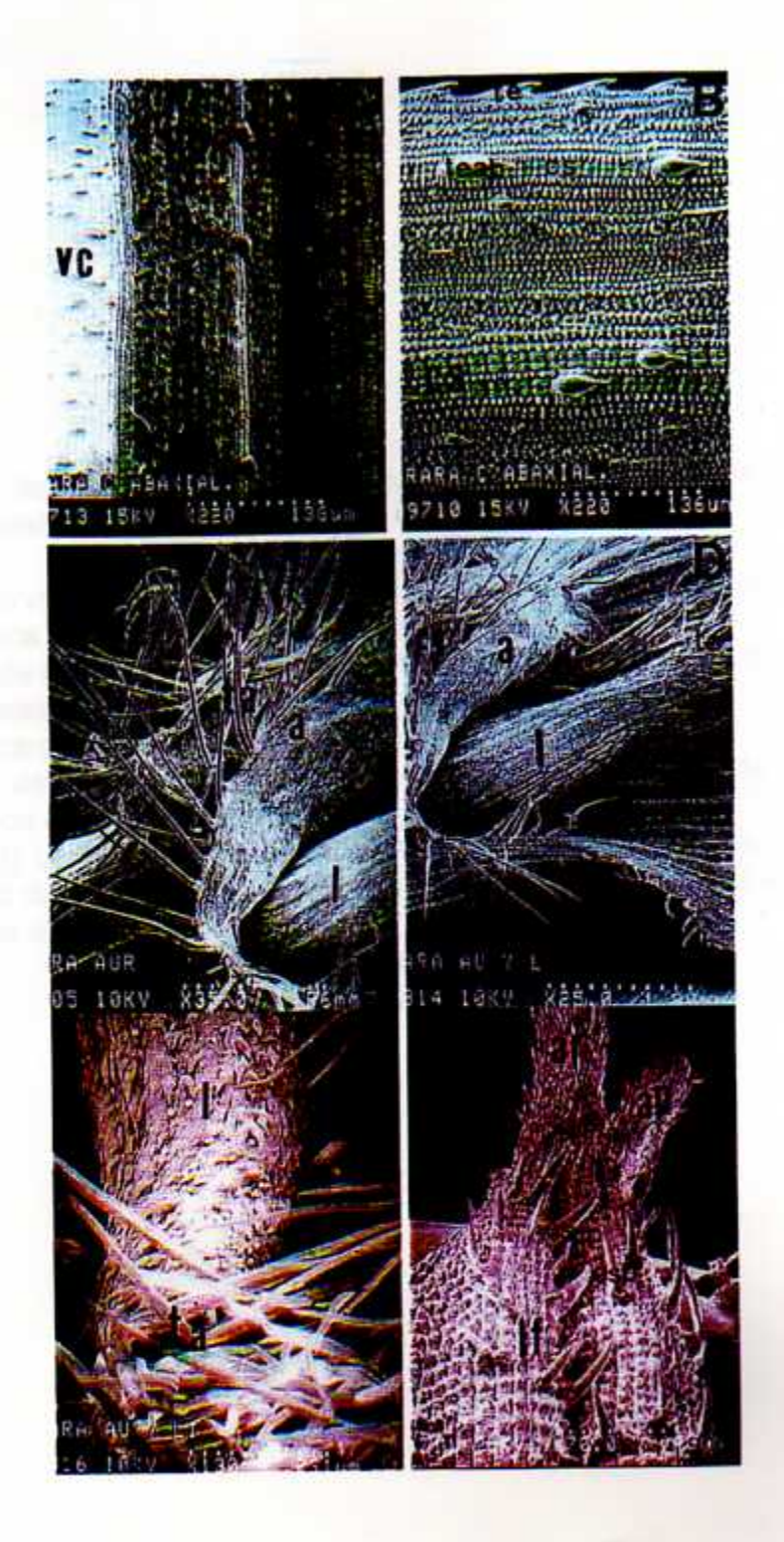
Micrografías de la espiguilla de O. latifolia (Cañas) y zona adaxial de la lámina foliar de O. latifolia (Carara).

- a. Espiguilla de papilas lignificadas (pl) con espinas (esp) en la lema (lm) y la pálea (p). Las lemas estériles (le) son lanceoladas y con espinas en el borde. Entre las lemas fértiles (lf) se visualizan los estigmas plumosos (ep).
- Detalle de los estomas (e) presentes en la zona basal de las lemas estériles (le).
- Se observa las anteras (an) basifijas y los dos estigmas plumosos (ep).
- d. La cariópside es deprimida, con papilas lignificadas (pl) y con espinas (esp).
- La zona adaxial de la lámina foliar con papilas de cera y tricomas espinosos abultados (teab) y un tricoma espinoso pequeño (tp).
- f. Borde adaxial con una hilera de tricomas espinosos (te).



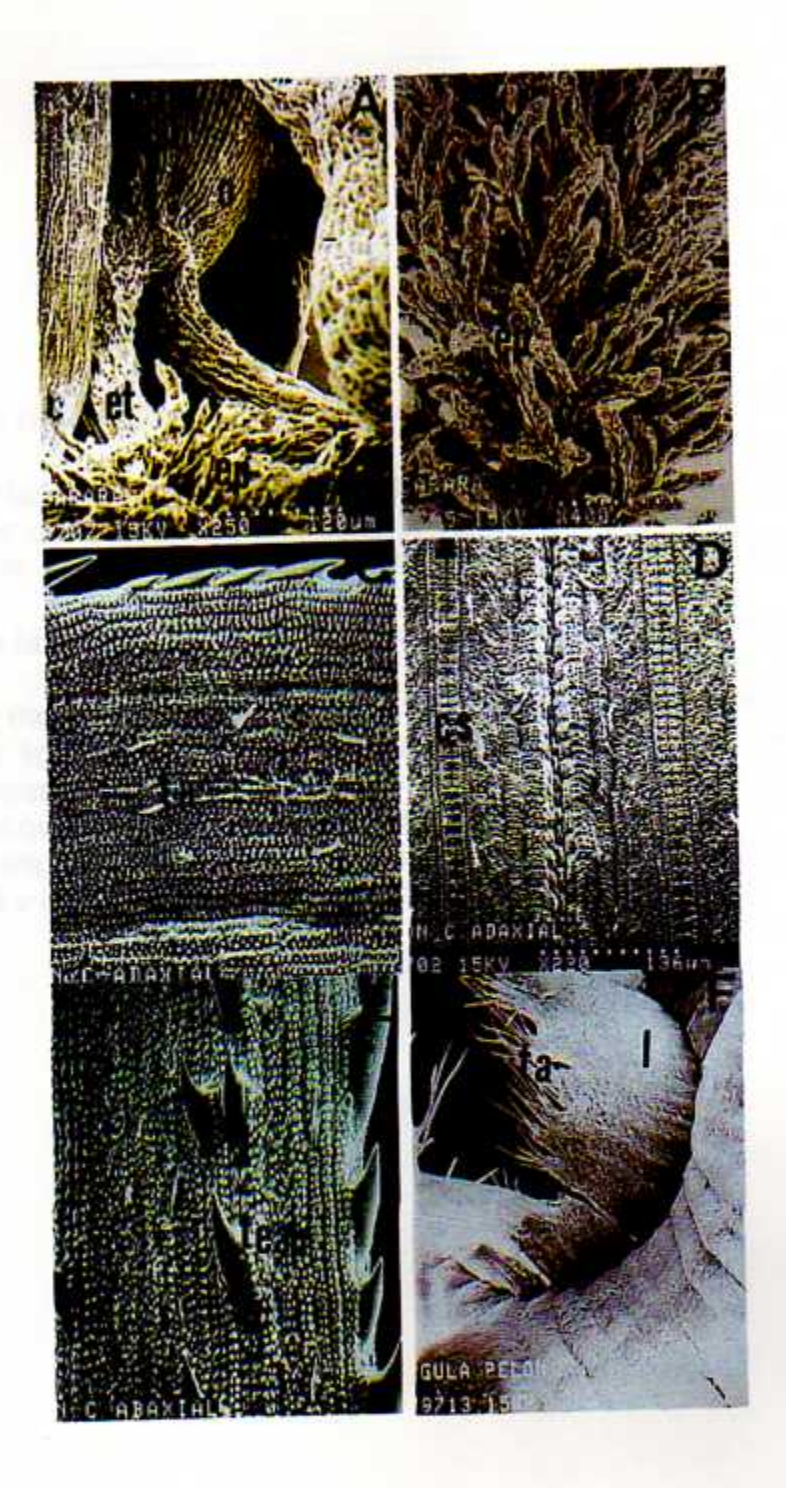
Micrografías de la zona abaxial de la lámina foliar, aurículas, lígula y cariópside de O. latifolia (Carara).

- a. Se observa la vena central (vc) adornada con algunas papilas.
- Detalle del borde de la zona abaxial, donde se observa una hilera periférica de tricomas espinosos (te) y el patrón característico de la epidermis de esta especie.
- Se observa las aurículas (a) curvas y envolventes con gran cantidad de tricomas atenuados (ta) en sus bordes.
- d. Se observa la lígula (I) cónica y cubierta de tricomas espinosos (te) y tricomas atenuados (ta).
- e. Detalle del extremo distal de la lígula (I).
- f. Extremo distal de la cariópside con el apículo (ap), la base de la arista (ar) y gran cantidad de espinas (esp).



Micrografías del ovario y los estigmas de O. latifolia (Carara) y la superficie adaxial, abaxial y la lígula de O. latifolia (Pelón).

- Se observa el detalle de las células que componen el ovario (o), los a. dos estilos (et) y estigmas plumosos (ep).
- Detalle de las papilas (pap) que componen los estigmas plumosos (ep). b.
- Borde adaxial de la lámina foliar de O. latifolia (Pelón). C.
- d. Patrón característico de la epidermis foliar.
- Detalle del borde abaxial, compuesto por tres hileras de tricomas e. espinosos abultados (teab).
- Lígula (I) con el extremo distal truncado de ca. 3 mm. Presenta gran f. cantidad de pequeños tricomas (te) en su superficie y otros atenuados (ta) en el extremo distal.



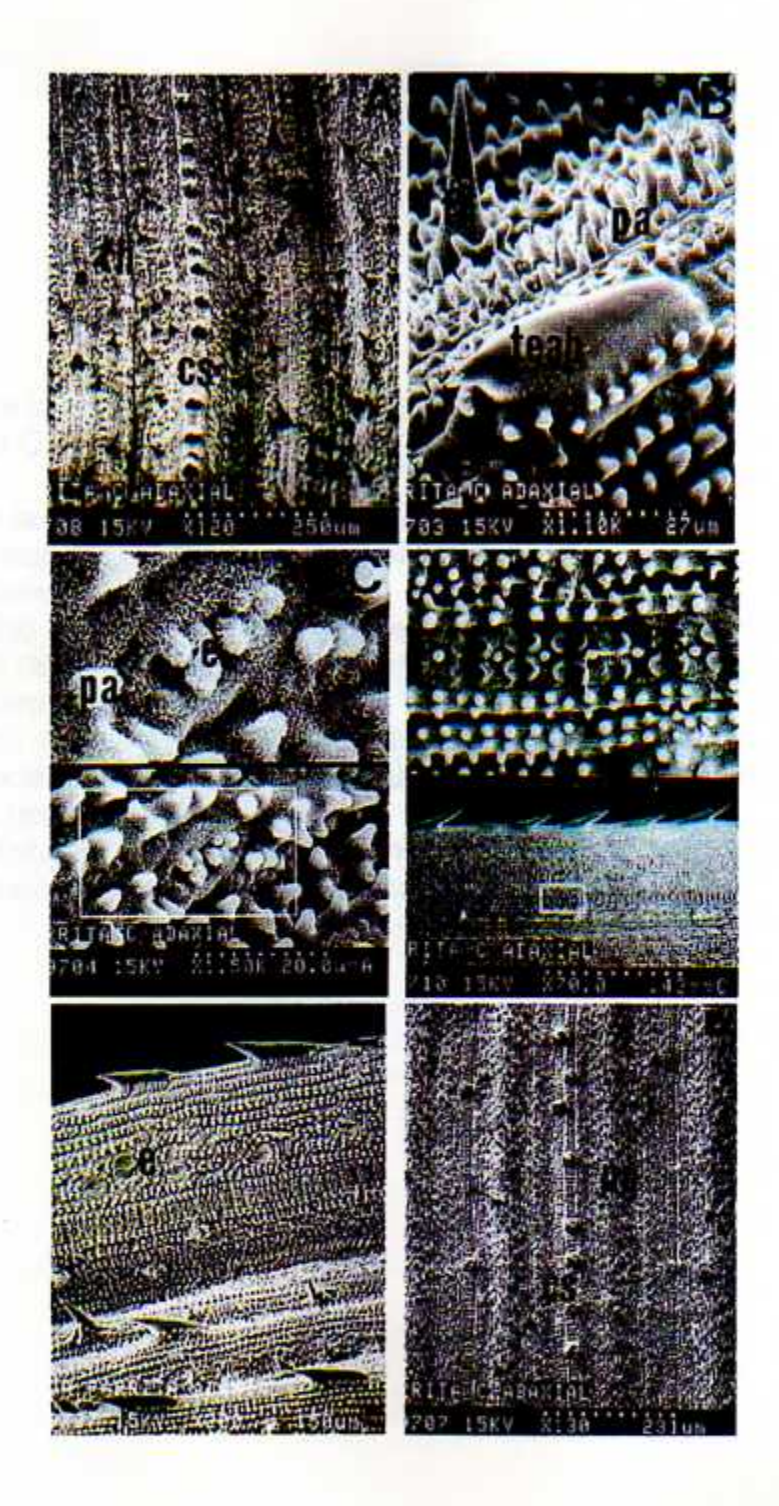
Micrografías de la lígula, las aurículas y la espiguilla de O. latifolia (Pelón).

- Detalle de los tricomas espinosos (te) de la superficie de la lígula (l) y del extremo distal truncado con tricomas atenuados cortos (ta).
- Se observa las aurículas (a) curvas y envolventes y la lígula (l) truncada.
- Detalle de las aurículas (a). Presenta tricomas atenuados (ta) en sus bordes.
- d. Espiguilla mostrando las lemas estériles (le) lanceoladas, las lemas fértiles (lf) lignificadas, mostrando espinas (esp) evidentes. También aparecen tres anteras (an) y los estigmas de aspecto plumoso (ep).
- e. Detalle del ovario (o) y los estigmas (ep).
- f. La espiguilla, se observa las lemas fértiles (If), los filamentos de las anteras (f) y los estilos (et) que unen los estigmas con el ovario.



Micrografías que muestran el detalle de las zonas adaxial y abaxial de la lámina foliar de O. rufipogon.

- Se aprecian los tricomas hirsutos (th), característica distintiva de esta especie.
- Detalle de las papilas alargadas (pa), con un tricoma hirsuto (th) y un tricoma espino abultado (teab).
- Detalle del patrón de cera en forma de bastoncillos y un estoma (e) rodeado de papilas cerosas alargadas (pa).
- d. Observamos un detalle de las células de sílice (cs) en forma de cremayera y el borde adaxial formado por tricomas espinosos (te) de varios tamaños.
- e. Nótese los estomas (e) carentes de papilas en sus células guarda.
- f. Patrón característico de la zona abaxial. Con poca cantidad de tricomas hirsutos (th). Se nota la venación paralela (v). Las venas están cubiertas con papilas globulares.



Micrografías de la zonas abaxial de la lámina foliar, las aurículas, la lígula y la espiguilla de O. rufipogon.

- a. Detalle de la cera de las papilas globulares grandes (pgg).
- Vena central (vc) cubierta por papilas globulares grandes (pgg) y papilas bilobuladas pequeñas (pb).
- Auríulas (a) rizoides, en sus bordes se observan tricomas largos atenuados (ta).
- d. Células alargadas (ca) recubriendo la base de los tricomas largos (ta).
- La lígula (I) es aguda, su extremo distal es bífido y mide ca. 45 mm.
   Esta cubierta de hileras de papilas muy pequeñas y tricomas espinosos abultados (teab) pequeños.
- f. Extremo distal de la espiguilla, con una antera (an), la base de la arista (ar) con abundantes tricomas espinosos (esp) y el apículo (ap).

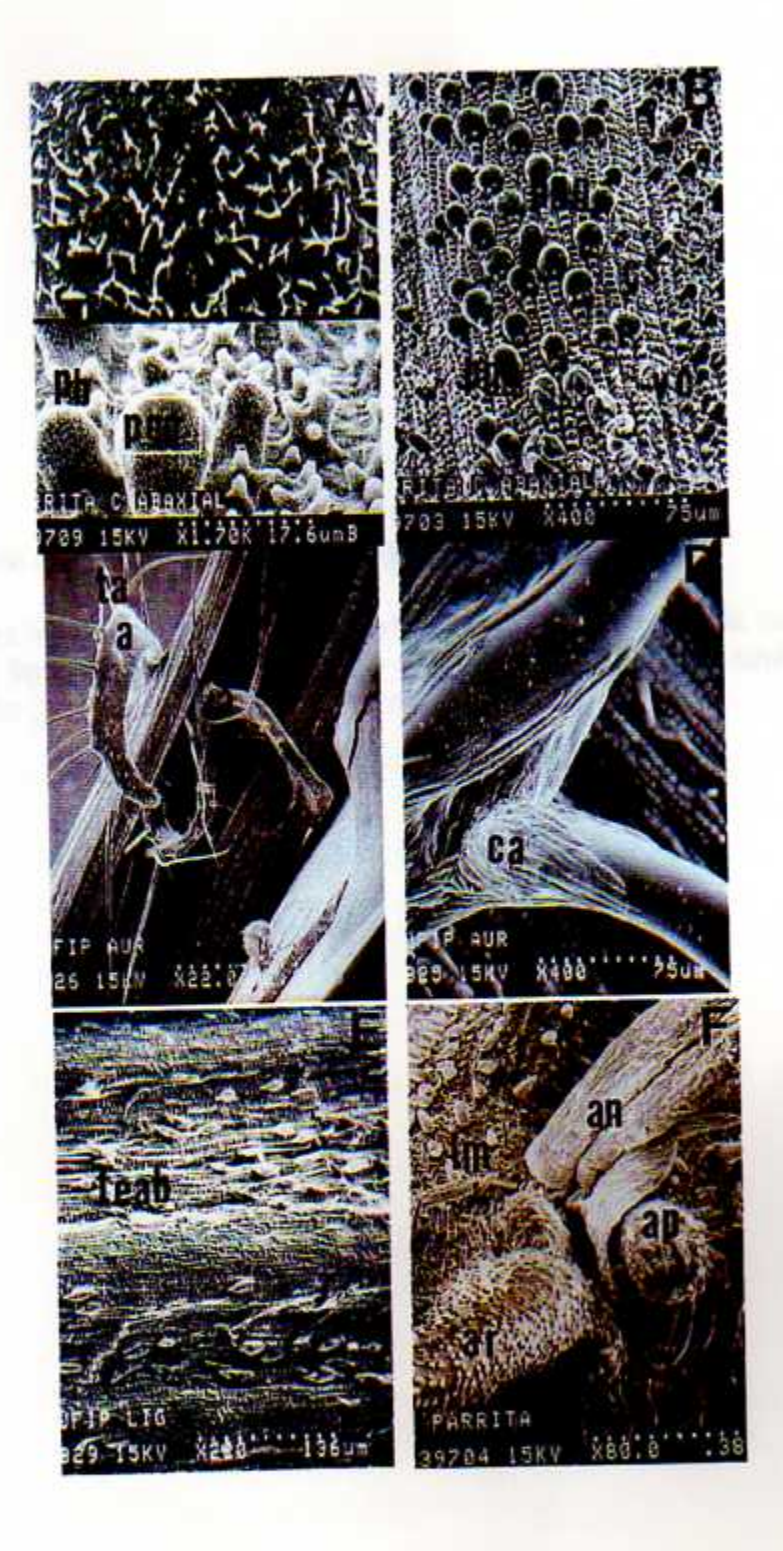
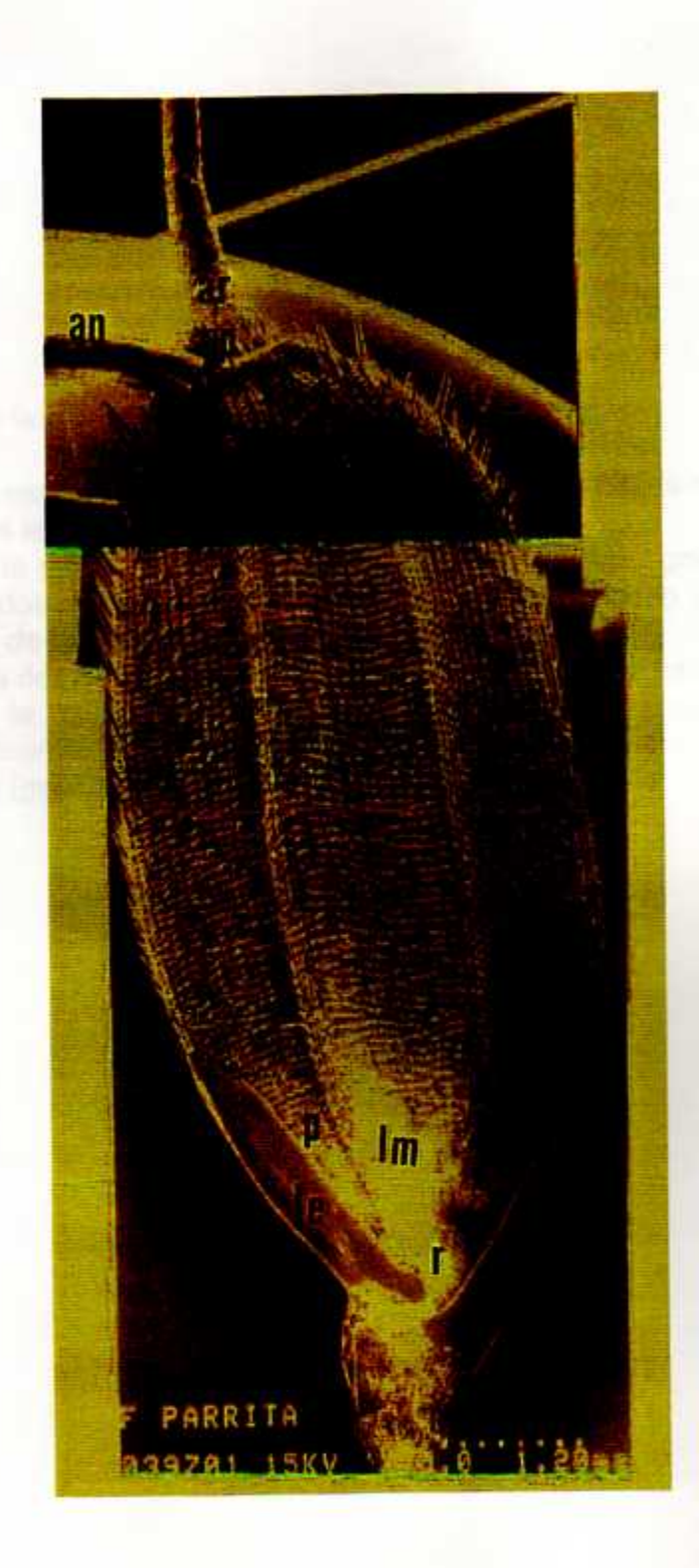


Figura 13

Micrografías de la espiguilla de O. rufipogon.

Se observa las lemas estériles (le) serradas. Las lemas fértiles, la lema (lm) y la pálea (p) lignificadas y cubiertas de espinas (esp). Se nota una antera (an), el apículo (ap), la raquilla (r) y el pedicelo (pd).



Micrografías de las lemas y la cariópside de O. rufipogon.

- Base de la espiguilla: se observa las lemas estériles (le), la raquilla (r) y parte de las lemas fértiles (lf).
- Detalle de la p\u00e1lea (p) con sus espinas (esp) y papilas lignificadas (pl) con una o dos proyeccciones. Se nota el aspecto cor\u00edaceo y los bordes irregulares de las lemas est\u00e9rilea (le).
- c. Se observa dos estigmas plumosos (ep) que salen de la pálea (p).
- d. Detalle de la base de la cariópside donde se visualiza el ojo (oj), el punto de inserción con la pálea. También se observa el embrión (em).
- e. Cariópside (ga).

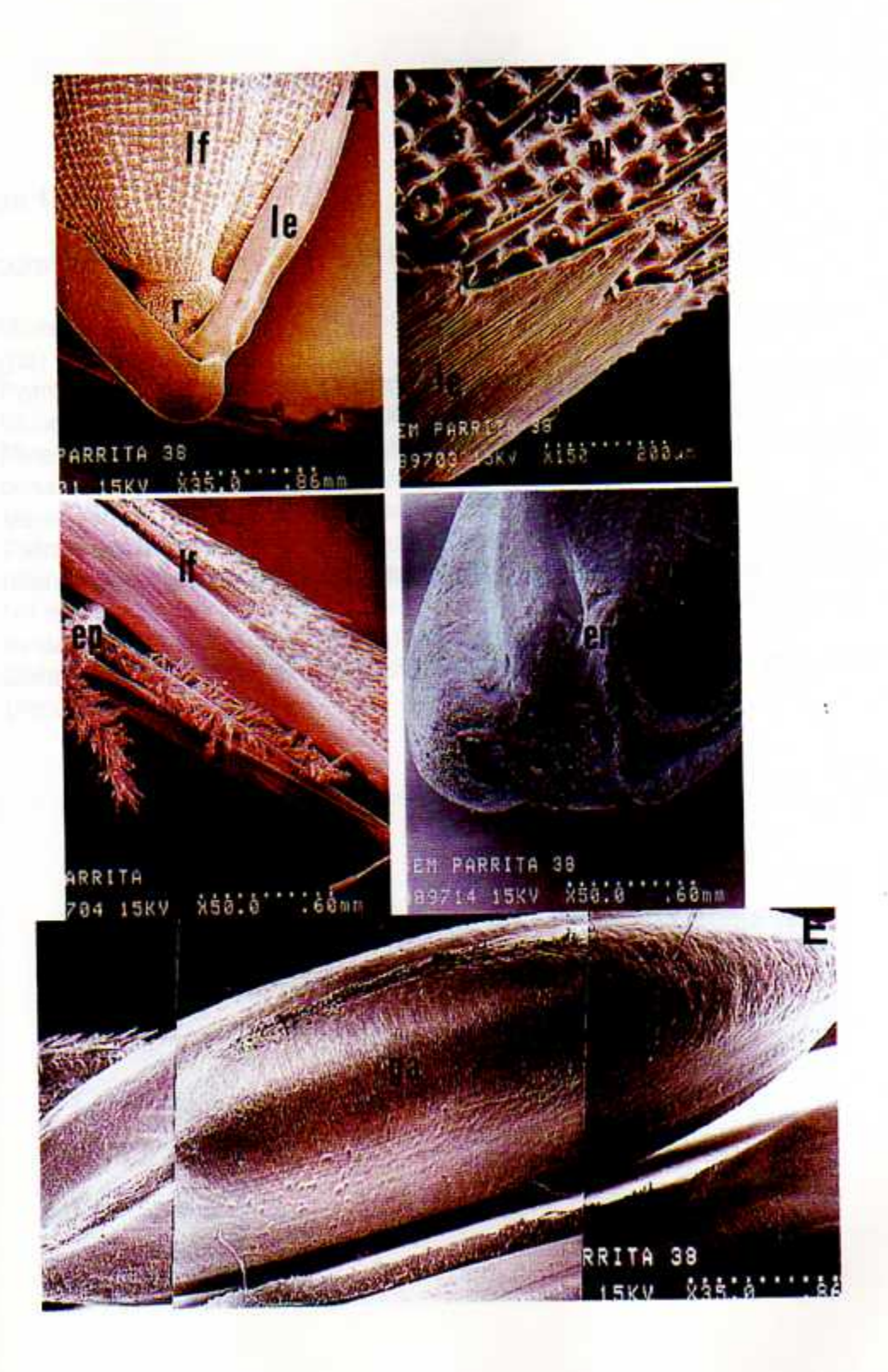
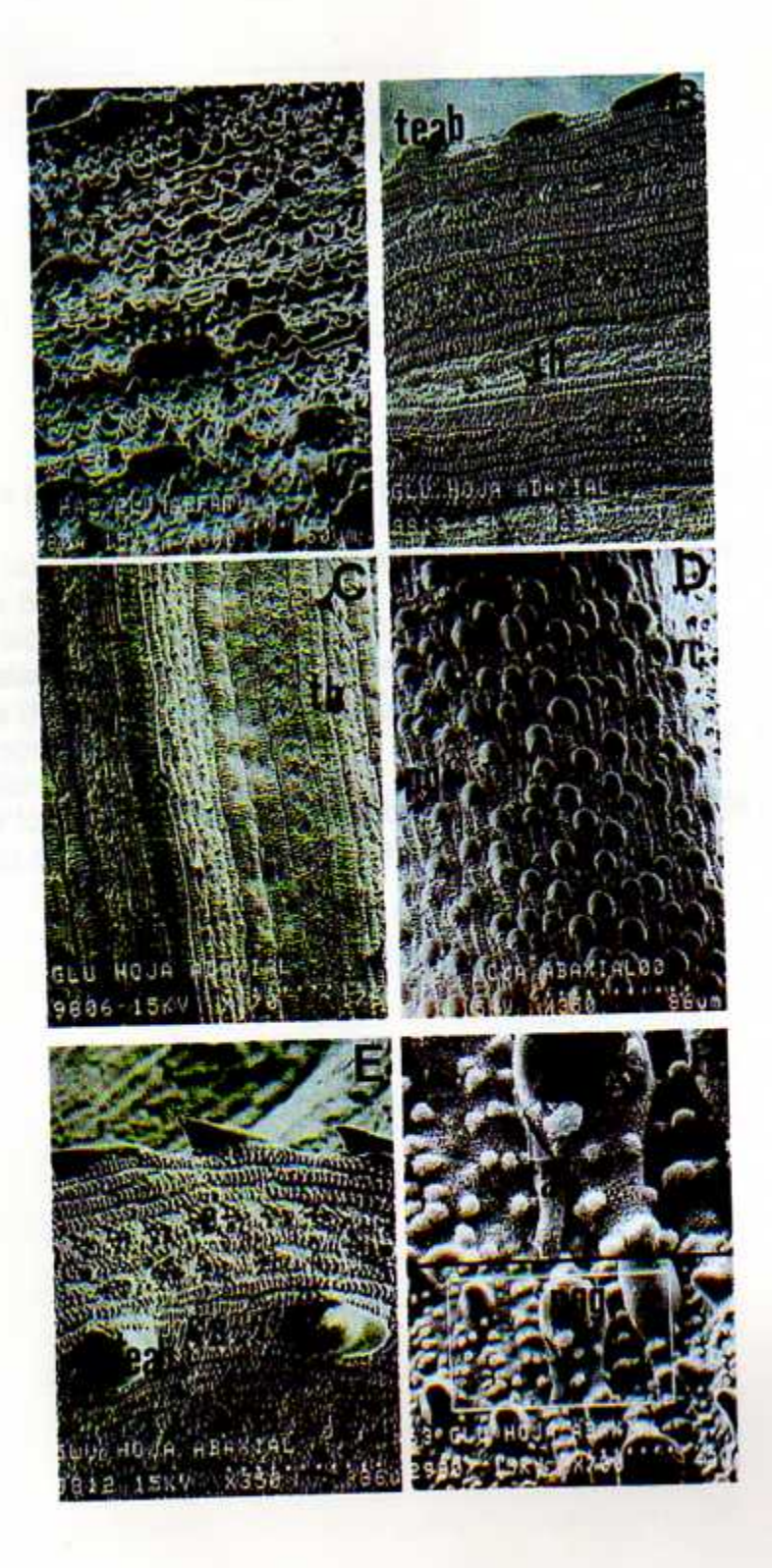


Figura 15

Micrografías de las superficies de la lámina foliar de O. glumaepatula.

- Muestra tres tipos morfológicos de papilas: En lápida (plap), alargadas (pa) y esferoides (pe).
- Patrón celular de la zona adaxial, en su borde se aprecia una hilera de tricomas espinosos de base abultada (teab) y del mismo tamaño.
- Muestra el patrón paralelo de la venación y el patrón epidérmico y se observan pocos tricomas hirsutos pequeños (th).
- d. Vena central (vc) con abundantes papilas globulares grandes (pgg).
- e. Patrón epidérmico de la superficie abaxial, en su borde se aprecia dos hileras de tricomas espinosos abultados (teab), se observa los estomas (e) rodeados de papilas y se aprecian en forma de rosetas, también se evidencia una hilera de células de sílice (cs) y grupos de papilas.
- f. Detalle de un tricoma pequeño unicelular de estructura muy fina (recuadro).



Micrografías de las aurícula, la lígula y la antera de O. glumaepatula.

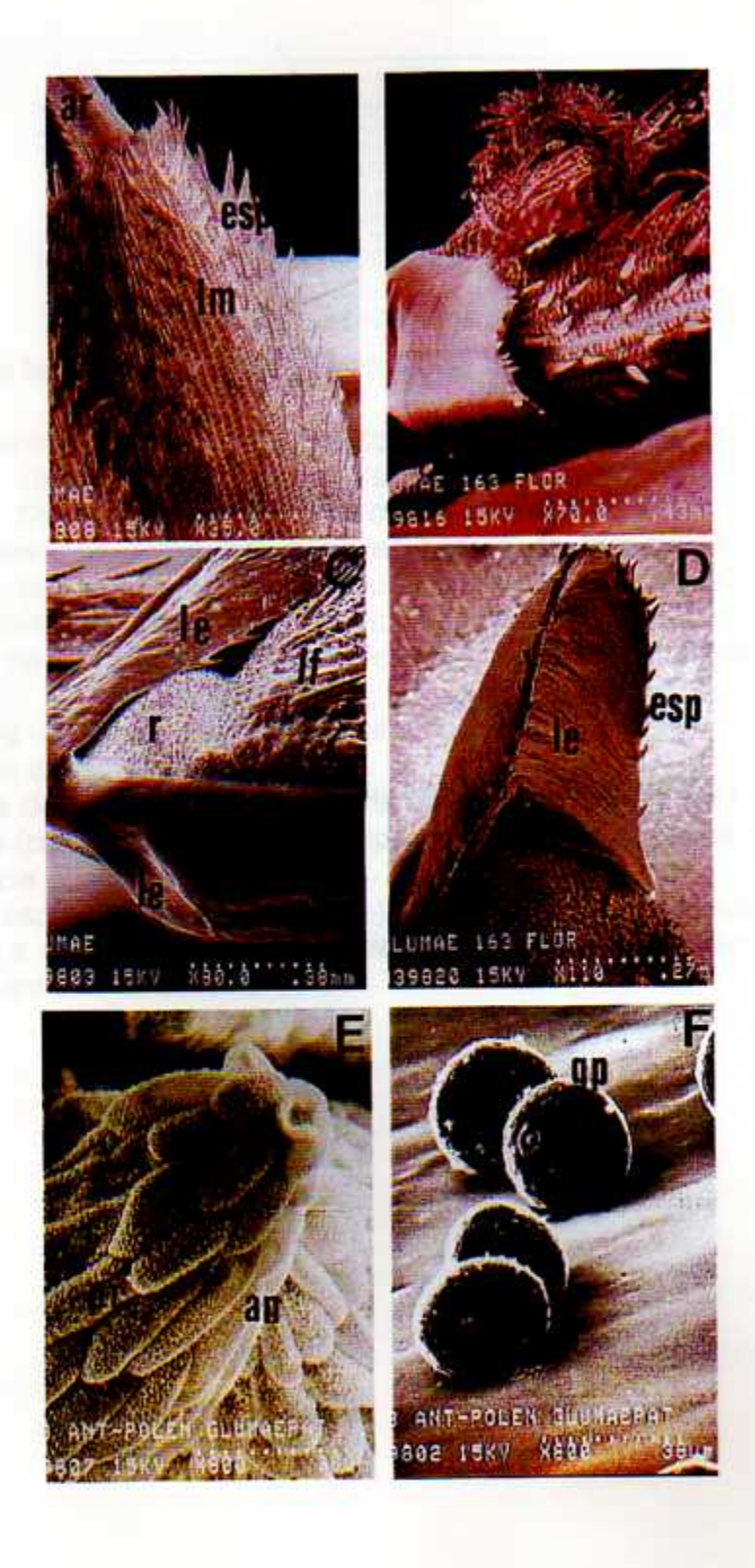
- a. Aurículas (a) angostas en forma de rizo con tricomas largos atenuados (ta) en sus bordes.
- b. Tricomas bicelulares (tb) de la superficie de la aurícula (a).
- Células alargadas (ca) que envuelven la base de los tricomas atenuados (ta) largos de la aurícula (a).
- d. Lígula (I) aguda y bífida, presenta un patrón epidérmico similar al de la lámina foliar.
- e. Detalle de los tricomas tricomas atenuados (ta) pequeños de la lígula.
- f. Zona distal de la antera (an). Se observa sus cuatro lóbulos.



Figura 17

Micrografías de la espiguilla de O. glumaepatula.

- a. Lema (Im) y la pálea (p) lignificadas y la base de la arista (a). Presenta abundantes espinas (esp).
- Observamos el extremo distal de una lema estéril (le), se observa el borde serrado y dentado, se nota un estigma plumoso (ep) y parte de una de las lemas fértiles (lf) con abundantes espinas (esp).
- c. Se observa la raquilla (r), estructura que une las lemas.
- d. Detalle de una lema estéril (le) con el borde dentado.
- e. Detalle de las células del extremo distal de la antera (an), están cubiertas de cera.
- f. Granos de polen (gp) monoporados.



Micrografías de las superficies de la lámina foliar de O. grandiglumis.

- a. Patrón carácterístico de la epidermis, hay tricomas espinosos abultados (teab) y una hilera de tricomas espinosos (te) más pequeños. Se observa un patrón de cera cuticular denso.
- Borde adaxial de la lámina, con tres hileras de tricomas espinosos alargados (tea) y otros espinosos abultados (teab) muy pequeños.
- Borde abaxial con tres hileras de tricomas ganchudos (tg), espinosos abultados (teab) de diferentes tamaños y tricomas espinosos alargados (tea).
- d. Se observa una distribución epidérmica bastante regular, se aprecia la distribución de las papilas en grupos.
- Nótese los diferentes tipos de papilas (papilas esferoides (pe), papilas globulares (pg) y papilas alargadas (pa)) que cubren la lámina foliar de esta especie
- f. Tricoma espinoso abultado (teab), con papilas esferoides (pe) pequeñas a ambos lados. Las células de sílice (cs) están recubiertas por gran cantidad de cera cuticular.

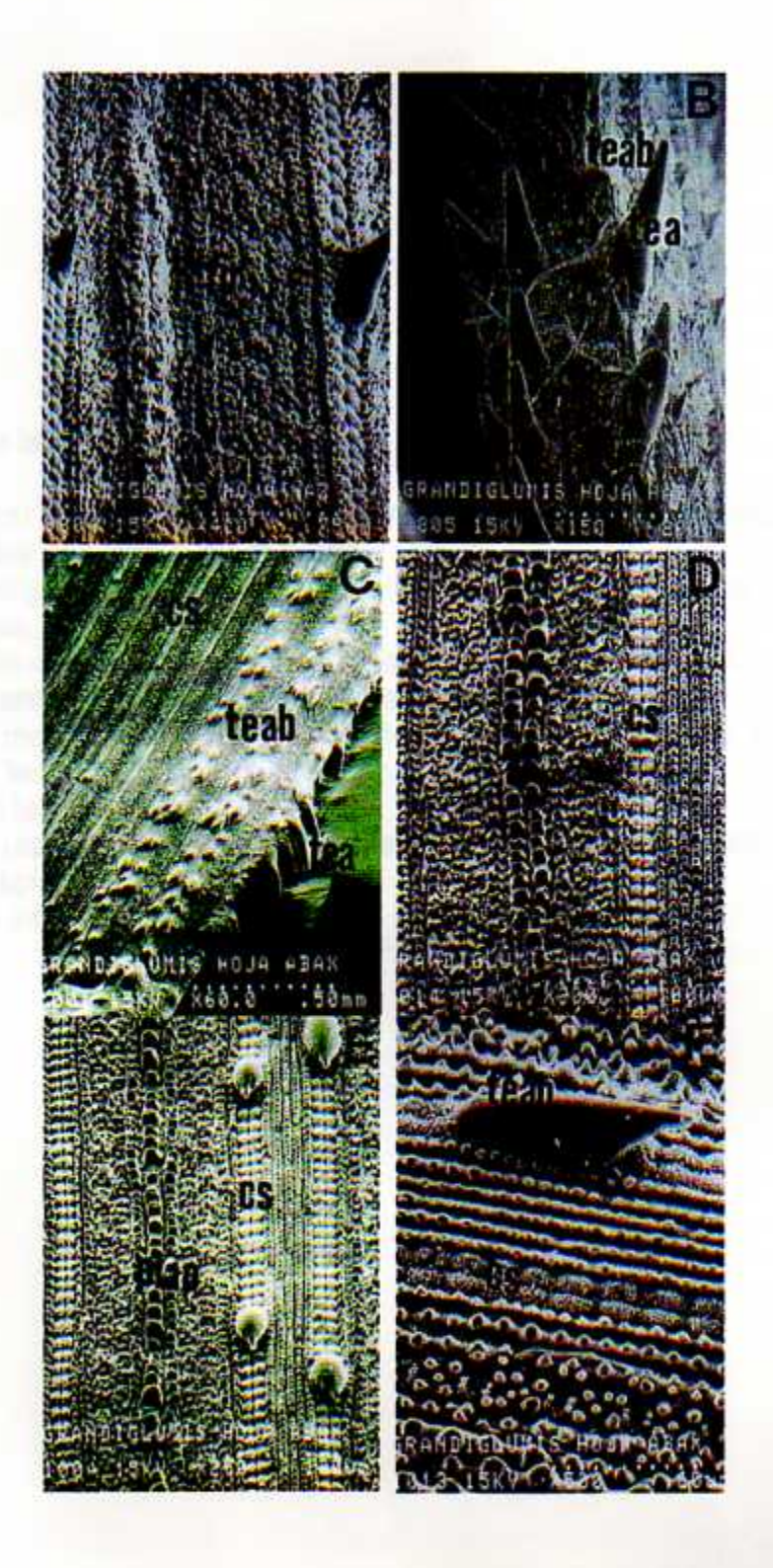
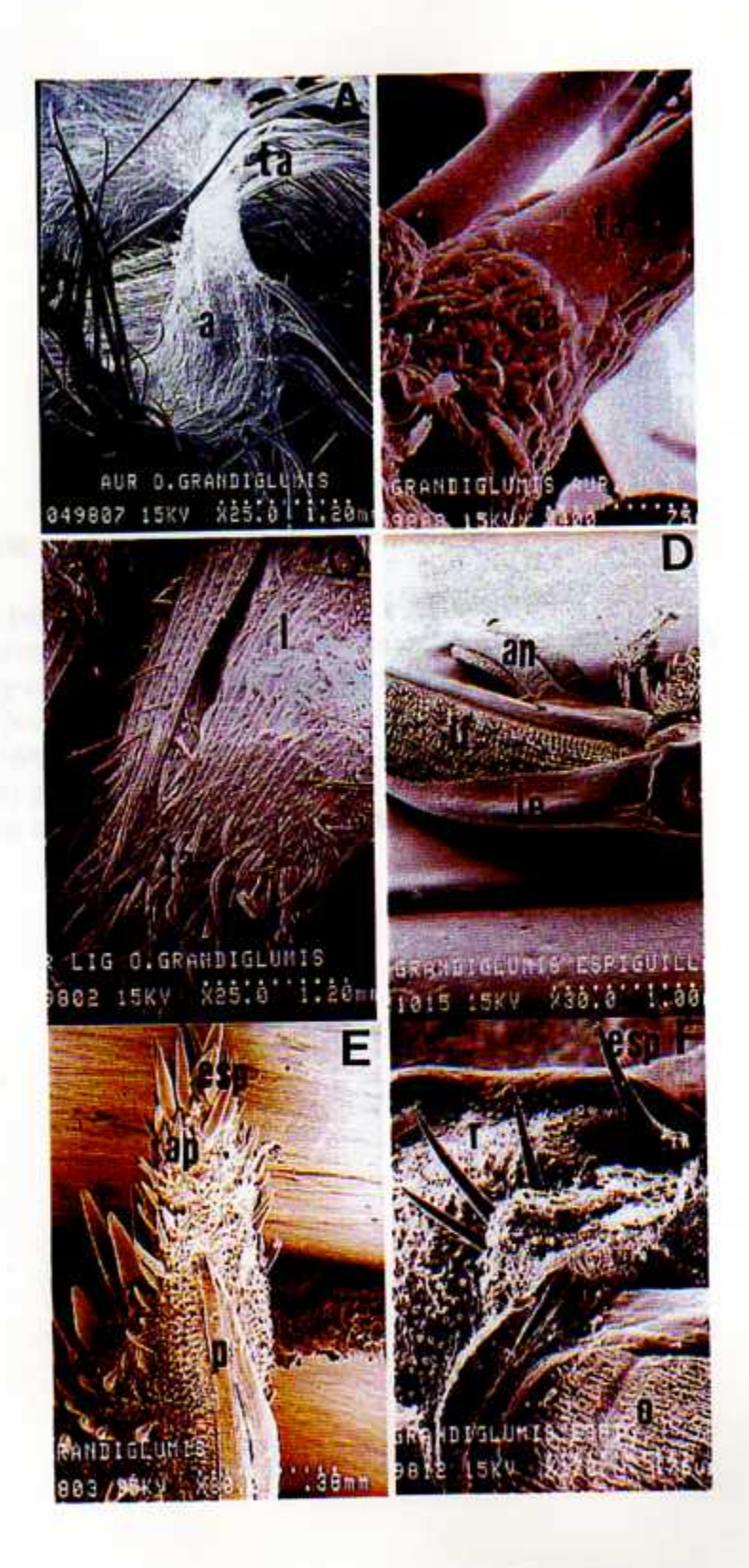


Figura 19

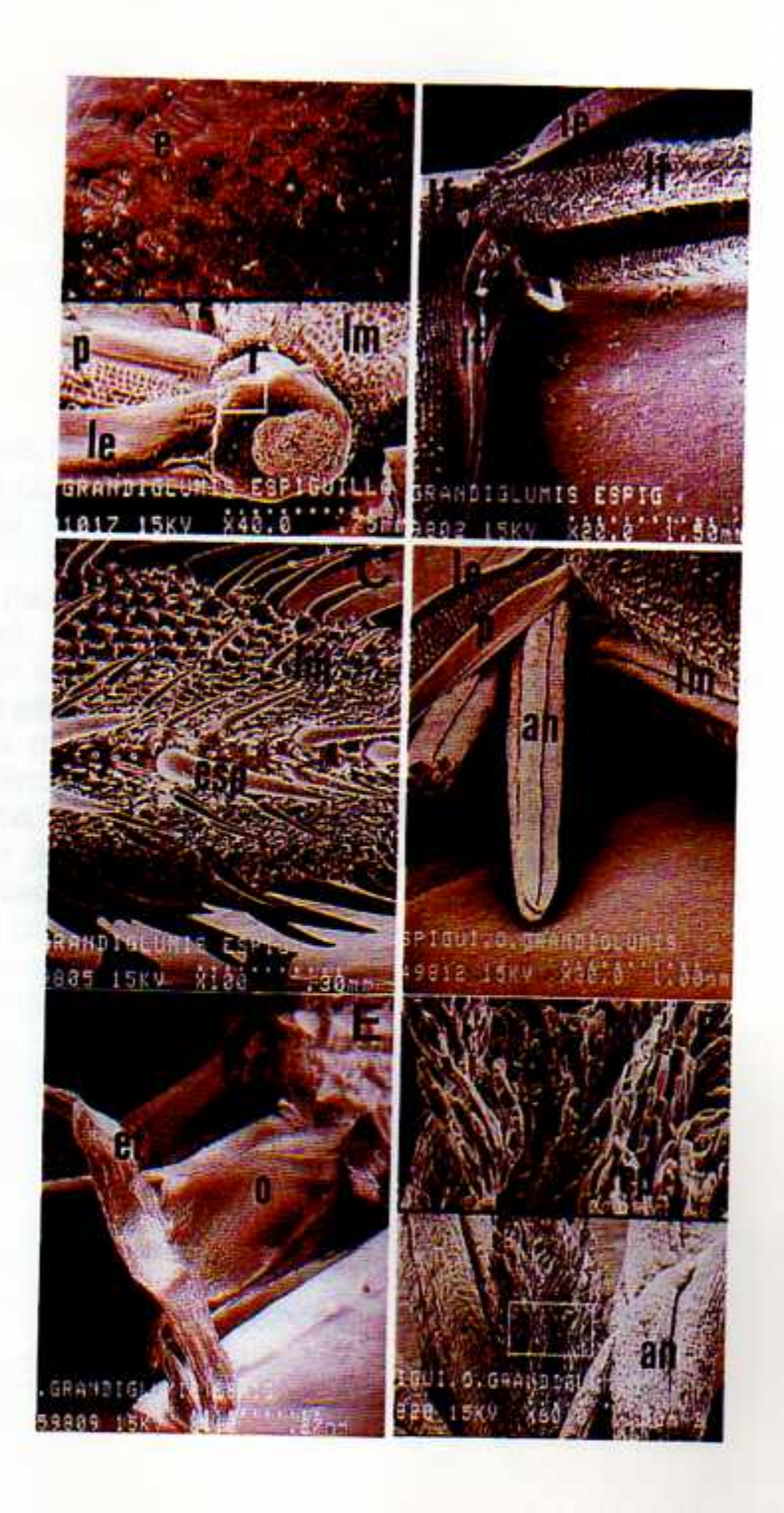
Micrografías de la lígula, aurículas y espiguillas de O. grandiglumis.

- Aurículas (a) curvas y envolventes con abundantes tricomas pequeños y atenuados (ta) largos en el borde.
- b. Células alargadas (ca) que envuelven los tricomas atenuados (ta) de las aurículas.
- Lígula (I) de extremo distal truncado, mide ca. 3 mm, tiene abundantes tricomas, tanto cortos como atenuados (ta).
- d. Espiguilla mostrando las lemas fértiles (If) con abundantes espinas (esp). Las lemas estériles (le) son lanceoladas, dentadas y con pocas espinas en la superficie.
- El apículo (ap), extremo terminal de la espiguilla, con gran cantidad de tricomas espinosos (esp).
- f. Corona de espinas ubicadas entre las lemas y la raquilla.



Micrografías de las espiguillas de O. grandiglumis.

- a. Estomas (e) de la base de las lemas estériles (le).
- Se observa las lemas estériles (le) de forma lanceolada y borde dentado y una parte de las lemas fértiles (lf) abiertas.
- c. Espinas (esp) de las lemas fértiles (lf).
- d. Anteras (an) basifijas formadas por cuatro lóbulos.
- e. Ovario (o) globular, donde nacen los dos estilos (et).
- f. Detalle de las papilas (pap) que forman los estigmas.



Micrografías de las anteras y del grano de polen de O. grandiglumis y de la espiguilla de O. grandiglumis de Brasil y la cariópside de O. grandiglumis de Costa Rica.

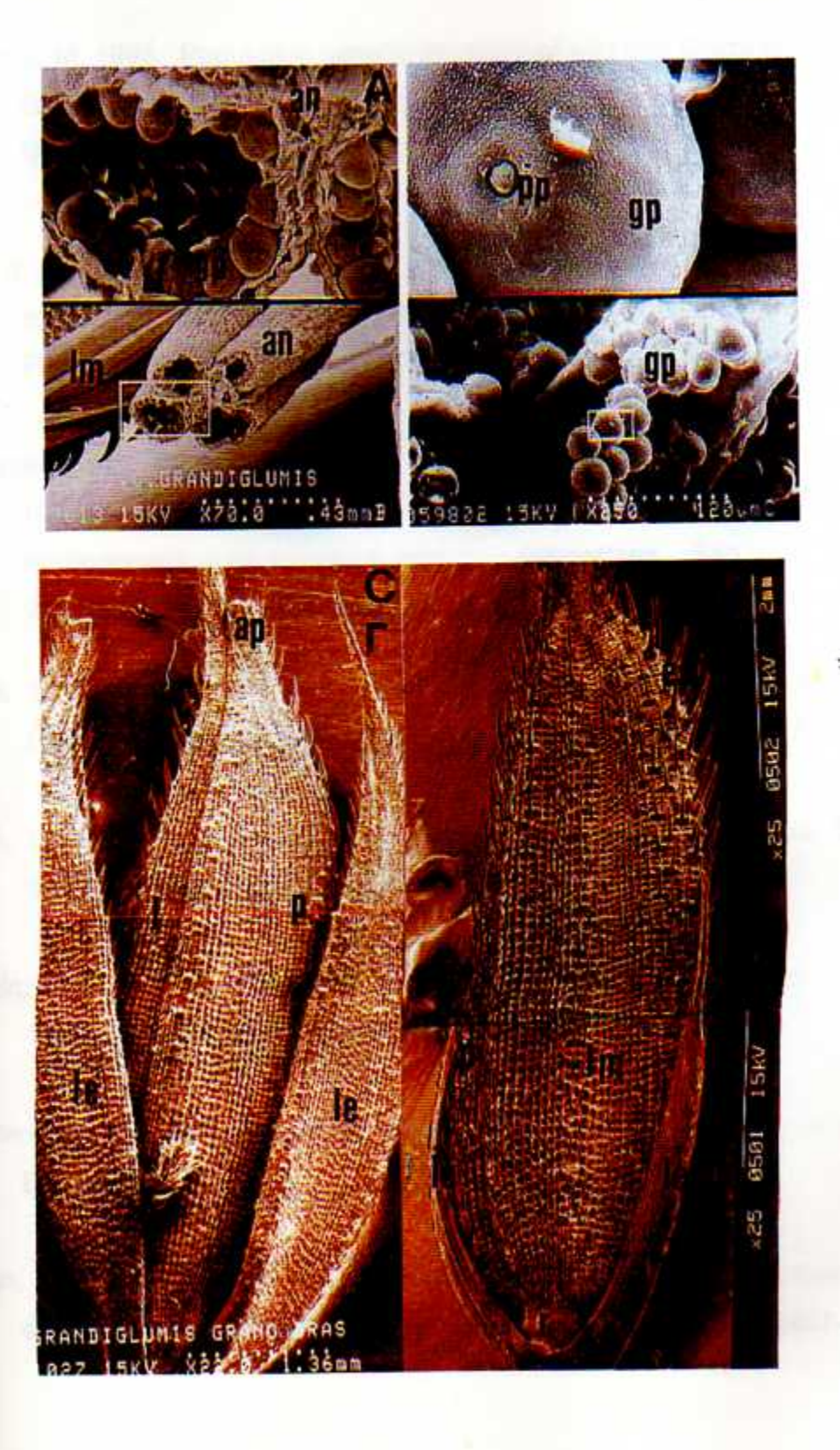
 a. Sección de una antera (an) mostrando la distribución de los granos de polen (gp).

b. Detalle de la ornamentación sencilla de la exina (ex) y el poro (pp) del

grano de polen.

 c. Espiguilla de la especie brasileña. Las lemas estériles (le) son del mismo tamaño de las lemas fértiles (lf) y tienen el mismo patrón epidérmico.

d. Espiguilla de la especie costarricense. Las lemas estériles (le) cubren ca. la mitad de las lemas fértiles (lf), pero el patrón epidérmico es coriáceo, con bordes dentados y con algunas espinas en la superficie.



### LITERATURA CITADA

- Akimoto, M. 1998. Population genetic structure of wild rice Oryza glumaepatula Steud distributed in the Amazon fload area influenced by-history traits. Molec. Ecol., 7 (pre impresión).
- Chang, T. T. 1976. Manual on genetic conservation of rice germplasm for evaluation and utilization. International Rice Research Institute, Manila, Filipinas 77 p.
- Charpantier, F. 1988. Aspectos Agroclimáticos y zonificación del cultivo del arroz (Oryza sativa L.). Secretaría Ejecutiva de Planificación sectorial agropecuaria y de recursos naturales renovables. San José, Costa Rica. 23p.
- Clark, C. A. & Gould, F. W. 1975. Some epidermal characteristics of paleas of Dichanthelium, Panicum and Echinochloa. Amer. J. Bot. 62(7):743-748.
- Clark, L. 1998. Curso especial de gramíneas. Escuela de Biología, Universidad de Costa Rica. 75p.
- Contín, A. 1979. Cultivo del arroz. Manual de producción. 2ª edición. Editorial Limusa, S. A. México. P 1-48.
- Duistermaat, H. 1987. A revision of *Oryza* (Gramineae) in Malaysia and Australia. Blumea 32:157-193.
- Echlin, P. 1968. The use of the scanning reflection electron microscope in the study of plant and microbial material. J. R. Microsc. Soc. 88:407-418.

- Eglinton, G. & Hamilton, R. 1967. Leaf cuticular waxes. Science 156:1322-1335.
- González, J; Rosero, M. & Arregocés, O. 1985. Morfología de la planta de arroz En: Arroz: Investigación y producción. Eds. Tascón, E. & García, E. PNUD/CIAT.
- Heinreich, E. A; Medrano, F. G. & Rapusas, H. R. 1985. Genetic evaluation for insect resistance in rice. International Rice Research Institute (IIRI), Los Baños, Filipinas.
- Herrera, D. & Jiménez, M. 1992. El comercio internacional de granos básicos en Centroamérica. Instituto Interamericano de Cooperación para la agricultura (IICA). OEA, Coronado, San José, Costa Rica. 196p.
- Heywood, V. H. 1969. Scanning electron microscopy in the study of plant materials. Micron. 1:1-14.
- Hoagland, R. E. & Paul, R. N. 1978. Comparative SEM study of red rice and several commercial rice (*Oryza sativa*) varieties. Issue 26(6) Nov. :619-625.
- IICA. 1993. Agriculture in the Americas at the begining of the 1990s., Vol:1. Instituto Interamericano de Cooperación para la Agricultura (IICA), OEA, Coronado, San José, Costa Rica 79p.
- Jena, K.K. & Kochert, G. 1991. Restriction fragment length polymorphisms analysis of CCDD genome species of the genus Oryza L. Plant Molecular Biology 16:831-834.
- Juniper, B. E. 1957. The effect of pre-emergent treatment of peas with trichloroacetic acid on the submicroscopic structure of the leaf surface. New Phytol. 58:1-5.

- Juniper, B. E. & Bradley, D. E. 1958. The carbon replica technique in the study of the ultrastructure of leaf surfaces. J. Ultrastruct. Res. 21:16-27.
- Karnovsky, M. J. 1965. A formadehyde-glutaraldehyde fixative of high osmolarity for use in electron microscopy. J. Cell Biol. 27: 137A.
- León J. 1987. Botánica de los cultivos tropicales. Editorial del Instituto Interamericano de Cooperación para la Agricultura (IICA). Segunda Edición. Coronado San José, Costa Rica, pp 120-126
- Memorias del Primer Congreso Arrocero Nacional. Julio 1998, San José, Costa Rica.
- Metcalfe, C.R. 1960. Anatomy of the Monocotyledons I. Gramineae. Oxford at the Clarendon Press. Royal Botanic Gardens, Rew pp 340-343.
- Montiel, M. B. 1972. Determinación taxonómica de la especie Chaetium bromoides (Presl) Benth. Basada en el estudio anatómico. Rev. Bil. Trop. 20(1):45-79.
- Montiel, M. B. 1994. Introducción a la flora de Costa Rica. Editorial de la Universidad de Costa Rica, Tercera Edición. San Pedro de Montes de Oca. San José, Costa Rica. Pp 189-194.
- Montiel, M. B. & Kozuka, Y. 1994. Los pólenes de gramíneas y su relación con alergias en el Neotrópico: el caso de Costa Rica. Rev. Biol. Trop. 42(Supl.1):1-83.
- Morishima, H. 1994. Background information about *Oryza* species in tropical America. *In*: Investigations of plant genetic resources in the American basin

- with emphasis on the genus *Oryza*: Report of 1992 / 93 Amazon Project; Monbusho International Scientific Res. Prog.
- Morishima, H. & Martins, P. 1993. Investigations of plant genetic resources in the Amazon Basin with the emphasis on the genus Oryza. Report of 1992/1993 Amazon Proyect. The Mombusho International Scientific Research Program. Japan Research Suppor Foundation of the Staate of Sao Paulo, Brasil. 96p.
- Morishima, H.; Sano Y. & Hiko-Ichi O. 1992. Evolutionary studies in cultivated rice and it's wild relatives. Oxford surrves in Evol. Biol. 8:135-184.
- Moore, P. D., Webb, J. A. 1983. An illustrated guide to pollen analysis. Hodder and Stoughton, Londres.
- Moore, P.D., Webb, J. A., Collison, M. E. 1991. Pollen analysis. Blackwell Scientific, Oxford, Inglaterra.
- Moreira, I. 1998. Estudio ultraestructural de las estructuras reproductoras del Cristóbal (*Platymiscium pinnatum*). Datos sin publicar.
- Moreira, I., Arnáez, E. 1994. Morfología de las estructuras reproductoras y germinación de nueve especies forestales nativas de Costa Rica. Rev. Biol. Trop. 42(Supl. 2):73-82.
- Ocampo, R. A. 1985. Incidencia de plantas indeseables en el cultivo del arroz (Oryza sativa) en el cantón de Aguirre y Parrita. Tesis de Licenciatura. Facultad de Agronomía. Universidad de Costa Rica. San Pedro de Montes de Oca, San José, Costa Rica. 102p.
- Oka, H. 1961. Report of trip for investigation of rice in Latin America. (mimeo.)

- Oka, H. I. 1988. Origin of cultivated rice. Blavier / Sci. Soc. Press. Amsterdam / Tokio.
- Payne, W. W. 1978. A glossary of plant hair terminology. Brittonia 30:230-255.
- Pohl, W. R. 1978. How to know the grasses. Tercera edición. Bubuque, Iowa: Wm. C. Brown Co.
- Pohl, W. R. 1980. Flora costaricensis, Family N° 15, Gramineae. Edición W. Burger, Fieldiana Botany. 680 p.
- Ronald, P.C. 1997. Making rice disease-resistant. Scient. Amer. Nov.
- Samuel, B. J. 1988. Sistemática Vegetal. Traducido de la Segunda Edición en inglés. Fuentes Impresores, S. A. México. 536 p.
- Sanint, L. 1996. Impact of rice research in Latin American and the Caribean during the last three decades. Impact of rice research IRRI-TRDI, Bangkok, Thailand.
- Second, G. 1985. Evolutionary relation ships in the sativa group of Oryza based on isozyme date. Genet. Sel. Evol. 17:89-114.
- Stant, M. Y. 1973. Scanning electron microscop silica bodies and other epidermal features in basis (Tradescantia) leaf. Bot. J. Linn. Soc. 233-244.
- Swaminathan, M.S. 1986. Plant research and world agriculture. Plant Mol. Biol. Rep. 4:1-17.

- Tateoka, T. 1962a. Taxonomic studies of Oryza I. O. latifolia Complex. Bot. Mag. Tokyo 75:418-427.
- Tateoka, T. 1962b. Taxonomic sutudies of Oryza II. Several species Complex. Bot. Mag. Tokyo 75:455-461.
- Tateoka, T. 1965. Porteresia, a new genus of Gramineae. Bull Natl. Sci. Mus. Tokyo. 8:405-406F. 1,2.
- Vaughan, D. A. 1989. The genus Oryza L. current status of taxonomy. IRPS. 138:1-21. IRRI, Manila Filipinas.
- Vaughan, D. A. 1994. The wild relatives of rice. A genetic resources Hand Book. International Rice Research Institute (IRRI). Manila, Filipinas. 130p.
- Watson, L. & Gibbs, A. J. 1974. Taxonomic patterns in the host ranges of viruses among grasses, ang suggestions on generic sampling for host-range studies. Ann appl. Biol. 77:23-32.
- Zamora, A., González P., Lobo J. A., Quesada, C., Muñoz, C., Gámez, L., Espinoza, A.M. 1999. Wild rice (Poaceae: Oryza) species of Costa Rica diversity, distribution and potencial use as a source of genes for rice improvement. (en preparación).

#### Anaton 4

Clave de tricomas pour la ligentificacion de la reche de Oryza de Costa Rico

Laurent foliar con tracement histories Laurent foliar con tracement contract in y est fracement formation

Т селот болова резолица се 20 рат у бловов.

### ANEXOS

Brade social de la nicens funza a home de la composición del la composición del la composición de la composición del la composició

# Clave de tricomas para la identificación de las especies de Oryza de Costa Rica

1.	Lámina foliar con tricomas hirsutos	
	tricomas hirsutos	(Fig. 1a)
2.	Tricomas hirsutos pequeños ca. 30 μm y escasos	3
2.	Tricomas hirsutos grandes (de 40-97 μm) y abundantes	O. rufipogon (Fig. 11a)
3.	Borde abaxial de la lámina foliar con 3 hileras de tricomas espinosos alargados y espinosos abultados de diferentes tamaños	O. grandiglumis (Fig. 18c)
3.	Borde abaxial de la lámina foliar con 2 hileras de tricomas espinosos abultados de ca. el mismo tamaño.	O. glumaepatula (Fig. 18e)

# Clave de la lígula para identificar las especies de Oryza de Costa Rica

1. 1.	Lígual bífida sin tricomas atenuados en el extremo distal
2. 2.	Superficie de la lígula con tricomas atenuados de 100 µm O. glumaepatula (Fig. 16e)  Superficie de la lígula sin tricomas atenuados
3.	Tricomas espinosos abultados en la superficie de la lígula O. rufipogon de $ca$ . 22-49 $\mu m$ Tricomas espinosos abultados en la superficie de la lígula O. sativa de $ca$ . 70 $\mu m$ (Fig. 2d)
4.	Tricomas atenuados en el extremo distal de ca. 2 mm O. grandiglumis (Fig. 19c)  Tricomas atenuados en el extremo distal de ca. 1 mm O. latifolia (Fig. 9f)

# Clave de la espiguilla para identificar las especies de Oryza de Costa Rica

1.	Espinas de las lemas fértiles abundantes y largas
2.	Con corona de espinas entre la raquilla y las lemas fértiles O. grandiglumis (Fig. 21f)
2.	Sin corona de espinas entre la raquilla y las lemas fértiles
3.	Lemas estériles lanceoladas, pequeñas y dentadas
3.	Lemas fértiles no lanceoladas
4.	Lemas estériles en forma de ala, de bordes irregulares y O. glumaepatula dentada (Fig. 17b)
4.	Lemas estériles en forma de ala, de bordes irregulares no O. rufipogon dentadas (Fig. 14a y 14b)

## Clave sinóptica para identificar las especies de Oryza de Costa Rica

### Simbología

1.	Orvza	sativa	L. var.	CR-5272
----	-------	--------	---------	---------

- Oryza rufipogon Griff
- 3. Oryza glumaepatula Steud
- 4. Oryza grandiglumis (Doell) Prod
- 5. Oryza latifolia Desv (Cañas)
- 6. Oryza latifolia Desv (Carara)
- 7. Oryza latifolia Desv (Pelón)

#### 1. Tricomas de la lámina foliar.

- a. Tricomas espinosos abultados 1,2,3,4,5,6,7.
- b. Tricomas atenuados de ca. 492 μm
- c. Tricomas espinosos alargados en el borde 1,4.
- d. Tricomas hirsutos abundantes y de ca. 40-97 μm
   2
- e. Tricomas hirsutos pequeños y escasos de ca. 20 μm 1,3.
- f. Tricomas espinosos abultados, pequeños de ca. 20 μm 4,6.
- g. Tricomas espinosos ganchudos de varios tamaños, en el borde 5,7,2
- h. Tres hileras de tricomas en el borde abaxial, una hilera de espinosos ganchudos y dos de tricomas espinosos abultados 5,7
- i. Borde adaxial con una hilera de tricomas espinosos pequeños 6
- Borde abaxial con 3 hileras de tricomas, una de tricomas espinosos pequeños, la que sigue de tricomas espinosos abultados pequeños ca. 25μm y la tercera de tricomas espinosos abultados de ca. 75μm 6
- k. Borde adaxial de la lámina con una hilera de tricomas espinosos abultados de ca. 75 μm 3
- Borde abaxial de la lámina con dos hileras de tricomas espinosos abultados de ca. 75 μm 3
- m. Borde adaxial de la lámina con varias hileras de tricomas espinosos alargados y tricomas espinosos abultados de varios tamaños ca. 20-75μm
- n. Borde abaxial de la lámina foliar con tres hileras de tricomas, conteniendo cada una tricomas de varios tamaños, la hilera del borde

como m. y las otras dos hileras formadas por tricomas espinosos abultados de varios tamaños ca. 20-75 μm 4

- 2. Papilas cerosas de la lámina foliar.
  - a. Papilas esferoides 1,2,3,4,5,6,7
  - b. Papilas alargadas 1,2,3,4,5,6,7
  - c. Papilas multilobuladas 1,2,3,4,5,6,7
  - d. Papilas en forma de lápida 1,2,3,4,5,6,7.
- 3. Células de sílice de la lámina foliar.
  - Células de sílice alternando con una célula con una papila cerosa esferoide 1,2,3,4,5,6,7
  - b. Células de sílice en forma crenada 1,2,3,4,5,6,7.
- 4. Patrón cuticular de la lámina foliar.
  - a. Patrón cuticular en forma de bastoncillos 1,2,3,4,5,6,7
  - b. Patrón cuticular en forma de bastoncillos, muy denso 4
- Estomas de la lámina foliar.
  - Estomas rodeados por papilas formando una roceta 1,2,3,4,5,6,7
  - Estomas sin papilas (desnudos) en el borde adaxial
- 6. Decoración de las venas centrales.
  - a. Venas centrales sin o con pocas papilas 5,6,7
  - b. Venas centrales con papilas globulares 2,3
  - venas centrales con papilas de diferentes formas 1,4
- 7. Forma de las aurículas.
  - a. Rizoides 1,2,3
  - b. Envolventes 4,6,7
  - c. Rectangulares 5
- 8. Tricomas de las aurículas.
  - a. Con tricomas atenuados largos en los bordes 1,2,3,4,5,6,7

- b. Con tricomas atenuados largos en toda la estructura 5
- c. Con tricomas espinosos pequeños en la superficie 1,2,4,6,7
- d. Con tricomas espinosos bicelulares en la superficie 3
- e. Base de los tricomas atenuados largos cubierta por células de varios tamaños 1,2,3,4,5,6,7

### 9. Forma de la lígula.

- a. Bífida en el extremo distal 1,2,3
- b. Cónica 6
- Truncada en el extremo distal 4,5,7

### 10. Tricomas de la lígula.

- a. Tricomas atenuados pequeños de ca. 100 μm en la superficie
   3
- Tricomas espinosos abultados de varios tamaños ca. 20-75μm 1,2,3,4, 5.6.7.
- Tricomas atenuados largos en el extremo distal 4,5,6,7

### Características de las lemas estériles de la espiguilla.

- a. Lemas estériles aladas y pequeñas 2,3
- b. Lemas estériles aladas y dentadas 3
- Lemas estériles lanceoladas lisas
- d. Lemas estériles lanceoladas pequeñas, dentadas y con espinas en la superficie 5,6,7
- Lemas estériles lanceoladas grandes (50-80 % tamaño de lemas fértiles), dentadas, corrugadas y con espinas en la superficie 4
- f. Estomas presentes en la base de las lemas estériles 1,2,3,4,5,6,7.

### Características de las lemas fértiles.

- a. Lemas fértiles con espinas pequeñas y escasas
- b. Lemas fértiles con abundantes espinas de varios tamaños 2,3,4,5,6,7
- Lemas fértiles con papilas de sílice con proyecciones a manera de espinas 1,2,3,4,5,6,7
- d. Lema con cinco venas 1,2,3,4,5,6,7
- e. Pálea con tres venas 1,2,3,4,5,6,7
- f. Lema con apículo 1,7
- g. Lema con arista 2,3,4,5,6
- h. Lema sin arista 1,7
- i. Pálea con apículo 1,2,3,4,5,6,7

- 13. Características de las anteras.
  - a. Anteras en número de seis, basifijas y con cuatro lóbulos 1,2,3,4,5,6,7
  - b. Células de las anteras cubiertas de cera 1,2,3,4,5,6,7
- 14. Características del gineceo.
  - a. Ovario oblongo 1,2,3,4,5,6,7
  - b. Dos estigmas plumosos 1,2,3,4,5,6,7
- 15. Características del grano de polen.
  - a. Grano de polen esferoide y de ca. 36 μm de diámetro 1,2,3,4,5,6,7
  - b. Exina del grano de polen de ornamentación sencilla 1,2,3,4,5,6,7
  - c. Grano de polen monoporado 1,2,3,4,5,6,7.

## Comparación ultraestructural de las cariópsides de O. grandiglumis de Costa Rica y Brasil y O. alta de Brasil y Surinan

La especie O. grandiglumis de Costa Rica y de Brasil mostraron diferencias en el tamaño y la morfología de las lemas estériles de la espiguilla. En la especie O. grandiglumis encontrada en Brasil, el patrón epidérmico se observa muy similar al de las lemas fértiles y las cubre casi por completo (Fig. 21b), contrario a lo que se observa en O. grandiglumis encontrada en Costa Rica (Fig. 21c).

Para corroborar lo observado se analizaron cariópsides provenientes de ambos países. También se observaron cariópsides de O. alta, originarias de Surinan y Brasil. Esta especie es endémica de América y no se ha encontrado en Costa Rica. Esto se hizo con el fin de descartar la posibilidad de que la especie descrita en este trabajo como O. grandiglumis, pudiera corresponder a O. alta.

En las muestras analizadas se observó que la cariópside de O. alta presenta muy pocas espinas en las lemas fértiles, sus lemas estériles son pequeñas, miden ca. 2 mm, son casi lisas, con pocas espinas en la superficie, contrario a lo observado en la cariópside de O. grandiglumis presente en Costa Rica (Anexo 5: Figs. 1, 2).

En las cariópsides de O. grandiglumis de la especie de Brasil, se observó que la lema y la pálea presentan similitud al patrón epidérmico de la especie O. grandiglumis que se ha descrito para Costa Rica. También se encontró que otras presentan un patrón algo similar al de las lemas fértiles (Anexo 5: Figs. 3, 4, 5 y 6).

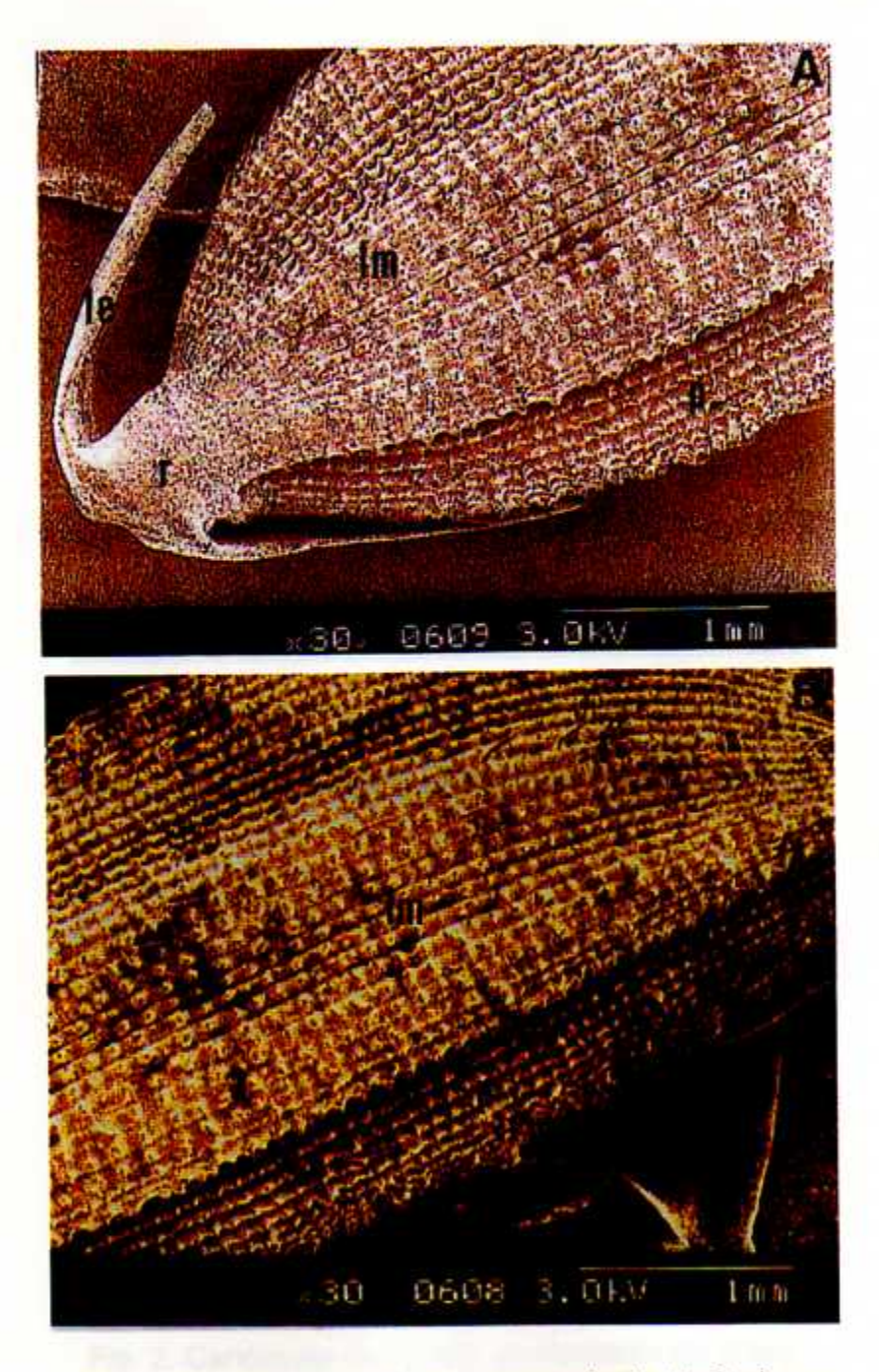
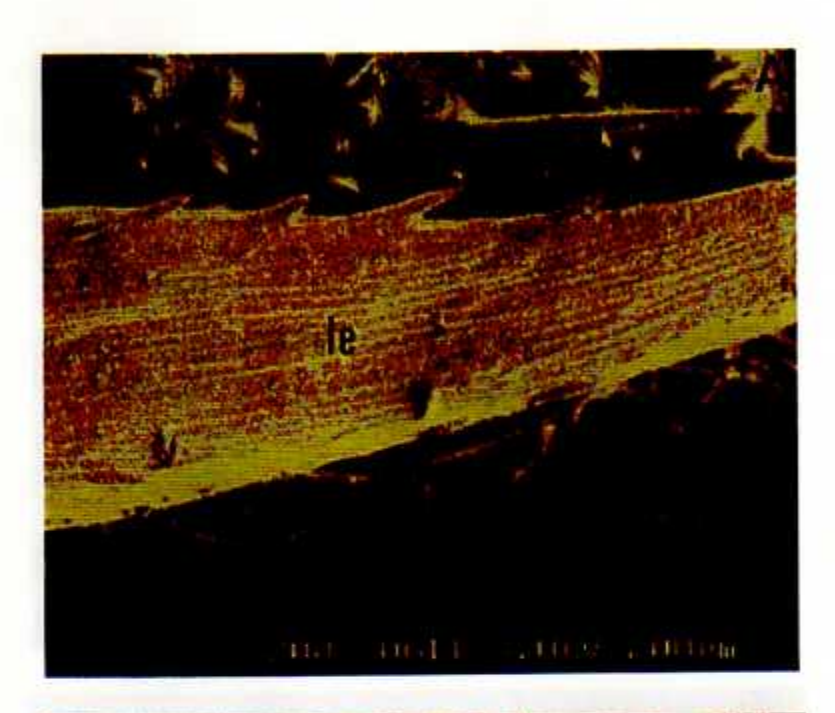


Fig. 1. Cariópside de O. alta proveniente de Surinam

- a. Se observan las lemas fértiles y las estériles
- b. Notamos las lemas estériles con pocas espinas



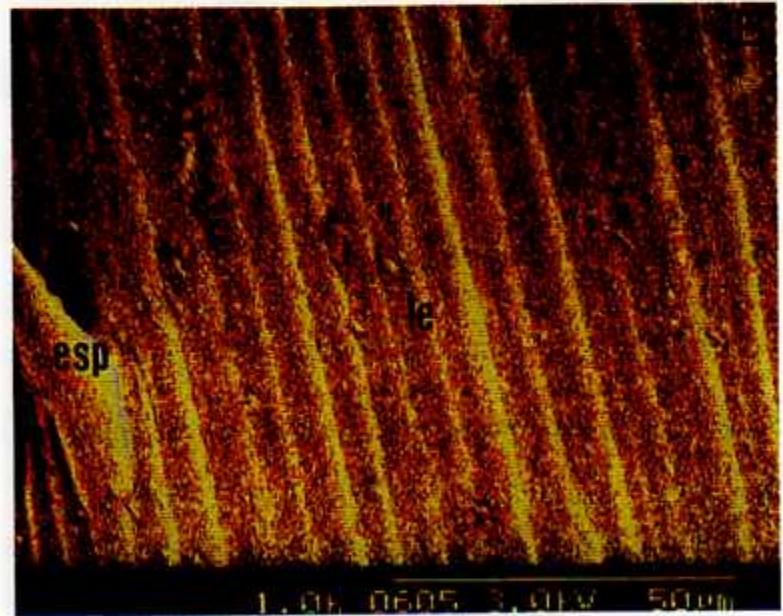
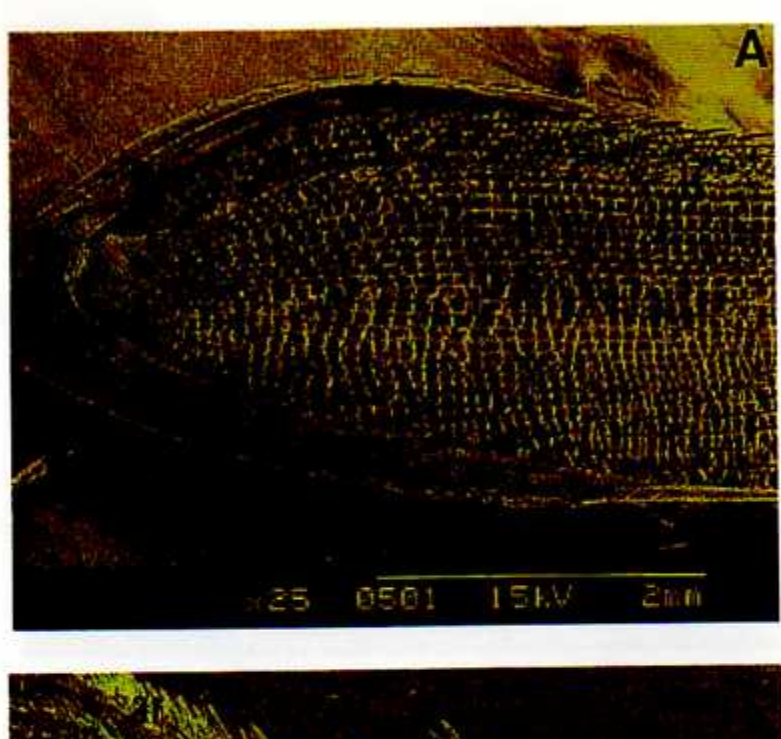


Fig. 2. Cariópside de O. alta proveniente de Brasil

- Se observan las lemas fértiles y las lemas estériles
- b. Las lemas estériles son lisas y con pocas espinas



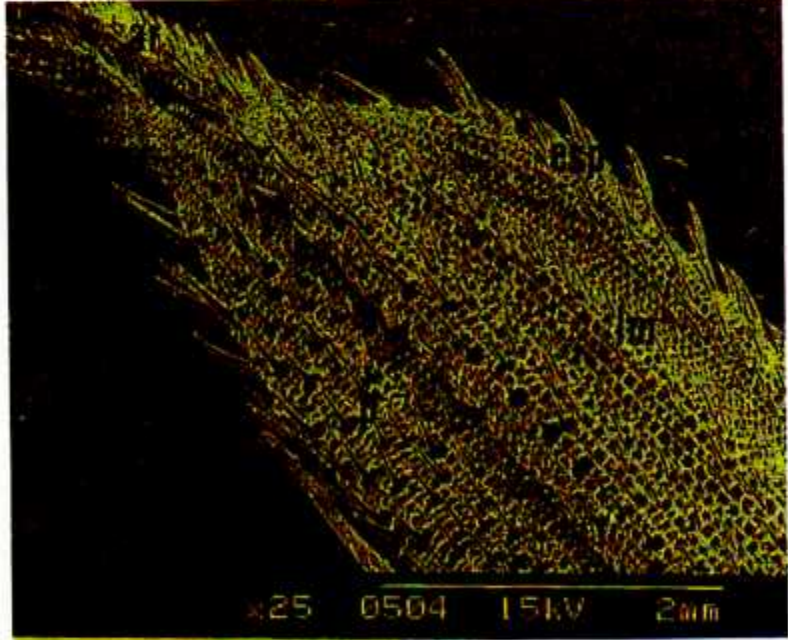
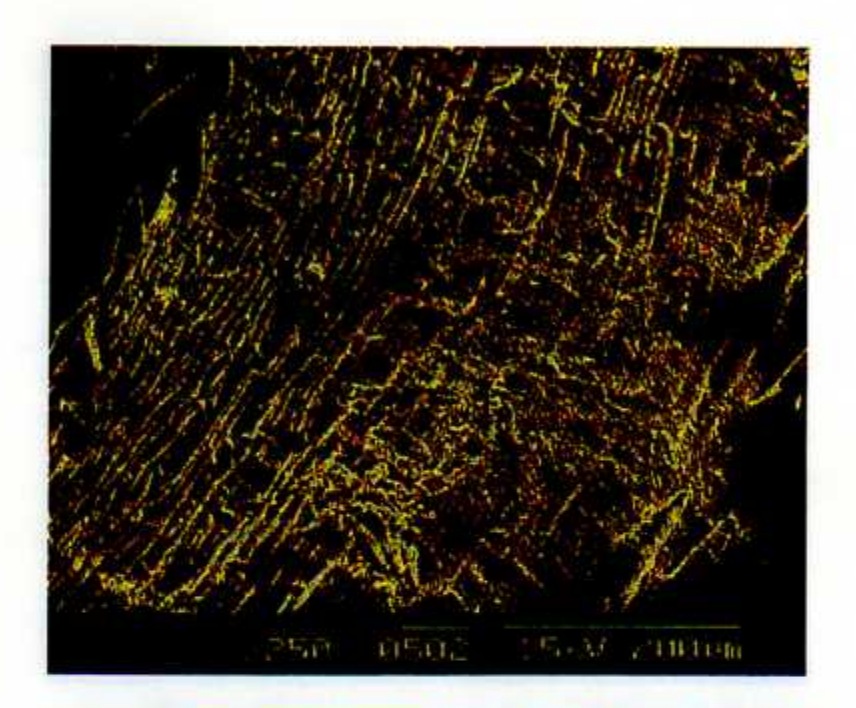


Fig. 3. Cariópside de O. grandiglumis proveniente de Costa Rica

- a. Se observan las lemas fértiles y las lemas estériles.
- Las lemas fértiles tienen gran cantidad de espinas.



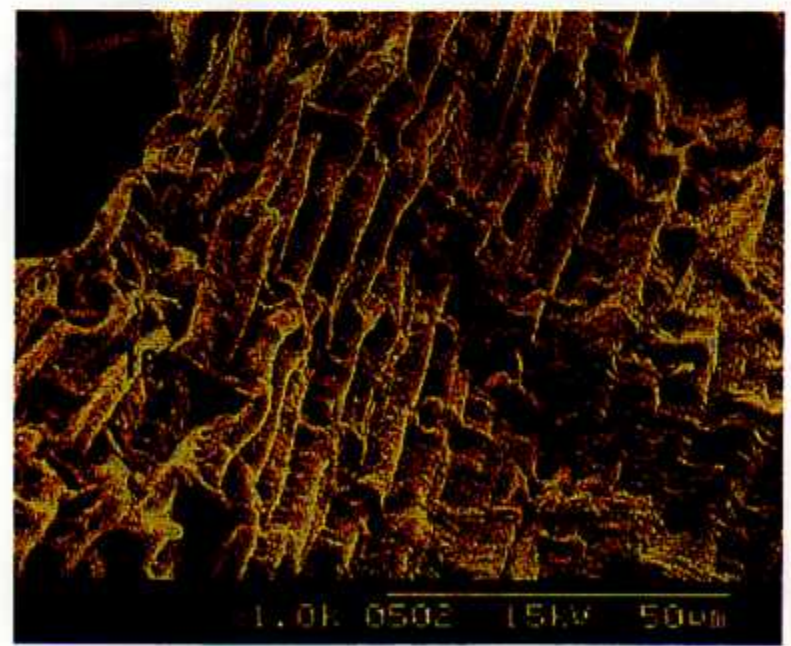


Fig. 4. Cariópside de O. grandiglumis de Costa Rica

- Lemas estériles con espinas y células verrugoso.
- b. Detalle de la micrografía anterior.



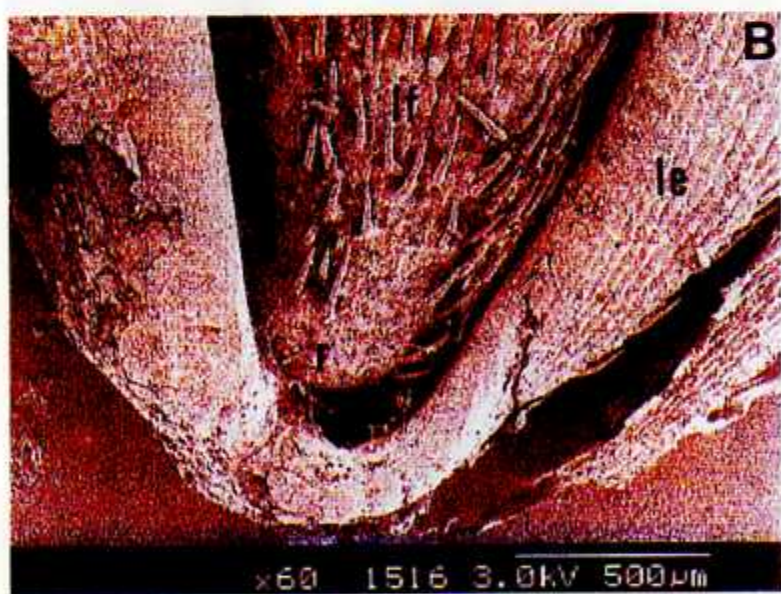


Fig. 5. Cariópside de O. grandiglumis de Brasil.

- a. Extremo distal de la cariópside.
- b. Extremo basal de la cariópside.

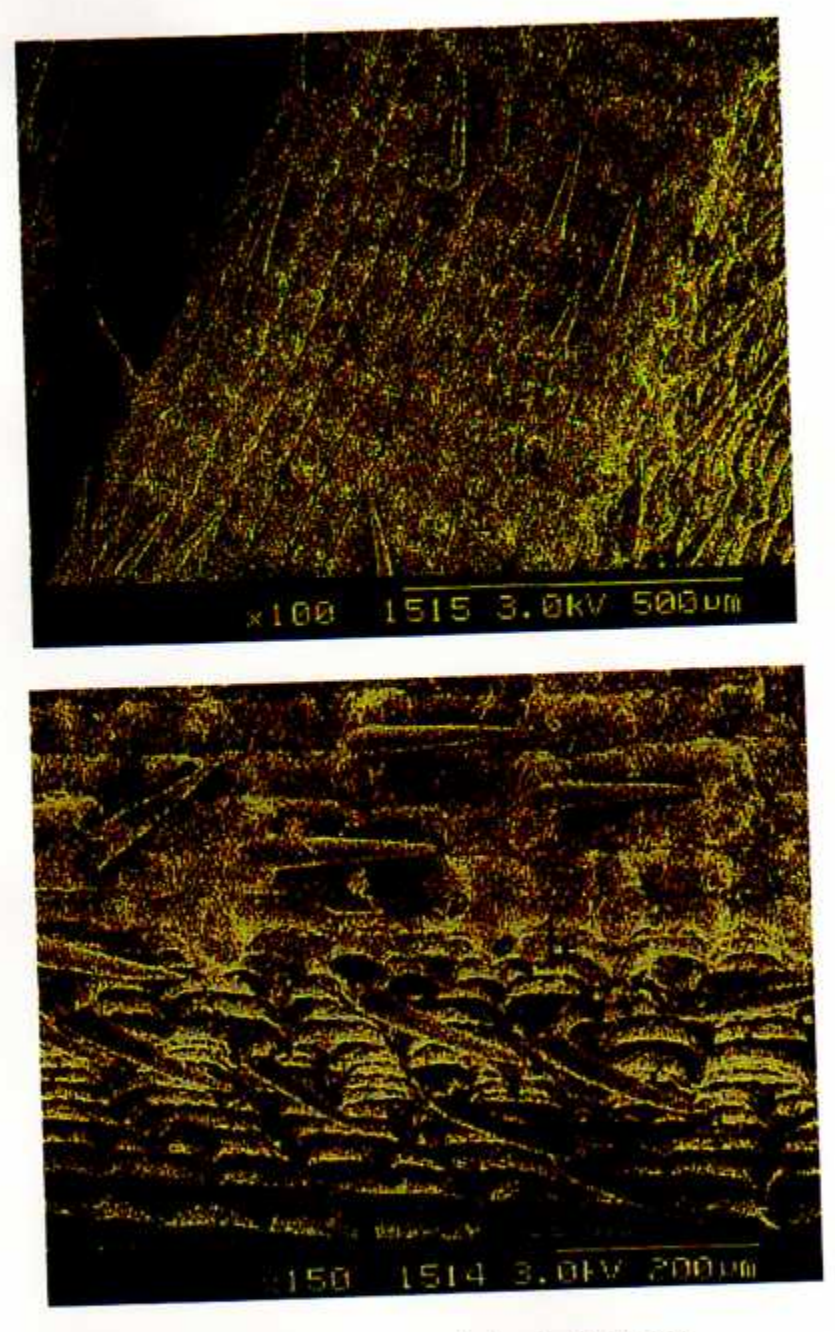


Fig. 6. Cariópside de O. grandiglumis de Brasil

- a. Lemas estériles con espinas y células verrugosas.
- b. Se observa la zona posterior de la lema estéril.